



PONTIFICIA
UNIVERSIDAD
CATÓLICA DE
VALPARAÍSO

PONTIFICIA UNIVERSIDAD CATÓLICA DE VALPARAÍSO

FACULTAD DE CIENCIAS

TERMODINÁMICA DE AGUJEROS NEGROS
Y CAMPOS ESCALARES

TESIS PRESENTADA POR RAÚL FABIÁN ROJAS MEJÍAS
PARA OBTENER EL GRADO DE DOCTOR EN CIENCIAS FÍSICAS

2019

INSTITUTO DE FÍSICA

Miembros del Comité Examinador

TUTOR:	DR. DUMITRU ASTEFANESEI (PUCV)
Co-TUTOR:	DR. ANDRÉS ANABALÓN (UAI)
EVALUADOR INTERNO:	DR. JOEL SAAVEDRA (PUCV)
EVALUADOR EXTERNO:	DR. MARCO ASTORINO (UAI)

Resumen

Desde el descubrimiento realizado por Stephen Hawking en la década de los 70 sobre la radiación térmica de los agujeros negros, la termodinámica de agujeros negros se ha vuelto un activo campo de investigación en la física teórica, por ser la primera predicción (en un contexto semi-clásico) entre la relatividad general y la teoría cuántica de campos.

En esta tesis, se estudia la influencia de los campos escalares en la termodinámica de agujeros negros cargados en $D = 4$ dimensiones. Por un lado, dilucidamos el rol que juegan las cargas escalares en la primera ley de la termodinámica, usando el formalismo cuasilocal de Brown y York, basado en un correcto principio variacional, y proveemos una serie de ejemplos concretos en los que aplican nuestros resultados.

Por otra parte, estudiamos la estabilidad termodinámica de soluciones exactas de agujeros negros eléctricamente cargados y acoplados a un campo escalar con una auto-interacción no trivial, las cuales pueden ser puestas en teorías de supergravedad. Mostramos explícitamente que, cuando el espaciotiempo en que están inmersos es asintóticamente plano, estos pueden estar en un equilibrio termodinámico estable.

Contribuciones

Los capítulos 3, 4 y 5 de esta tesis están basados en los trabajos publicados [1] y [2], y un tercero que, estando en etapas finales, será publicado pronto.

Agradecimientos

Quisiera agradecer al programa de becas internas PUCV, por brindarme apoyo financiero durante parte de mis estudios, y al programa de becas de CONICYT (de doctorado nacional, 21140024), por financiar la mayor parte de mi permanencia en el programa, permitiéndome concretar satisfactoriamente dos pasantías de investigación.

Durante mis años como estudiante en la Pontificia Universidad Católica de Valparaíso, he tenido el gran placer de poder comprender, un poco mejor, cómo funciona la naturaleza, de personas muy apasionadas y profesionales quienes alimentaron mi curiosidad y amor al conocimiento con cada asignatura. En correspondencia, vaya mi más sincera gratitud hacia todos los/as profesores/as del Instituto de Física, PUCV. En especial, quisiera agradecer a la memoria de Dr. Sergio del Campo, con quien di mis primeros pasos en relatividad general y cosmología, durante mis años finales en la Licenciatura en Física.

Esta tesis está realizada bajo la tutela de Dumitru Astefanesei, quien, además de ser un excelente científico y una gran persona, constituyó una guía y un apoyo fundamentales para mi formación. Sus conocimientos en física y su extraordinaria intuición me han permitido iluminar mi camino para seguir en la investigación. Asimismo, quisiera expresar una gran gratitud hacia Andrés Anabalón, por permitirme iniciar junto a él y enseñarme, con paciencia, elementos indispensables para la investigación, tanto en lo teórico como en lo práctico, durante mis primeros años en el programa de postgrado.

A Joel Saavedra, quien fue una fuente de inspiración durante mis años en licenciatura y quien, con la amabilidad que le caracteriza, me ofreció ingresar a un proyecto de investigación sobre agujeros negros, con Andrés, al comienzo de mis estudios de

postgrado. Ello marcó mis inicios en el campo de la *gravitación*.

Quisiera agradecer también a mis amigos/as en el equipo de trabajo que se ha ido formando con los años, y con quienes la investigación ha resultado más divertida e interactiva. A David Choque, quien ha sido un importante apoyo, especialmente durante mis comienzos; a Romina Ballesteros y Francisco Gómez, con quienes he tenido interesantes y fructíferas discusiones, y también a Jorge Maggiolo, Fabrizzio Merello y Paulo Rojas.

Quiero destacar y agradecer, muy cariñosamente, a mi familia por su apoyo incondicional y constante durante estos años, sin el cual no hubiera logrado completar esta primera etapa de lo que en un momento fue un sueño. A mis padres, Juan y Marta, y a mi hermana, Susana, siempre presentes. También agradezco el cariño omnipresente de mis abuelos: mi tata Raúl y abuelita María, y mi tata Nano, quien nos acompaña en nuestros recuerdos, y mi abuelita Chela.

Quisiera agradecer también la compañía dulce de Noemy durante estos meses. Tu amor ha significado mucho para mí.

Convenciones

En física teórica, es útil trabajar en el sistema de unidades *naturales*, en el cual los valores numéricos de las constantes fundamentales son iguales a 1. En los capítulos 1 y 2, por claridad, se ha decidido mantener las constantes físicas intactas. En cambio, en los capítulos posteriores, la constante de gravitación universal, la velocidad máxima de propagación para la información (velocidad de la luz), la constante de Planck y la constante de Boltzmann, serán fijadas $G_N = c = \hbar = k_B = 1$, respectivamente. La permitividad eléctrica del vacío se tomará como $\epsilon_0 = \frac{1}{4\pi}$, tal que la constante de Coulomb $k_e = (4\pi\epsilon_0)^{-1} = 1$. En tal caso, la ley de Gauss para el campo eléctrico \vec{F} sobre una superficie esférica en infinito es

$$\frac{1}{4\pi} \oint_{s_\infty^2} \vec{F} \cdot d\vec{A} = Q$$

donde Q es la carga física. En ocasiones, se considerará también cargas magnéticas P , y usaremos formas diferenciales, tal que las cargas, eléctrica y magnética, son¹

$$Q = \frac{1}{4\pi} \oint_{s_\infty^2} \star F, \quad P = \frac{1}{4\pi} \oint_{s_\infty^2} F$$

donde $F = \frac{1}{2} F_{\mu\nu} dx^\mu \wedge dx^\nu$, $\star F \equiv \frac{1}{4} \sqrt{-g} F^{\mu\nu} \epsilon_{\mu\nu\alpha\beta} dx^\alpha \wedge dx^\beta$, en teorías de Einstein-Maxwell definidas en el espaciotiempo \mathcal{M} con la métrica $g_{\mu\nu}$, dadas por la acción

$$I = \frac{1}{2\kappa} \int_{\mathcal{M}} d^4x \sqrt{-g} (R - F_{\mu\nu} F^{\mu\nu})$$

donde $\kappa = 8\pi G_N/c^4 = 8\pi$.

¹Puesto que las ecuaciones de Maxwell pueden escribirse como $dF = 0$ y $d(\star F) = 0$, las cargas físicas resultan de la integración de ellas.

Índice general

	2
Miembros del Comité Examinador	3
Resumen	4
Contribuciones	5
Agradecimientos	6
Convenciones	8
1. Introducción	12
2. Los agujeros negros: principio de acción y termodinámica	17
2.1. El principio de acción en gravedad	17
2.2. La termodinámica de agujeros negros	20
2.3. La temperatura de Hawking	24
3. Las cargas escalares y la primera ley de la termodinámica	26
3.1. Agujeros negros con pelo escalar en espaciotiempos asintóticamente planos	30
3.1.1. La primera ley de la termodinámica	30
3.1.2. La energía total y el formalismo de Brown y York	33
3.2. Agujeros negros con campo escalar, asintóticamente AdS	36
3.2.1. Agujeros negros diónicos con campo escalar	36
3.2.2. Masa hamiltoniana y energía conservada	38

3.3. Conclusiones	40
4. Aplicaciones concretas	41
4.1. Acoplamiento general $Z = e^{a\phi}$	42
4.2. Agujeros negros diónicos, $Z(\phi) = e^\phi$	47
4.3. Comentarios finales	50
5. Configuraciones termodinámicamente estables de agujeros negros con campo escalar auto-interactuante	51
5.1. Soluciones exactas con campo escalar	56
5.1.1. $\gamma = 1$	57
5.1.2. $\gamma = \sqrt{3}$	59
5.1.3. Método de contratérminos y cantidades conservadas	61
5.2. Estabilidad termodinámica	65
5.2.1. Condiciones para la estabilidad termodinámica	66
5.2.2. El agujero negro de Reissner-Nordström	68
5.3. Agujeros negros con pelo	72
5.3.1. La rama positiva	72
5.3.2. La rama negativa	81
5.4. Discusión	84
A. El término de Gibbons-Hawking	92
B. El método de contratérminos y el formalismo de Brown y York	95
C. Derivación del término de borde para el campo escalar	100
D. Estabilidad termodinámica de las teorías sin potencial, $\alpha = 0$	102
D.1. $\gamma = 1$	103
D.2. $\gamma = \sqrt{3}$	104
E. Estabilidad termodinámica de las teorías con potencial, $\gamma = \sqrt{3}$	106
E.1. Ensemble gran canónico en la rama negativa	107
E.2. Ensemble gran canónico en la rama positiva	109
E.3. Ensemble canónico en la rama negativa	111

E.4. Ensemble canónico en la rama positiva 112

Capítulo 1

Introducción

Un agujero negro podría verse como una partícula elemental en el sentido de que, después del colapso gravitacional de estrellas masivas, sólo un pequeño conjunto de parámetros lo caracteriza, típicamente su masa M , momento angular J y carga eléctrica Q , cantidades que también son cargas conservadas que están protegidas por una ley de Gauss en la región asintótica. La existencia de estos parámetros es de gran importancia puesto que, desde el descubrimiento de que los agujeros negros emiten radiación térmica, realizado por S. Hawking en 1974 [3], es ampliamente aceptado que los agujeros negros son sistemas termodinámicos y, en consecuencia, las leyes de la mecánica de agujeros negros [4], que tienen un origen geométrico, son en su derecho propio leyes termodinámicas.

Las cantidades conservadas aparecen en la primera ley de la termodinámica de agujeros negros estacionarios

$$dE = TdS + \Phi dQ + \Omega dJ, \quad (1.1)$$

donde $E = Mc^2$, T es la temperatura de Hawking, S es la entropía de Bekenstein-Hawking [5], proporcional con el área A de la superficie del horizonte de eventos del agujero negro

$$S = \left(\frac{k_B c^3}{\hbar G_N} \right) \frac{A}{4}, \quad (1.2)$$

mientras que Φ es la diferencia de potencial electrostático entre el horizonte de eventos y el infinito, y Ω la velocidad angular del agujero negro. Todas estas cantidades

juegan un papel clave en el comportamiento termodinámico de los agujeros negros. En este sentido, un agujero negro está muy lejos de ser considerado una partícula elemental. Concretamente, la existencia de la entropía de Bekenstein-Hawking es un indicador fuerte de que existen estados microscópicos que dan lugar a la entropía de los agujeros negros. Estos microestados están intrínsecamente conectados con la naturaleza cuántica del campo gravitacional, y sólo una teoría cuántica de la gravedad puede explicar con exactitud dónde están, y cómo son, los grados de libertad que dan lugar a esta entropía. Al respecto, se han realizado ciertos progresos en el contexto de teorías de cuerdas [6–8].

Otros parámetros asociados a la estrella antes del colapso gravitacional, como su composición química, su espectro electromagnético o los campos magnéticos cerca de su superficie, entre otros, quedan ocultos detrás del horizonte de eventos. Esta es la esencia del teorema de no-pelo propuesto originalmente [9]. Un agujero negro únicamente quedaría descrito por su masa, carga eléctrica y su momento angular. La construcción de soluciones caracterizadas por otros parámetros, por ejemplo, soluciones no-abelianas de las ecuaciones de Einstein-Yang-Mills [10, 11], sin embargo, cuestionaron la validez de la conjetura inicial. Una nueva versión del teorema de no-pelo se propuso [12], considerando otras hipótesis y asunciones (para una agradable revisión sobre este tópico, vea, por ejemplo, [13]).

Las soluciones de agujeros negros acopladas a un campo escalar existen siempre que una o más suposiciones del teorema de no-pelo sea evadida. En este contexto, a estos agujeros negros les llama *agujeros negros con pelo* o *hairy black holes*, en inglés.

En esta tesis, estudiamos principalmente soluciones exactas de agujeros negros en $D = 4$ dimensiones, eléctricamente (y magnéticamente) cargados, acoplados con campos escalares reales, sin y con auto-interacción.

Los campos escalares se estudian en la relatividad general por un número de razones. En primer lugar, constituyen una de las formas más simples de materia y su estudio constituye un primer acercamiento al estudio de sistemas más complejos. Remarcablemente, la existencia de campos escalares, en particular el campo de Higgs, cuenta ahora con evidencia experimental [14, 15], y otros campos escalares podrían también existir en la naturaleza. En este sentido, los campos escalares juegan un rol importante en física de partículas y de altas energías. Los campos escalares son usados en algunos modelos para entender, por ejemplo, la naturaleza de la energía oscura y la materia oscura [16]. Además, desde hace unas décadas son considerados en varios modelos de inflación [17, 18]. Por otra parte, los campos escalares pueden usarse para construir teorías efectivas.

Un campo escalar que aparece naturalmente en el contexto de la teoría de cuerdas en el límite de bajas energías es el dilatón [19], que figura acoplado no trivialmente a otros campos. Ya que la teoría de cuerdas es una teoría fundamental, es importante entender la influencia de estos campos escalares en sistemas gravitacionales, en particular, en la física de agujeros negros y en su comportamiento termodinámico.¹

Uno podría preguntar si la existencia de campos escalares en teorías gravitacionales, como el dilatón, introduce una nueva constante de integración en la solución. Resulta que los campos escalares que estudiaremos en esta tesis, estáticos y simétricamente esféricos, constituyen un pelo secundario, es decir, no aportan con una constante de integración independiente a la solución y, por ello, no tienen una carga conservada asociada. En teorías de cuerdas, el acoplamiento de las cuerdas es dado por un parámetro adimensional g_s que es controlado por el valor de expectación del dilatón, mediante $g_s = e^{\langle\phi\rangle}$. Variar el valor del campo al infinito, ϕ_∞ equivale a cambiar las constantes de acoplamiento de la teoría y entonces podemos considerar diferentes teorías para una misma configuración de agujero negro. Esta consideración modifica la primera ley con un término extra, asociadas al campo escalar, que, sin embargo, contiene cargas conservadas. En el capítulo 3, exploramos de nuevo este desafío y contribuimos dilucidando el papel que juegan las cantidades asociadas al campo escalar en la primera ley de la termodinámica de agujeros negros. En el capítulo

¹Los campos escalares pueden también condensarse para formar objetos compactos suaves y sin horizonte, las llamadas ‘estrellas de bosones’, por ejemplo, en espaciotiempos asintóticamente planos [20], y en espaciotiempo asintóticamente AdS [21], [22], [23]

4 ofrecemos una serie de ejemplos concretos donde verificamos nuestros resultados previos.

Desde una perspectiva física, puede parecer sorprendente la existencia de campos de materia que, en el régimen estático (después de un tiempo infinito tras el colapso), coexisten en equilibrio alrededor del agujero negro. Una pregunta natural es si aquel equilibrio es estable frente a perturbaciones mecánicas y termodinámicas. En el capítulo 5, estudiamos detalladamente estas últimas para un conjunto de agujeros negros cuyo campo escalar experimenta una interacción no trivial consigo mismo.

Nos enfocaremos mayormente en teorías de Einstein-Maxwell-dilatón cuya acción gravitacional tiene la forma

$$I = \frac{1}{2\kappa} \int_{\mathcal{M}} d^4x \sqrt{-g} \left[R - e^{\gamma\phi} F_{\mu\nu} F^{\mu\nu} - \frac{1}{2} \partial_\mu \phi \partial^\mu \phi - V(\phi) \right] \quad (1.3)$$

donde $F_{\mu\nu} = \partial_\mu A_\nu - \partial_\nu A_\mu$ es el campo de Maxwell, A_μ el potencial de gauge, y ϕ es el dilatón con su potencial no trivial $V(\phi)$.

La organización de esta tesis es entonces la siguiente. En el capítulo 2, revisaremos el principio de acción basado en la formulación lagrangiana de la relatividad general, de donde derivan las ecuaciones de campo. También discutiremos algunos elementos importantes en la termodinámica de agujeros negros, y mostraremos una manera computacionalmente simple de obtener la temperatura de Hawking.

En el capítulo 3, presentaremos la formulación variacional de teorías de Einstein-Maxwell-dilatón en espaciotiempos asintóticamente planos, cuando el valor asintótico del campo escalar no está fijo. Obtenemos términos de borde compatibles con el principio de acción, y calculamos la acción gravitacional y el correspondiente tensor de Brown-York. Mostramos que la energía tiene una nueva contribución que depende del valor asintótico del campo escalar y discutimos el rol de las cargas escalares en la primera ley de la termodinámica. También extendemos nuestro análisis a agujeros negros con campo escalar en espaciotiempos asintóticamente Anti-de Sitter. En el capítulo 4, verificamos los resultados previos para distintas teorías.

En el capítulo 5, presentamos un análisis detallado de la termodinámica de soluciones exactas asintóticamente planas de agujeros negros con campo escalar en una teoría de Einstein-Maxwell-dilatón. Calcularemos la acción regularizada, el tensor de

estrés cuasilocal y las cargas conservadas usando el método de contratérminos. En presencia de un potencial dilatónico no trivial que se anula en el borde, probamos que, para un cierto rango de parámetros, existen agujeros negros termodinámicamente estables en los ensambles canónico y gran canónico. Concluimos con una interpretación física de los resultados.

Capítulo 2

Los agujeros negros: principio de acción y termodinámica

2.1. El principio de acción en gravedad

Consideremos que el espaciotiempo está descrito por un número de campos, por simplicidad, el campo gravitacional, dado por las componentes de un tensor de rango 2 veces covariante $g_{\mu\nu}$, y una colección de campos de materia ϕ_i .

La acción I es un funcional de los campos y es una cantidad construida con invariantes, es decir, independientes de sistemas de coordenadas,

$$I [g_{\mu\nu}, \phi_i] = \frac{1}{2\kappa} \int_{\mathcal{M}} d^4x \sqrt{-g} (R - \mathcal{L}_m) \quad (2.1)$$

donde $R \equiv g^{\alpha\beta} R^\mu_{\alpha\mu\beta}$ es el escalar de curvatura (de Ricci), contruido mediante contracciones de las componentes del tensor de curvatura (de Riemann) $R^\mu_{\nu\alpha\beta}$. Entonces, R contiene primera y segundas derivadas de la métrica. \mathcal{L}_m es la densidad lagrangiana para los campos de materia y energía, es decir, $\mathcal{L}_m = \mathcal{L}_m(\phi_i, \partial_\mu \phi_i)$. La constante $\kappa = 8\pi$ ya que estamos considerando un sistema de unidades donde $G_N = 1$, $c = 1$, tal que trabajamos con una única dimensión fundamental, por ejemplo, masa $[M]$.

El principio de acción establece que asumirán aquellos campos $(g_{\mu\nu}, \phi_i)$ alrededor

de los cuales la acción sea un extremo, es decir,

$$\delta I = \left(\frac{\delta I}{\delta g^{\mu\nu}} \right) \delta g^{\mu\nu} + \left(\frac{\delta I}{\delta \phi_i} \right) \delta \phi_i = 0 \quad (2.2)$$

donde $\delta g_{\mu\nu}$ y $\delta \phi_i$ son funciones pequeñas y arbitrarias de las coordenadas x^μ . Realizar la variación de la acción (2.1) equivale a realizar la variación sobre las cantidades $\sqrt{-g}R$ y $\sqrt{-g}\mathcal{L}_m(\phi_i, \partial_\mu \phi_i)$.

Para el cálculo de la variación del determinante de la métrica, la fórmula de Jacobi,

$$\delta \sqrt{-g} = -\frac{1}{2} \sqrt{-g} g_{\mu\nu} \delta g^{\mu\nu}$$

es particularmente útil y puede seguirse, a grandes rasgos, considerando la identidad $\delta(\det M) = (\det M) \text{Tr}(M^{-1} \delta M)$, donde M representa la matriz con elementos $g_{\mu\nu}$ tal que $\det M = g$, y $\text{Tr}(M^{-1} \delta M) = g^{\mu\nu} \delta g_{\mu\nu}$. Por una parte, tenemos entonces que

$$\delta(\sqrt{-g}R) = \sqrt{-g} \left(R_{\mu\nu} - \frac{1}{2} g_{\mu\nu} R \right) \delta g^{\mu\nu} + \sqrt{-g} g^{\mu\nu} \delta R_{\mu\nu} \quad (2.3)$$

y, por otra parte, tenemos que

$$\begin{aligned} \delta(\sqrt{-g}\mathcal{L}_{mat}) &= -\frac{1}{2} \sqrt{-g} T_{\mu\nu} \delta g^{\mu\nu} + \sqrt{-g} \left[\frac{\partial \mathcal{L}_m}{\partial \phi_i} - \frac{1}{\sqrt{-g}} \partial_\mu \left(\frac{\partial \mathcal{L}_m}{\partial (\partial_\mu \phi_i)} \right) \right] \delta \phi_i \\ &\quad + \partial_\mu \left[\sqrt{-g} \frac{\partial \mathcal{L}_m}{\partial (\partial_\mu \phi_i)} \delta \phi_i \right] \end{aligned} \quad (2.4)$$

Nótese que el tensor de energía-momento es definido como

$$T_{\mu\nu} := g_{\mu\nu} \mathcal{L}_m - 2 \left(\frac{\partial \mathcal{L}_m}{\delta g^{\mu\nu}} \right) \quad (2.5)$$

Poniendo todo junto, observamos que

$$\begin{aligned} \delta I &= \frac{1}{2\kappa} \int_{\mathcal{M}} d^4x \sqrt{-g} E_{\mu\nu} \delta g^{\mu\nu} + \int_{\mathcal{M}} d^4x \sqrt{-g} L_i \delta \phi_i \\ &\quad + \frac{1}{2\kappa} \int_{\mathcal{M}} d^4x \sqrt{-g} g^{\mu\nu} \delta R_{\mu\nu} + \int_{\partial \mathcal{M}} d^3x \sqrt{|h|} \frac{\partial \mathcal{L}_m}{\partial (\partial_\mu \phi_i)} \delta \phi_i \end{aligned} \quad (2.6)$$

donde $E_{\mu\nu} := R_{\mu\nu} - \frac{1}{2}g_{\mu\nu}R - \kappa T_{\mu\nu}$ y $L_i := \frac{\partial \mathcal{L}_m}{\partial \phi_i} - \frac{1}{\sqrt{-g}}\partial_\mu \left[\frac{\partial \mathcal{L}_m}{\partial (\partial_\mu \phi_i)} \right]$. Puesto que $\delta g_{\mu\nu} \neq 0$ y $\delta \phi_i \neq 0$, por ser arbitrarias, el principio de acción $\delta I = 0$ está, en parte, garantizado siempre que $E_{\mu\nu} = 0$ y $L_i = 0$. Estas son las ecuaciones de Einstein

$$R_{\mu\nu} - \frac{1}{2}g_{\mu\nu}R = \kappa T_{\mu\nu} \quad (2.7)$$

y las ecuaciones de Euler-Lagrange para los otros campos de materia,

$$\frac{\partial \mathcal{L}_m}{\partial \phi_i} - \frac{1}{\sqrt{-g}}\partial_\mu \left[\frac{\partial \mathcal{L}_m}{\partial (\partial_\mu \phi_i)} \right] = 0 \quad (2.8)$$

Los términos en la segunda línea de (2.6) son de naturaleza diferente. Por ejemplo, $\delta R_{\mu\nu}$ no puede ser puesto en términos de $\delta g_{\mu\nu}$, mientras que el último término es una integral de superficie, o un término de borde¹. El principio de acción está bien definido siempre que la acción (2.1) esté suplementada con término de borde. Para anular el término $\delta R_{\mu\nu}$, debe agregarse un término de borde conocido como el término de Gibbons-Hawking (en el apéndice A se provee una revisión sobre este término), que está íntimamente relacionada con condiciones de borde para la métrica.

Por ejemplo, como veremos en el capítulo 3, para un correcto principio variacional, un término de borde debe agregarse cuando el campo escalar posee un valor asintótico dinámico y diferente de cero al infinito, bajo determinadas condiciones.

¹Si uno demanda que ϕ_i están fijadas al borde, entonces esta integral se anula automáticamente.

2.2. La termodinámica de agujeros negros

Permítanos realizar un repaso elemental de física estadística. Esta introducción es útil para observar cómo se conectan los grados de libertad de un sistema físico con las propiedades termodinámicas del mismo². Finalmente, comentaremos sobre la función de partición para sistemas gravitacionales y cómo se conecta con la acción que estudiamos en la sección previa.

Imagine un sistema compuesto por un número N de partículas, cada una de las cuales puede estar en un nivel de energía dado, E_i (donde $i = 0, 1, 2, \dots, M$). Digamos que E_0 es la mínima energía y que las demás están ordenadas como

$$E_0 < E_1 < \dots < E_i < \dots < E_M \quad (2.9)$$

Si N_i el número de partículas en el nivel de energía E_i , entonces $\sum_{i=0}^M N_i = N$. La probabilidad p_i de que las N_i partículas estén en el nivel E_i es simplemente

$$p_i = \frac{N_i}{N} \quad (2.10)$$

y, naturalmente, suman la unidad, $\sum_{i=0}^M p_i = 1$.

Desde un punto de vista físico, la probabilidad de que las N_i partículas estén en el nivel E_i debe ser una función del valor de la energía de aquel nivel y también de una propiedad del sistema que, convenientemente, llamamos temperatura T ,³

$$p_i \equiv f(E_i, T) \quad (2.11)$$

Por último, asuma que la probabilidad de que N_i partículas estén en el nivel E_i es independiente de la probabilidad de que N_j partículas estén en E_j (con $i \neq j$). Bajo esta hipótesis, la probabilidad p de que N_0 estén con E_0 , N_1 con E_1 , y así sucesivamente, es el producto de todas las respectivas probabilidades por separado.

²Esto, si bien la física estadística de los agujeros negros no es materia de la presente tesis.

³Más cantidades intensivas pueden caracterizar al sistema. Para esta subsección, y por simplicidad, únicamente consideramos la temperatura.

Usando la identificación (2.11), obtenemos

$$f\left(\sum_{i=1}^M E_i, T\right) = \prod_{i=1}^M f(E_i, T) \quad (2.12)$$

donde $\sum_{i=1}^M E_i$ no es la energía total del sistema, sino la suma de las energías de cada nivel. La expresión más simple que reproduce este resultado es

$$f(E, T) = \frac{\exp(-\beta E)}{Z(\beta)} \quad (2.13)$$

donde β , definida positiva⁴, es una función únicamente de la temperatura del sistema y $Z(\beta)$ una función de la temperatura por determinar. Introduciendo la constante de Boltzmann, $k_B \approx 1,38 \times 10^{-23}$ [J·K⁻¹], por análisis dimensional se sigue que la función más sencilla para β es

$$\beta(T) = \frac{1}{k_B T} \quad (2.14)$$

La condición de normalización para la probabilidad, $\sum_{i=0}^M p_i = 1$, implica que

$$Z(\beta) = \sum_{i=0}^M \exp(-\beta E_i) \quad (2.15)$$

Una expresión final para $Z(\beta)$, que es conocida como la *función de partición* del sistema, es posible solo conociendo los detalles sobre los niveles de energía para un sistema físico concreto. De esta manera, la función de partición codifica toda la información relevante, por ejemplo, el valor de expectación para la energía de una partícula o la entropía del sistema

$$\langle E \rangle = -\frac{\partial \ln Z}{\partial \beta}, \quad S \equiv -k_B \sum_{i=0}^M p_i \ln p_i = k_B (\ln Z + \beta \langle E \rangle) \quad (2.16)$$

En la sección previa (2.1), hemos visto el principio de acción en gravedad. Aquí, estamos interesados en agujeros negros como sistemas termodinámicos. Por lo tanto,

⁴La condición $\beta(T) > 0$ viene como consecuencia de la normalización de la probabilidad. En otras palabras, $\exp(-\beta E_i)$ no puede ser arbitrariamente grande para algún E_i , en virtud de las desigualdades (2.9) que no imponen un máximo para E_i .

estamos interesados en determinar la función de partición apropiada para sistemas gravitacionales. El objetivo es entonces mostrar brevemente cómo se conecta la acción gravitacional con la función de partición.

Estudiando cómo se comportan los campos de materia en las cercanías de los agujeros negros, Hawking mostró que, usando la teoría cuántica de campos, los agujeros negros deben emitir partículas a un ritmo constante [3], con un espectro de emisión térmico. Para un sistema cuántico descrito por un hamiltoniano H , función de partición es

$$Z = \text{Tr} (e^{-\beta H}), \quad (2.17)$$

donde $\beta = (k_B T)^{-1}$. Nótese que, por ejemplo, si $|E_i\rangle$ son autoestados con energía E_i , es decir, $H |E_i\rangle = E_i |E_i\rangle$, entonces puede seguirse fácilmente que

$$\text{Tr} (e^{-\beta H}) = \sum_i \langle E_i | e^{-\beta H} | E_i \rangle = \sum_i e^{-\beta E_i}, \quad (2.18)$$

como teníamos antes.

Tomemos ahora un campo escalar. En la aproximación de la integral de caminos, podemos considerar la amplitud para ir de una configuración ϕ_1 al tiempo $t_1 = 0$ a otra configuración ϕ_2 al tiempo $t_2 = t$, dada por

$$\langle \phi_2, t_2 | \phi_1, t_1 \rangle = \int \mathcal{D}\phi e^{iI[g_{\mu\nu}, \phi]}, \quad (2.19)$$

donde $\mathcal{D}\phi$ es una medida sobre el espacio del campo ϕ . Esta amplitud puede también ser expresada en términos del operador evolución $U = e^{-iHt/\hbar}$, cuya traza es

$$\text{Tr} (U) = \langle \phi_2, t_2 | \phi_1, t_1 \rangle = \int d\phi \langle \phi | e^{-iHt/\hbar} | \phi \rangle \quad (2.20)$$

La función de partición puede ser asociada con la traza del operador evolución, realizando una rotación de Wick

$$t \rightarrow -i\tau \quad (2.21)$$

y evaluando $\tau = \hbar\beta$. Mientras que $t \in \mathbb{R}$, el *tiempo imaginario* τ es periódico, $0 < \tau < \hbar\beta$, como mostraremos en la próxima subsección. Tenemos entonces la

siguiente identificación

$$\text{Tr}(U) \underset{t \rightarrow -i\tau|_{\tau=h\beta}}{=} \text{Tr}(e^{-\beta H}) = Z, \quad (2.22)$$

con lo cual la función de partición para el sistema gravitacional es identificada como $Z = \int \mathcal{D}\phi e^{-I^E}$, donde I^E es la acción en la sección Euclidiana⁵. La relación entre la acción I y su versión euclidea I^E debe ser

$$I^E = -iI|_{t \rightarrow -i\tau_E}. \quad (2.23)$$

Ahora, debemos considerar la contribución dominante en la función de partición gravitacional. Esta es la aproximación semiclásica (o de punto silla), en la cual tomamos únicamente

$$Z \approx e^{-I^E}, \quad (2.24)$$

donde la acción es evaluada en los campos que resuelven las ecuaciones de movimiento (*evaluación “on shell”*). Esto equivale a tomar los campos cuánticos en un background clásico (campos cuánticos en espaciotiempos curvos descritos por la relatividad general).

Es importante comentar que la periodicidad en el tiempo imaginario τ viene como un requerimiento de regularidad en la métrica. Al calcular la periodicidad en el tiempo imaginario, estamos obteniendo una temperatura.

A continuación, entonces, veremos que tras la rotación de Wick la métrica de una solución adquiere una *singularidad cónica* que puede ser removida proveyendo al tiempo τ de una periodicidad que es inversa proporcional de la temperatura asociada a la radiación que emite un agujero negro.

⁵La rotación de Wick cambia la signatura de la métrica desde $(-, +, +, +)$ a $(+, +, +, +)$.

2.3. La temperatura de Hawking

Con el descubrimiento de Hawking de la radiación de los agujeros negros se inicia la termodinámica de agujeros negros. Como sistema gravitacional, los agujeros negros pueden alcanzar estados de equilibrio térmico con el espaciotiempo.

Obtendremos la temperatura por medio del cálculo de la periodicidad de τ , de acuerdo a los discutido previamente.

Desde ahora, llamaremos τ^E al tiempo imaginario.

Considere un elemento de línea conectando dos eventos infinitesimalmente próximos en un espaciotiempo estático descrito por una métrica estática y con simetría esférica,

$$ds^2 = g_{tt}dt^2 + g_{rr}dr^2 + g_{\theta\theta} (d\theta^2 + \sin^2\theta d\varphi^2) \quad (2.25)$$

donde $g_{tt} \leq 0$. Ahora, llevemos la métrica a la sección Euclidiana, es decir, realizando el cambio $t = -i\tau^E$. En seguida, definamos la función $N(r)^2 \equiv -g_{tt}$, y la coordenada $R \equiv \sqrt{N(r)^2}$. Escribiendo la métrica en la coordenada R , empleando $dr^2 = \frac{dR^2}{(N')^2}$, donde $N' = \frac{dN}{dr}$, se obtiene

$$ds^2 = \frac{g_{rr}}{(N')^2} \left[dR^2 + R^2 d \left(\frac{N'}{\sqrt{g_{rr}}} \tau^E \right)^2 \right] + g_{\theta\theta} (d\theta^2 + \sin^2\theta d\varphi^2) \quad (2.26)$$

Escrita en esta manera conveniente, es sencillo identificar una singularidad de coordenada en $R = 0$, muy similar a aquella que aparece en coordenadas polares $dr^2 + r^2 d\theta^2$, donde $0 \leq \theta < 2\pi$, puesto que, si menor que 2π , se forma una singularidad cónica (una variedad física debe ser diferenciable en cada punto).

Por lo tanto, mientras que $t \in \mathbb{R}$, el tiempo euclidiano τ^E debe ser periódico

$$0 \leq \tau^E < \frac{2\pi\sqrt{g_{rr}}}{N'} \Big|_{R=0} = \hbar\beta \quad (2.27)$$

Esto, según la discusión en la sección previa, provee de una temperatura asociada al horizonte de evento ($R = 0 \leftrightarrow g_{tt} = 0$)

$$T = \frac{\hbar}{2\pi k_B} \frac{N'}{\sqrt{g_{rr}}} \Big|_{r=r_+} \quad (2.28)$$

donde $r = r_+$ es la localización del horizonte de eventos.

Note que la definición de N es tal que uno puede considerar la expresión positiva o negativa, a fin de que $T > 0$.

La aplicación más trivial es el cálculo de la temperatura del agujero negro de Schwarzschild, donde $N(r) = c \left(1 - \frac{r_+}{r}\right)^{1/2}$, siendo r_+ la coordenada del horizonte de eventos. El resultado es

$$T_{Schw} = \left(\frac{\hbar c^3}{k_B G_N} \right) \frac{1}{8\pi M} \quad (2.29)$$

Para una métrica estática del tipo $ds^2 = -f(r)dt^2 + \frac{dr^2}{f(r)} + b(r)^2 d\sigma^2$, la temperatura de Hawking es

$$T = \frac{\hbar}{4\pi k_B} \left. \frac{df(r)}{dr} \right|_{r=r_+} \quad (2.30)$$

donde $f(r_+) = 0$ es la ecuación del horizonte.

Capítulo 3

Las cargas escalares y la primera ley de la termodinámica

Los campos escalares juegan un papel central en la física de partículas y en la cosmología, y aparecen naturalmente en teorías de unificación en física de altas energías. Es entonces importante entender sus propiedades generales en teorías gravitacionales acopladas a escalares (y otros campos de materia), particularmente el rol de estos campos en la física de agujeros negros.

En particular, el dilatón es un campo escalar que aparece en el límite de bajas energías en teorías de cuerdas. Algunos de los conocimientos aceptados en la relatividad general podrían ser reconsiderados en este contexto. Una de las diferencias importantes es que, contrario a fijar las condiciones de borde como en la relatividad general, las condiciones de borde en teorías de cuerdas son determinadas por valores de expectación dinámicos de los campos escalares. Una consecuencia importante e inusual es que, para agujeros negros no extremos ($T \neq 0$) en teorías de cuerdas, tanto la masa como el área del horizonte de eventos dependen de una forma no trivial del valor asintótico de los campo escalares, ϕ_∞^a (donde a etiqueta diferentes escalares), lo que conduce a una drástica modificación a la primera ley de la termodinámica de agujeros negros[24]:

$$dM = TdS + \Psi dQ + \Upsilon dP + \left(\frac{\partial M}{\partial \phi_\infty^a} \right) d\phi_\infty^a \quad (3.1)$$

donde Ψ y Υ son los potenciales conjugados eléctrico y magnético, y los coeficientes de ϕ_∞^a son calculados a cargas y entropía fijas,

$$\left(\frac{\partial M}{\partial \phi_\infty^a} \right)_{S,Q,P} = -G_{ab}(\phi_\infty) \Sigma^b \quad (3.2)$$

Usando las notaciones de [24], $G_{ab}(\phi_\infty)$ es la métrica del espacio de los escalares y Σ^a son las cargas escalares, que pueden ser obtenidas mediante expansión asintótica (en el infinito espacial) de los campos escalares:

$$\phi^a = \phi_\infty^a + \frac{\Sigma^a}{r} + \mathcal{O}\left(\frac{1}{r^2}\right) \quad (3.3)$$

Una propuesta similar aparece en el contexto de la dualidad AdS/CFT donde, para una solución exacta de agujero negro con campo escalar que es asintóticamente AdS,

se encontró que la primera ley debería ser modificada por un par (X, Y) conjugado adicional de variables termodinámicas [25]:

$$dM = TdS + \Psi dQ + \Upsilon dP + XdY \quad (3.4)$$

Estas cantidades, (X, Y) , son expresables como funciones de las cargas conservadas (M, P, Q) y fueron interpretadas en su propio derecho como una carga escalar y su potencial conjugado [25].

Un problema con la primera ley de la termodinámica (3.1) para agujeros negros en teorías de cuerdas es que las cargas escalares no son cargas conservadas. Ellas corresponden a grados de libertad que viven fuera del horizonte (el ‘pelo’) y no están asociadas a una nueva e independiente constante de integración (por lo que se les llaman ‘pelo secundario’). En teorías de cuerdas, los campos escalares (o ‘moduli’) se interpretan como constantes de acoplamiento locales y una variación en sus valores en el borde es equivalente a cambiar los acoplamientos de la teoría. Una resolución fue propuesta en [26] (o, también, [27]): uno puede en principio redefinir las cargas tal que la masa y las cargas escalares no dependan de ϕ_∞ , pero el precio que se paga es que las nuevas cargas eléctricas y magnéticas definidas (o cargas ‘vestidas’) ya no son cargas físicas. Si el valor asintótico del campo escalar es diferente de cero, pero fijadas directamente en la acción, $\phi_\infty = \text{const.}$, ello corresponde a una diferente teoría con diferente acoplamiento (el factor e^{ϕ_∞} es absorbido en la constante de acoplamiento, no en los valores de las cargas) para el campo gauge y, dentro de la teoría, el término $\Sigma d\phi_\infty$ se anula. Esta propuesta se hizo concreta en [28] donde, usando un método de espacio de fase, se mostró que esto es una condición de integrabilidad válida y que no hay necesidad de una contribución extra del campo escalar en la primera ley.

Sin embargo, quisiéramos enfatizar que la propuesta de Gibbons, Kallosh, y Kol [24] es sobre la variación de las condiciones de borde para los campos escalares y, de esta forma, a pesar de los argumentos en [26, 28], permanece robusto e intrigante. La cuestión principal que todavía permanece, es entonces, ¿por qué las cargas escalares que actúan como fuente para los campos escalares, pero que no son cargas conservadas, aparecen en la primera ley de la termodinámica de agujeros negros cuando se consideran variaciones de ϕ_∞ ?

En este capítulo de la presente tesis, investigamos el rol de las condiciones de

borde no triviales de los campos escalares en teorías Einstein-Maxwell-dilatón. Estamos interesados en soluciones exactas, asintóticamente planas, de agujeros negros para las cuales el valor asintótico del campo escalar pueda variar, y en soluciones asintóticamente AdS para agujeros negros cargados tanto eléctricamente como magnéticamente, para las cuales los escalares rompen la simetría conforme en el borde. En espacios asintóticamente planos, obtenemos un principio variacional bien posicionado, agregando un nuevo término de borde a la acción, lo cual permite calcular la energía total correcta, clarificando con ello el rol de las cargas escalares (no conservadas) en la primera ley [24]. Una vez con la intuición desarrollada en espacios planos, mostraremos que una vez que la energía es también correctamente obtenida en espaciotiempos AdS [29], cuando las condiciones de borde del campo escalar no preservan las isometrías de AdS en el borde [30], la primera ley es satisfecha y no hay necesidad de considerar una contribución extra del campo escalar. Estas consideraciones son de especial interés cuando se consideran incrustaciones (*embedding*) en teorías de cuerdas y el campo escalar (dilatón) se vuelve dinámico y, para aplicaciones holográficas (AdS), los agujeros negros con campos escalares pueden ser usados para describir rompimiento de simetrías o transiciones de fase en la teoría cuántica de campos dual.

3.1. Agujeros negros con pelo escalar en espacio-tiempos asintóticamente planos

En esta sección, proponemos un principio variacional para agujeros negros en espacios asintóticamente planos¹ cuando el valor del borde del campo escalar puede variar y mostramos que la energía total tiene una nueva contribución que es relevante para la termodinámica. El objetivo es discutir este desafío en un marco no trivial y lo más simple posible, esto es, usaremos el *formalismo cuasilocal* de Brown-York [32] para una teoría con solo un campo escalar que está acoplado a un campo gauge.

3.1.1. La primera ley de la termodinámica

Comenzamos con una breve revisión del trabajo [24] y, para mayor claridad, explícitamente obtenemos los términos de carga escalar en la primera ley. Aparte del gravitón, cada teoría de cuerdas contiene otro estado universal, un campo sin masa llamado dilatón ϕ . Consiramos la acción de Einstein-Maxwell-dilatón

$$I[g_{\mu\nu}, A_\mu, \phi] = I_{bulk} + I_{GH} \quad (3.5)$$

$$= \frac{1}{2\kappa} \int_{\mathcal{M}} d^4x \sqrt{-g} (R - e^{\alpha\phi} F_{\mu\nu} F^{\mu\nu} - 2\partial_\mu \phi \partial^\mu \phi) + \frac{1}{\kappa} \int_{\partial\mathcal{M}} d^3x \sqrt{-h} K \quad (3.6)$$

donde $\kappa = 8\pi$, de acuerdo a nuestras convenciones $c = G_N = 1$. El segundo término es el término de borde de Gibbons-Hawking y K es la traza de la curvatura extrínseca K_{ab} definida sobre el borde $\partial\mathcal{M}$ con la métrica inducida h_{ab} .

El acoplamiento entre el campo escalar y el campo gauge en la acción (3.6) aparece en acciones de bajas energía de teorías de cuerdas para valores particulares de α , aunque en nuestro análisis podemos mantener α arbitrario. Las ecuaciones de movimiento para la métrica, campo escalar y campo gauge son

$$E_{\mu\nu} := R_{\mu\nu} - 2\partial_\mu \phi \partial_\nu \phi - 2e^{\alpha\phi} \left(F_{\mu\alpha} F_\nu^\alpha - \frac{1}{4} g_{\mu\nu} F_{\alpha\beta} F^{\alpha\beta} \right) = 0 \quad (3.7)$$

¹En espaciotiempo asintóticamente plano, existe una clase distinta de agujeros negros con campos escalar (agujeros negros escalarizados), vea, por ejemplo, [31], y las referencias dentro. En esta tesis, trabajamos con campos escalares dilatónicos, no con agujeros negros escalarizados.

$$\frac{1}{\sqrt{-g}}\partial_\mu(\sqrt{-g}g^{\mu\nu}\partial_\nu\phi) - \frac{1}{4}\alpha e^{\alpha\phi}F_{\mu\nu}F^{\mu\nu} = 0 \quad (3.8)$$

$$\partial_\mu(\sqrt{-g}e^{\alpha\phi}F^{\mu\nu}) = 0 \quad (3.9)$$

El ansatz general para la métrica de una solución estática de agujero negro cargado es

$$ds^2 = -a^2 dt^2 + a^{-2} dr^2 + b^2(d\theta^2 + \sin^2\theta d\varphi^2) \quad (3.10)$$

donde $a = a(r)$ y $b = b(r)$. El campo de gauge compatible con este ansatz y con las ecuaciones de movimiento es

$$F = -\frac{qe^{-\alpha\phi}}{b^2} dt \wedge dr - p \sin\theta d\theta \wedge d\varphi \quad (3.11)$$

Ahora, la combinación $E_t^t + E_\theta^\theta$ conduce a una ecuación integrable $(a^2 b^2)'' = 2$ (donde la prima ()' significa derivada con respecto a la coordenada radial) con la solución general

$$a^2 = \frac{(r - r_+)(r - r_-)}{b^2} \quad (3.12)$$

donde las constantes r_\pm , con una de ellas indicando la localización del horizonte de eventos, deben ser determinadas.

Ya que estamos interesados en soluciones asintóticamente planas, consideramos la expansión $a^2 = 1 + \mathcal{O}(r^{-1})$ que determina de la expansión de la otra función métrica

$$b^2 = r^2 + \beta r + \gamma + \mathcal{O}(r^{-1}) \quad (3.13)$$

donde β y γ son constantes. Usando esta expresión en la combinación $E_t^t - E_r^r = 0$, que conduce a la ecuación $b'' + b\phi'^2 = 0$, obtenemos la siguiente forma asintótica del campo escalar

$$\phi = \phi_\infty + \frac{\Sigma}{r} + \mathcal{O}(r^{-2}) \quad (3.14)$$

donde ϕ_∞ es la condición de borde para la teoría que hemos considerado (para el campo escalar) y Σ es la carga escalar. Uno puede obtener de manera simple que $4\Sigma^2 = \beta^2 - 4\gamma$ y que, para $\beta = 0$, tenemos que $b^2 = r^2 - \Sigma^2$, que corresponde, de hecho, al caso para la solución exacta en la teoría con $\alpha = -2$ que será presentada

a continuación.

Para verificar concretamente los pasos en la obtención de (3.1), vamos a usar la solución exacta [33], donde la carga magnética es nula y el campo escalar está acoplado con el parámetro exponencial $\alpha = -2$. Las ecuaciones de movimiento pueden ser resueltas analíticamente ([19]) y la solución exacta es

$$a^2 = \frac{(r - r_+)(r - r_-)}{r^2 - \Sigma^2}, \quad b^2 = r^2 - \Sigma^2, \quad \phi = \phi_\infty + \frac{1}{2} \ln \left(\frac{r + \Sigma}{r - \Sigma} \right) \quad (3.15)$$

donde

$$r_- = -\Sigma, \quad r_+ = \Sigma - \frac{(qe^{\phi_\infty})^2}{\Sigma} \quad (3.16)$$

La masa ADM [34, 35] es obtenida expandiendo la componente g_{tt} de la métrica,

$$-g_{tt} = a^2 = \frac{\Sigma r + (qe^{\phi_\infty})^2 - \Sigma^2}{\Sigma(r - \Sigma)} = 1 + \frac{(qe^{\phi_\infty})^2}{\Sigma r} + O(r^{-2}) \quad (3.17)$$

que conduce a la identificación

$$M = -\frac{(qe^{\phi_\infty})^2}{2\Sigma} \quad (3.18)$$

con la carga escalar negativa, $\Sigma < 0$. El mismo resultado se obtiene

Note que Σ no es una constante de integración independiente y que la solución es regular² siempre que $2M^2 - Q^2 e^{2\phi_\infty} > 0$.

La carga eléctrica Q es calculada, como es usual, integrando la ecuación del campo eléctrico. Con nuestras convenciones,

$$Q = \frac{1}{4\pi} \oint e^{-2\phi} \star F = \frac{1}{4\pi} \oint e^{-2\phi} \left(\frac{1}{4} \sqrt{-g} \epsilon_{\alpha\beta\mu\nu} F^{\alpha\beta} dx^\mu \wedge dx^\nu \right) = q \quad (3.19)$$

²Cuando ambas cargas (eléctrica y magnética) son diferente de cero, existen dos horizontes. Sin embargo, en este caso especial con sólo un campo eléctrico no cero, existe sólo un horizonte r_+ , puesto que $r = r_-$ corresponde a una singularidad real. La condición de regularidad $r_+ > r_-$ es, desde un punto de vista físico, equivalente con el hecho de que hay una carga máxima que puede ser llevada por el agujero negro.

Con la masa (3.18), uno puede explícitamente verificar la primera ley

$$dM = TdS + \Phi dQ - \Sigma d\phi_\infty \quad (3.20)$$

la cual contiene el término extra propuesto en [24], y la fórmula de Smarr,

$$M = 2TS + Q\Psi \quad (3.21)$$

que no contiene explícitamente una contribución $\Sigma\phi_\infty$.

3.1.2. La energía total y el formalismo de Brown y York

Para aplicar el formalismo de Brown y York[32], la acción gravitacional debe satisfacer el principio de acción, lo que implica que la acción a considerar debe estar regularizada y debe estar suplementada con términos de bordes consistentes con las condiciones de borde para los campos. Para una aplicación directa al agujero negro de Reissner-Nordström, se ha provisto de detalles en el apéndice B.

La regularización de la acción implica la incorporación de un contratérmino gravitacional, en el borde, para espaciotiempos asintóticamente planos[36–39],

$$I = I_{bulk} + I_{GH} + I_{ct} , \quad I_{ct} = -\frac{1}{\kappa} \int_{\partial\mathcal{M}} d^3x \sqrt{-h} \sqrt{2\mathcal{R}^{(3)}} \quad (3.22)$$

donde $\mathcal{R}^{(3)}$ es el escalar de Ricci de la métrica en el borde (3-dimensional), h_{ab} . Este contratérmino cancela las divergencias infrarojas de la teoría.

Para emplear el formalismo de Brown y York (vea en apéndice B para una aplicación al agujero negro de Reissner-Nordström) para teorías Einstein-Maxwell-dilatón, debido a la variación de ϕ_∞ , para obtener un principio variacional bien definido cuando la carga escalar Σ es mantenida fija, se tiene que agregar un nuevo término de borde

$$I_\phi = -\frac{2}{\kappa} \int_{\partial\mathcal{M}} d^3x \sqrt{-h} \left[\frac{\phi_\infty}{\Sigma} (\phi - \phi_\infty)^2 \right] \quad (3.23)$$

Para obtener la energía libre \mathcal{F} de los agujeros negros con campo escalar, debemos

calcular la acción on-shell en la sección Euclidiana:

$$I^E = \beta F = \beta (M - TS - Q\Psi - P\Upsilon + \Sigma\phi_\infty) \quad (3.24)$$

donde la periodicidad del tiempo Euclidiano está relacionada con la temperatura mediante $\beta = 1/T$.

Observe que hay un término extra $\Sigma\phi_\infty$ que, de hecho, viene del contratérmino para el campo escalar I_ϕ , aunque, como hemos visto, un término similar no aparece en la fórmula de Smarr (3.21). Esto es una importante señal de que un cálculo de la energía total podría ser diferente de la masa ADM cuando se considera el término de borde I_ϕ . Con todos los términos requeridos para un correcto principio variacional, obtenemos el tensor cuasilocal regularizado de [40], pero esta vez suplementado con la contribución del campo escalar

$$\tau_{ab} = \frac{1}{\kappa} \left[K_{ab} - h_{ab}K - \Phi(\mathcal{R}_{ab}^{(3)} - h_{ab}\mathcal{R}^{(3)}) - h_{ab}\square\Phi + \Phi_{;ab} \right] + \frac{2h_{ab}}{\kappa} \left[\frac{\phi_\infty}{\Sigma}(\phi - \phi_\infty)^2 \right] \quad (3.25)$$

donde

$$\Phi = \sqrt{\frac{2}{\mathcal{R}^{(3)}}} \quad (3.26)$$

Si consideramos una colección de observadores en el borde de un espaciotiempo estático, conteniendo un agujero negro, puesto que $\xi^\mu = \delta_t^\mu$ es un vector de Killing, ellos van a medir la misma energía (total), que es la carga conservada asociada con este vector de Killing específico, que es definida como[32]:

$$E = \oint_{s_\infty^2} d^2\sigma \sqrt{\sigma} n^a \xi^b \tau_{ab} \quad (3.27)$$

Aquí, Ξ es una superficie cerrada 2-dimensional con la normal unitaria n^a y la métrica inducida

$$\sigma_{ij} dx^i dx^j = b^2 (d\theta^2 + \sin^2 \theta d\varphi^2) \quad (3.28)$$

Puesto que estamos interesados en configuraciones estáticas, no hay ondas gravitacionales y entonces no hay necesidad de considerar el infinito nulo en nuestro análisis. Evaluando esta cantidad conservada, (3.27), al infinito espacial, obtenemos la si-

guiente expresión para la energía total:

$$E_{\text{total}} = M + \phi_{\infty} \Sigma \quad (3.29)$$

Este resultado fue obtenido para una carga escalar fija, $\Sigma = \text{constant}$, y esto conduce a la siguiente primera ley de la termodinámica

$$dE_{\text{total}} = TdS + \Psi dQ + \Upsilon dP \quad (3.30)$$

con $\Sigma d\phi_{\infty}$ reabsorbido en la energía total del espaciotiempo, el cual es diferente de la masa *ADM*.

Debemos ahora considerar una condición de borde más general de la forma

$$\Sigma \equiv \frac{dW(\phi_{\infty})}{d\phi_{\infty}} \quad (3.31)$$

la cual es muy similar con la propuesta en [41] para agujeros negros con campo escalar en AdS. El término de borde general es (para una derivación de este termino de borde, vea el apéndice C)

$$\tilde{I}_{ct}^{\phi} = -\frac{2}{\kappa} \int_{\partial\mathcal{M}} d^3x \sqrt{-h} \left[\frac{(\phi - \phi_{\infty})^2}{\Sigma^2} W(\phi_{\infty}) \right] \quad (3.32)$$

y se reduce a (3.23) cuando Σ es constante. Como es esperado, un cálculo similar de la energía total conduce al siguiente resultado

$$E_{\text{total}} = M + W(\phi_{\infty}) \quad (3.33)$$

donde M es la masa *ADM* obtenida de la expansión de g_{tt} en el infinito espacial.

3.2. Agujeros negros con campo escalar, asintóticamente AdS

En esta sección, calculamos la energía del agujero negro diónico (con carga eléctrica y magnética), propuesto en [25] y verificamos la primera ley de la termodinámica.³ Seguimos de cerca[29] porque es técnicamente más sencillo desde un punto de vista práctico⁴. Vamos a mostrar que la primera ley es, de nuevo, satisfecha sin introducir términos extras dependientes de las cargas escalares.

3.2.1. Agujeros negros diónicos con campo escalar

Considere la teoría descrita por la acción[25]

$$I = \frac{1}{2\kappa} \int_{\mathcal{M}} d^4x \sqrt{-g} \left[R - \frac{1}{2}(\partial\phi)^2 - \frac{1}{4}e^{-\sqrt{3}\phi}F^2 + \frac{6}{l^2} \cosh\left(\frac{1}{\sqrt{3}}\phi\right) \right] \quad (3.34)$$

y la siguiente solución regular,

$$ds^2 = -(H_1H_2)^{-\frac{1}{2}}f dt^2 + (H_1H_2)^{\frac{1}{2}} \left[\frac{dr^2}{f} + r^2 (d\theta^2 + \sin^2\theta d\varphi^2) \right] \quad (3.35)$$

$$\phi = \frac{\sqrt{3}}{2} \ln\left(\frac{H_2}{H_1}\right) \quad (3.36)$$

$$A_\mu dx^\mu = \sqrt{2} \left(\frac{1 - \beta_1 f_0}{\sqrt{\beta_1 \gamma_2} H_1} dt + 2\mu \gamma_2^{-1} \sqrt{\beta_2 \gamma_1} \cos\theta d\varphi \right) \quad (3.37)$$

donde las funciones relevantes son

$$f = f_0 + \frac{r^2}{l^2} H_1 H_2, \quad f_0 = 1 - \frac{2\mu}{r} \quad (3.38)$$

$$H_1 = \gamma_1^{-1} (1 - 2\beta_1 f_0 + \beta_1 \beta_2 f_0^2), \quad H_2 = \gamma_2^{-1} (1 - 2\beta_2 f_0 + \beta_1 \beta_2 f_0^2) \quad (3.39)$$

$$\gamma_1 = 1 - 2\beta_1 + \beta_1 \beta_2, \quad \gamma_2 = 1 - 2\beta_2 + \beta_1 \beta_2. \quad (3.40)$$

³En los últimos años, se han construido soluciones regulares de agujeros negros[42–47] para un potencial específico, el que finalmente se ha mostrado corresponder a modelos extendidos de supergravedad[48, 49] y nuestro análisis puede también ser aplicado a estos casos.

⁴El método de contratérminos en AdS fue desarrollado en[50–52] y en presencia de campos escalares con condiciones de borde mixtas en[53–55], y se pueden aplicar a soluciones que son localmente asintóticamente AdS, por ejemplo, [56–61]

Aquí, los parámetros β_1 y β_2 están relacionados con las cargas eléctrica y magnética, de acuerdo con la ley de Gauss

$$Q = \frac{1}{4\pi} \oint_{s_\infty^2} e^{-\sqrt{3}\phi} \star \left(\frac{1}{4} F \right) = \frac{\mu\sqrt{\beta_1\gamma_2}}{\gamma_1\sqrt{2}} \quad (3.41)$$

$$P = \frac{1}{4\pi} \oint_{s_\infty^2} \left(\frac{1}{4} F \right) = \frac{\mu\sqrt{\beta_2\gamma_1}}{\gamma_2\sqrt{2}} \quad (3.42)$$

y los potenciales conjugados son

$$\Psi = A_t(\infty) - A_t(r_+) = \sqrt{\frac{2}{\beta_1\gamma_2}} \left[1 - \beta_1 - \frac{1 - \beta_1 f_0(r_+)}{H_1(r_+)} \right] \quad (3.43)$$

$$\Upsilon = A_t^p(\infty) - A_t^p(r_+) = \sqrt{\frac{2}{\beta_2\gamma_1}} \left[1 - \beta_2 - \frac{1 - \beta_2 f_0(r_+)}{H_2(r_+)} \right] \quad (3.44)$$

donde $F^p \equiv e^{\sqrt{3}\phi} \star F = dA^p$.

Para calcular la masa como en [25], debemos usar coordenadas canónicas para las cuales el factor en frente de la parte angular de la métrica se vuelve $b^2 = \rho^2 + O(\rho^{-1})$ en el límite asintótico. El cambio de coordenadas en aquel límite es

$$r = \rho + c_1 + \frac{c_2}{\rho} + O(\rho^{-2}) \quad (3.45)$$

donde

$$c_1 = \frac{\mu(2\beta_1^2\beta_2^2 - 3\beta_1^2\beta_2 - 3\beta_1\beta_2^2 + 6\beta_1\beta_2 - \beta_1 - \beta_2)}{\gamma_1\gamma_2}, \quad c_2 = \frac{3\mu^2(1 - \beta_1\beta_2)^2(\beta_1 - \beta_2)^2}{2\gamma_1^2\gamma_2^2} \quad (3.46)$$

Con este cambio de coordenadas, obtenemos el siguiente comportamiento para la componente g_{tt} ,

$$-g_{tt} = 1 + \frac{\rho^2}{l^2} - \frac{2(1 - \beta_1)(1 - \beta_2)(1 - \beta_1\beta_2)\mu}{\gamma_1\gamma_2\rho} + O(\rho^{-2}) \quad (3.47)$$

de donde se lee la masa ADM ,

$$M = \frac{(1 - \beta_1)(1 - \beta_2)(1 - \beta_1\beta_2)\mu}{\gamma_1\gamma_2} \quad (3.48)$$

Es sencillo verificar que la primera ley se satisface, pero con la adición de un término extra, $X dY$ [25]

$$dM = TdS + \Psi dQ + \Upsilon dP + X dY \quad (3.49)$$

donde

$$X = \frac{4\mu^3(\beta_1 - \beta_2)\sqrt{\beta_1\beta_2^3}}{l^2(1 - \beta_1\beta_2)\gamma_2^2}, \quad Y = \frac{\sqrt{\beta_1}\gamma_2}{\sqrt{\beta_2}\gamma_1} \quad (3.50)$$

3.2.2. Masa hamiltoniana y energía conservada

Como en el caso asintóticamente plano, quisiéramos entender si el término $X dY$ puede ser reabsorbido en una definición correcta de energía total. Ahora seguimos de cerca [29, 55], El campo escalar se comporta en el borde como

$$\phi(\rho) = \frac{A}{\rho} + \frac{B}{\rho^2} + O(\rho^{-3}) \quad (3.51)$$

donde

$$A = \frac{2\sqrt{3}\mu(\beta_2 - \beta_1)(1 - \beta_1\beta_2)}{\gamma_1\gamma_2} \quad (3.52)$$

$$B = \frac{2\sqrt{3}\mu^2(\beta_1 - \beta_2)(\beta_1^3\beta_2^2 + \beta_1^2\beta_2^3 - 8\beta_1^2\beta_2^2 + 6\beta_1^2\beta_2 + 6\beta_1\beta_2^2 - 8\beta_1\beta_2 + \beta_1 + \beta_2)}{\gamma_1^2\gamma_2^2} \quad (3.53)$$

Observe que $A = A(\mu, \beta_1, \beta_2)$ y $B = B(\mu, \beta_1, \beta_2)$. La masa hamiltoniana, que puede ser leída directamente de $g_{\rho\rho}$ (y no de g_{tt}), puede tener una nueva contribución debido a la *back-reaction* del campo escalar en el borde (vea las ecuaciones (12) y (18) de [29]):

$$g_{\rho\rho} = \frac{l^2}{\rho^2} + \frac{Cl^4}{\rho^4} + \frac{Dl^5}{\rho^5} + O(\rho^{-6}) \quad (3.54)$$

donde los coeficientes $C = C(\mu, \beta_1, \beta_2)$ y $D = D(\mu, \beta_1, \beta_2)$ están dados por:

$$C = -1 - \frac{3\mu^2(\beta_2 - \beta_1)^2(1 - \beta_1\beta_2)^2}{l^2\gamma_1^2\gamma_2^2} \quad (3.55)$$

$$D = \frac{2\mu(1 - \beta_1)(1 - \beta_2)(1 - \beta_1\beta_2)}{l\gamma_1\gamma_2} + \frac{8\mu^3(\beta_2 - \beta_1)^2(1 - \beta_1\beta_2)(\beta_1^3\beta_2^2 + \beta_1^2\beta_2^3 - 8\beta_1^2\beta_2^2 + 6\beta_1^2\beta_2 + 6\beta_1\beta_2^2 - 8\beta_1\beta_2 + \beta_1 + \beta_2)}{l^3\gamma_1^3\gamma_2^3} \quad (3.56)$$

Como una verificación extra, es importante enfatizar que las relaciones

$$C = -1 - \frac{A^2}{4l^2} \quad (3.57)$$

$$D = \frac{2M}{l} - \frac{2AB}{3l^3} \quad (3.58)$$

son satisfechas y entonces podemos usar el resultado general para la masa presentada en [29, 55]:

$$E_{\text{total}} = \frac{(1 - \beta_1)(1 - \beta_2)(1 - \beta_1\beta_2)\mu}{\gamma_1\gamma_2} + \frac{1}{4l^2} \left(W - \frac{1}{3}AB \right) \quad (3.59)$$

$$= M + \frac{1}{4l^2} \left(W - \frac{1}{3}AB \right) \quad (3.60)$$

donde W se introduce por medio de las condiciones de borde del campo escalar $B \equiv \frac{dW}{dA}$. Note que las convenciones para la acción en [55] son ligeramente diferentes de las nuestras y, para hacer coincidir los resultados, uno debería rescalar el campo escalar apropiadamente.

Ahora es sencillo mostrar que el término $X dY$ es precisamente la variación del término extra en (3.59). Una vez más, usando la energía total correcta, la primera ley de la termodinámica puede ser rescrita como

$$dM = TdS + \Psi dQ + \Upsilon dP + X dY \quad \Leftrightarrow \quad dE_{\text{total}} = TdS + \Psi dQ + \Upsilon dP \quad (3.61)$$

y no hay necesidad de agregar una contribución extra dependiente de las cargas escalares.

3.3. Conclusiones

En este capítulo, usando ideas del formalismo cuaislocal de la energía y el método de contratérminos, hemos revisitado la primera ley de la termodinámica de agujeros negros con campo escalar y hemos mostrado que las cargas escalares (no conservadas) no pueden aparecer como términos independientes, ni en espaciotiempos asintóticamente planos ni AdS. El trabajo de [62, 63] en el cual fue probado que no hay constantes de integración independientes asociadas con el campo escalar para agujeros negros en AdS soporta nuestra conclusión para los agujeros negros diónicos⁵

En teorías de cuerdas, existe un parámetro adimensional g_s (el acoplamiento de las cuerdas) que es controlado por el valor de expectación del dilatón, $g_s = e^{\langle\phi\rangle}$, el cual no está fijo por las ecuaciones de movimiento. De hecho, la teoría de cuerdas no tiene parámetros libres porque todas las constantes de acoplamiento están fijas por valores de expectación. Por lo tanto, los valores de los campos al infinito, ϕ_∞ , pueden ser interpretados como que etiquetan una familia continua de vacíos de la teoría. Cambiar los valores asintóticos es similar con cambiar las constantes de acoplamiento de la teoría y, entonces, una misma configuración de agujero negro puede ser interpretada en teorías diferentes. Esto es inusual en relatividad general, puesto que las condiciones de borde son fijas, pero es bastante común en teoría de cuerdas. Por ejemplo, para calcular la entropía de agujeros negros extremos supersimétricos en teoría de cuerdas, uno hace un cálculo de D -brana en el régimen de acoplamiento débil y, ya que este resultado está protegido por supersimetría, permanece igual en el régimen de acoplamiento fuerte en el cual los agujeros negros existen. Desde el punto de vista de la relatividad general, hemos mostrado que una variación de ϕ_∞ , tanto si se mantiene o no la carga escalar fija, produce una nueva contribución a la energía total del sistema y la primera ley de la termodinámica es satisfecha sin la necesidad de incluir la contribución del campo escalar.

Con esta nueva expresión para la energía, las cargas escalares no contribuyen y la primera ley usual de la termodinámica que contiene sólo cargas conservadas es, de nuevo, satisfecha para agujeros negros con cargas escalares.

⁵Para otros intentos de explicar el término extra $X dY$ en la primera ley de la termodinámica para soluciones de agujeros negros diónicos con campo escalar presentados en [25], vea [64, 65].

Capítulo 4

Aplicaciones concretas

En este capítulo, proveemos aplicaciones directas del resultado previo, para lo cual consideraremos teorías dadas por la acción del tipo

$$I = \frac{1}{2\kappa} \int_{\mathcal{M}} d^4x \sqrt{-g} \left[R - Z(\phi)F^2 - \frac{1}{2}(\partial\phi)^2 \right] \quad (4.1)$$

para diferentes funciones de acoplamiento $Z(\phi)$. Re-obtenemos las soluciones para un acoplamiento general, $Z = e^{a\phi}$, para cualquier valor del parámetro a , y luego obtenemos soluciones diónicas para $a = 1$. Utilizamos técnicas desarrolladas en [26]. En cada caso, estudiamos la primera ley, verificando que esta se cumple sin la contribución explícita de las cargas escalares, las cuales son reabsorbidas en la energía conservada del sistema, como mostramos en el capítulo anterior.

4.1. Acoplamiento general $Z = e^{a\phi}$

Considere las teorías

$$I[g_{\mu\nu}, A_\mu, \phi] = \frac{1}{2\kappa} \int_{\mathcal{M}} d^4x \sqrt{-g} \left[R - Z(\phi) F^2 - \frac{1}{2} (\partial\phi)^2 \right] \quad (4.2)$$

con las correspondientes ecuaciones de movimiento

$$R_{\mu\nu} - \frac{1}{2} g_{\mu\nu} R = \kappa (T_{\mu\nu}^{EM} + T_{\mu\nu}^\phi), \quad (4.3)$$

$$\frac{1}{\sqrt{-g}} \partial_\mu (\sqrt{-g} g^{\mu\nu} \partial_\nu \phi) = \frac{dZ(\phi)}{d\phi} F^2, \quad (4.4)$$

$$\partial_\mu (\sqrt{-g} Z(\phi) F^{\mu\nu}) = 0, \quad (4.5)$$

donde los tensores de energía-momentum son

$$T_{\mu\nu}^{EM} = \frac{2}{\kappa} Z(\phi) \left(F_{\mu\alpha} F_\nu^\alpha - \frac{1}{4} g_{\mu\nu} F^2 \right), \quad T_{\mu\nu}^\phi = \frac{1}{2\kappa} [\partial_\mu \phi \partial_\nu \phi - g_{\mu\nu} (\partial\phi)^2] \quad (4.6)$$

El campo escalar presenta el siguiente comportamiento asintótico¹

$$\phi(r) = \phi_\infty + \frac{4\Sigma}{r} + \mathcal{O}(r^{-2}) \quad (4.7)$$

donde r es la coordenada radial estándar, ϕ_∞ es el valor asintótico del campo escalar, tratado aquí como una cantidad dinámica, de acuerdo a la discusión en el capítulo previ, y Σ es una constante no independiente. El factor 4 en la expansión en (4.7) es introducido por conveniencia, puesto que hemos cambiado la notación usada previamente. Como antes, definimos la condición de borde del campo escalar mediante

$$\Sigma(\phi_\infty) \equiv \frac{dW(\phi_\infty)}{d\phi_\infty} \quad (4.8)$$

Primero, vamos a reobtener la solución a estas teorías, primero presentadas en [19], usando métodos desarrollados en [26], que involucran la propuesta de anzats adecuados para desacoplar las ecuaciones de movimiento. Vamos a considerar aco-

¹Esta forma del campo escalar al borde para la teoría considerada se sigue de la ecuación de Klein-Gordon (4.4).

plamientos de la forma

$$Z(\phi) = e^{a\phi} \quad (4.9)$$

donde a es una contante parametrizando las teorías. Usemos ahora el siguiente ansatz para la métrica y el campo de gauge,

$$ds^2 = \frac{1}{\eta^2(u-1)^2} \left[-h(u)\Omega(u)dt^2 + \frac{\eta^2 du^2}{h(u)\Omega(u)} + \Omega(u) (d\theta^2 + \sin^2 \theta d\varphi^2) \right] \quad (4.10)$$

$$F = -\frac{qe^{-a\phi(u)}}{\Omega(u)} dt \wedge du \quad (4.11)$$

donde q , un parámetro de carga, y η son las dos constantes de integración independientes. No hay pérdida de generalidad en tomar $\eta \geq 0$. Note que los ansatz (4.10) y (4.11) automáticamente satisfacen las ecuaciones de Maxwell (4.5).

Observe, además, que el borde del espaciotiempo está en el límite $u = 1$, donde el factor conforme en la métrica diverge. Esta observación permite dividir la solución en dos espaciotiempos desconectados, uno donde u toma valores entre $0 < u < 1$ (le llamamos rama negativa) y otro donde $u > 1$ (la rama positiva).

La carga física Q , salvo un signo global, puede ser obtenida mediante la ley de Gauss, es decir, integrando las ecuaciones de Maxwell sobre una 2-esfera en infinito

$$Q = \frac{1}{4\pi} \oint_{s_\infty^2} Z(\phi) \star F = \frac{1}{4\pi} \oint \sqrt{-g} e^{a\phi} F^{tu} d\theta \wedge d\varphi = \frac{q}{\eta} \quad (4.12)$$

Para resolver las ecuaciones diferenciales, consideremos la combinación $E_t^t - E_u^u$, donde $E_{\mu\nu} := R_{\mu\nu} - \frac{1}{2}g_{\mu\nu}R - \kappa(T_{\mu\nu}^{EM} + T_{\mu\nu}^\phi) = 0$, lo cual da

$$\phi'^2 = \left(\frac{\Omega'}{\Omega} \right)^2 - \frac{2\Omega''}{\Omega}, \quad (4.13)$$

donde el símbolo de prima indica derivada respecto de u . La función $\Omega(u)$ puede ser elegida de dos maneras diferentes, dando lugar a dos familias de soluciones. La familia 1 se obtiene al considerar

$$\Omega(u) = \exp[-a(\phi - \phi_\infty)], \quad (4.14)$$

mientras que la familia 2, al considerar

$$\Omega(u) = \exp \left[\frac{1}{a} (\phi - \phi_\infty) \right]. \quad (4.15)$$

Familia 1: Integrando la ecuación (4.13), usando (4.14), obtenemos el siguiente campo escalar

$$\phi(u) = \phi_\infty - \frac{2a}{1+a^2} \ln(u) \quad (4.16)$$

Ahora, usando (4.14) y (4.16), las ecuaciones de Einstein restantes pueden ser integradas para obtener la función métrica $h(u)^2$,

$$h(u) = (u-1)^2 \eta^2 u^{-\frac{3a^2-1}{a^2+1}} \left[(u-1)(1+a^2) \left(qe^{-\frac{1}{2}a\phi_\infty} \right)^2 + 1 \right] \quad (4.17)$$

Observe que

$$\lim_{u=1} g_{tt} = 1, \quad \lim_{u=1} \phi(u) = \phi_\infty$$

como se espera para el borde localizado en $u = 1$. Por otro lado, como es sabido, a pesar de la carga eléctrica, solamente existe un horizonte para estas soluciones

$$u_+ = 1 - \frac{e^{a\phi_\infty}}{(1+a^2)q^2} \quad (4.18)$$

mientras que $u = 0$ corresponde a la singularidad del agujero negro.

Familia 2: Integrando la ecuación (4.13), usando (4.14), obtenemos

$$\phi(u) = \phi_\infty + \frac{2a}{1+a^2} \ln(u) \quad (4.19)$$

y, usando (4.15) junto con (4.19), podemos integrar la restante ecuación de Einstein para obtener

$$h(u) = (u-1)^2 \eta^2 u^{-\frac{4}{a^2+1}} \left[-(u-1)(1+a^2) \left(qe^{-\frac{1}{2}a\phi_\infty} \right)^2 + u \right] \quad (4.20)$$

²Nótese que las constantes de integración ya fueron elegidas a ser η y q (desde el ansatz), por lo tanto, cualquier constante que aparezca al integrar las ecuaciones de movimiento, debe ser una apropiada combinación de η y q .

donde el horizonte está localizado en

$$u_+ = \frac{q^2 e^{-a\phi_\infty} (1 + a^2)}{q^2 e^{-a\phi_\infty} (1 + a^2) - 1} \quad (4.21)$$

Comentaremos brevemente sobre estas dos familias. Como vimos antes, para la familia 1, sólo la rama negativa contiene agujeros negros. Por otro lado, la familia 2 solamente contiene agujeros negros en la rama positiva. Es una cuestión de convención que la rama negativa recibe su nombre debido a que $(\phi - \phi_\infty) < 0$, entonces, siguiendo esta convención, debemos asociar la familia 1 con valores negativos de a , y a la familia 2 con valores positivos de a .

Permitanos verificar la primera ley de la termodinámica para la familia 1 (con $a < 0$). Puesto que los agujeros negros sólo existen para la rama negativa $0 < u < 1$, consideremos el siguiente cambio de coordenadas

$$u = 1 - \frac{1}{\eta r} \quad (4.22)$$

y usemos este cambio para expandir asintóticamente el campo escalar. Esto nos permite encontrar una relación entre η , a y Σ^3 ,

$$\Sigma = \frac{a}{2(a^2 + 1)\eta} \quad (4.23)$$

Ahora, usamos el mismo cambio para leer la masa ADM , mediante la expansión de la métrica,

$$M = \frac{1}{2\eta} \left(q e^{-\frac{1}{2}a\phi_\infty} \right)^2 - \frac{a^2 - 1}{2\eta(a^2 + 1)} \quad (4.24)$$

La temperatura es obtenida en la manera usual

$$T = \frac{\Omega(u_+)}{4\pi\eta} \left. \frac{dh(u)}{du} \right|_{u_+} \quad (4.25)$$

$$= \frac{\eta(u_+ - 1)^2}{4\pi} u_+^{-\frac{4a^2}{a^2+1}} \left[(3a^2 + 4u_+ - 1) \left(q e^{-\frac{1}{2}a\phi_\infty} \right)^2 - \frac{(a^2 - 3)u_+ - 3a^2 + 1}{(u_+ - 1)(a^2 + 1)} \right] u_+^{\frac{2a^2}{a^2+1}} \quad (4.26)$$

³Nótese que para $a < 0$, $\Sigma < 0$, lo cual es consistente para esta rama, donde $\phi < \phi_\infty$.

donde $h(u_+) = 0$. La entropía del agujero negro y el potencial conjugado son

$$S = \frac{\pi\Omega(u_+)}{\eta^2(u_+ - 1)^2}, \quad \Phi \equiv A_t(u_+) - A_t(u = 1) = \eta(u_+ - 1) Q e^{-a\phi_\infty} \quad (4.27)$$

Note que, en la rama negativa, valores positivos para Φ y Q se corresponden con $q < 0$ y, por lo tanto, la carga eléctrica que debe ser considerada es $Q = -\frac{q}{\eta}$. Usando la ecuación del horizonte $h(u_+) = 0$, es sencillo mostrar que la primera ley se cumple, justo como mostramos en el capítulo anterior,

$$dE = TdS + \Phi dQ \quad (4.28)$$

donde E no es la masa ADM , sino $M + W$, con $dW = \Sigma d\phi_\infty$. E es la energía conservada del sistema, obtenida usando el formalismo cuasilocal de Brown y York[32].

El mismo resultado se verifica para la familia 2.

Por último, por completitud, quisiéramos reescribir esta solución en la forma original[19]. Para ello, consideramos el cambio de coordenadas (4.22) una vez más, para la rama negativa.

Puesto que $\eta \geq 0$ y $a < 0$, Σ , dado por (4.23), es negativa también. La solución puede ser escrita como

$$-g_{tt} = g^{rr} = \frac{(r - r_+)(r - r_0)^{\frac{1-a^2}{1+a^2}}}{r^{\frac{2}{1+a^2}}}, \quad g_{\theta\theta} = r^2 \left(1 - \frac{r_0}{r}\right)^{\frac{2a^2}{a^2+1}} = r^2 + \mathcal{O}(r) \quad (4.29)$$

donde $g^{rr} = g^{uu} \left(\frac{du}{dr}\right)^{-2}$ y

$$r_+ \equiv \frac{aQ^2}{\Sigma e^{a\phi_\infty}}, \quad r_0 \equiv \frac{2\Sigma(a^2 + 1)}{a}. \quad (4.30)$$

Como es claro, r_+ es la coordenada del horizonte de eventos del agujero negro. Por otra parte, a pesar de que $r_0 > 0$, r_0 es la ubicación de la singularidad central, puesto que el escalar de Ricci R

$$R = \frac{2a^2(r - r_+)r_0^2 r^{-\frac{2(a^2+2)}{a^2+1}}}{(a^2 + 1)^2 (r - r_0)^{\frac{1+3a^2}{1+a^2}}} \quad (4.31)$$

y el propio campo escalar divergen en el límite $r = r_0$.

Escribiendo la métrica en la coordenada radial, obtenemos la solución como en [19],

$$ds^2 = -a(r)^2 dt^2 + \frac{dr^2}{a(r)^2} + b(r)^2 (d\theta^2 + \sin^2 \theta d\varphi^2) \quad (4.32)$$

donde

$$a(r)^2 = \frac{(r - r_+)(r - r_0)^{\frac{1-a^2}{1+a^2}}}{r^{\frac{2}{1+a^2}}}, \quad b(r)^2 = \left(1 - \frac{r_0}{r}\right)^{\frac{2a^2}{a^2+1}} r^2 \quad (4.33)$$

4.2. Agujeros negros diónicos, $Z(\phi) = e^\phi$

Aquí, consideramos el caso $Z(\phi) = e^\phi$, con ambas cargas, eléctrica y magnética.

Nos proponemos obtener la solución exacta, presentada en [26], aunque mediante otro método, usando el mismo método usado en la sección previa. Nos centraremos en la rama positiva esta vez, aunque el análisis es similar como en la rama negativa.

Consideramos el ansatz

$$ds^2 = \Omega(u) \left[-h(u) dt^2 + \frac{\eta^2 du^2}{u^2 h(u)} + d\theta^2 + \sin^2 \theta d\varphi^2 \right] \quad (4.34)$$

$$F = -\frac{q}{ue^\phi} dt \wedge du + p \sin \theta d\theta \wedge d\varphi \quad (4.35)$$

donde η , q y p son las tres constantes de integración de la solución. Las cargas físicas son

$$Q = \frac{1}{4\pi} \oint_{s_\infty^2} e^\phi \star F = \frac{q}{\eta}, \quad P = \frac{1}{4\pi} \oint_{s_\infty^2} F = p, \quad (4.36)$$

respectivamente. La combinación de las ecuaciones de Einstein $E_t^t - E_u^u$ da

$$\phi'^2 = 3 \left(\frac{\Omega'}{\Omega} \right)^2 - \frac{2}{u} \left(\frac{\Omega''}{\Omega} + \frac{\Omega'}{\Omega} \right) \quad (4.37)$$

Escogiendo

$$\Omega(u) = \frac{u}{\eta^2(u-1)^2}, \quad (4.38)$$

la ecuación (4.37) puede ser integrada para obtener

$$\phi(u) = \ln(u) + \phi_\infty \quad (4.39)$$

Las ecuaciones de movimiento restantes son resueltas por

$$h(u) = \frac{\eta^2(u-1)^2}{u^2} \left[u - (u-1) \left(qe^{-\frac{1}{2}\phi_\infty} \right) + 2\eta^2 u(u-1) \left(pe^{\frac{1}{2}\phi_\infty} \right)^2 \right] \quad (4.40)$$

Observe que la inclusión de la carga magnética da lugar a dos horizontes esta vez (el interno y externo)

$$u_\pm = \frac{1}{2} + \frac{q^2 e^{-2\phi_\infty}}{2\eta^2 p^2} \pm \frac{\sqrt{4(\eta^2 p^2 e^{\phi_\infty})^2 - 8(\eta p q)^2 + 4q^4 e^{-2\phi_\infty} - 4\eta^2 p^2 e^{\phi_\infty} - 4q^2 e^{-2\phi_\infty} + 1}}{4\eta^2 p^2 e^{\phi_\infty}} \quad (4.41)$$

que, en el límite $p = 0$, se reduce solo al horizonte exterior dado en (4.21) para la familia 2, ya que $a = 1$, de acuerdo a la discusión en la sección previa. Debido a la existencia de dos horizontes, estas configuraciones admiten el límite extremo $T = 0$. Consideremos el cambio de coordenadas

$$u = \frac{2r\eta + 1}{2r\eta - 1} \quad (4.42)$$

donde $\Sigma = (4\eta)^{-1}$. El campo escalar, bajo este cambio, toma la forma asintótica

$$\phi(r) = \phi_\infty + \frac{4\Sigma}{r} + O(r^{-2}) \quad (4.43)$$

que es consistente con nuestras convenciones aquí. Ahora, expandiendo la componente g_{tt} podemos leer la masa ADM,

$$-g_{tt} = 1 - \frac{Q^2 e^{-\phi_\infty} - P^2 e^{\phi_\infty}}{2\Sigma r} + \frac{Q^2 e^{-\phi_\infty} + P^2 e^{\phi_\infty}}{r^2} + O(r^{-3}) \quad (4.44)$$

obteniendo

$$M = \frac{Q^2 e^{-\phi_\infty} - P^2 e^{\phi_\infty}}{4\Sigma} \quad (4.45)$$

La temperatura y entropía son

$$\begin{aligned}
 T &= -\frac{u_+}{4\pi\eta} \left. \frac{dh(u)}{du} \right|_{u_+} \\
 &= \frac{\eta(u_+ - 1)^2}{2\pi u_+^2} \left[q^2 e^{-\phi_\infty} (2 + u_+) - \eta^2 p^2 e^{\phi_\infty} (1 + 2u_+) u_+ - \frac{u_+(1 + u_+)}{2(u_+ - 1)} \right] \quad (4.46)
 \end{aligned}$$

$$S = \pi\Omega(u_+) \quad (4.47)$$

mientras que los potenciales conjugados, eléctrico y magnético, son

$$\Phi = A_t(u_+) - A(u = 1) = \frac{\eta(u_+ - 1)}{u_+} Q e^{-\phi_\infty} \quad (4.48)$$

$$\Psi = A_t^p(u_+) - A^p(u = 1) = \eta(u_+ - 1) P e^{\phi_\infty} \quad (4.49)$$

donde, en el lenguaje de formas diferenciales, $dA^p = F^p \equiv e^\phi \star F$ o, equivalentemente, $\Psi = \int_{u_+}^{u=1} F_{ut}^p du$. Ahora, usando la ecuación del horizonte, $h(u_+) = 0$, es sencillo verificar la primera ley

$$dE = TdS + \Phi dQ + \Psi dP \quad (4.50)$$

donde, de nuevo, $E = M + W$ es la energía conservada del sistema.

Finalmente, podemos escribir la solución en la coordenada r , usando el mismo cambio de coordenadas (4.42),

$$ds^2 = -a(r)^2 dt^2 + \frac{dr^2}{a(r)^2} + b(r)^2 (d\theta + \sin^2 \theta d\varphi) \quad (4.51)$$

donde $a(r)$ y $b(r)$ son las funciones métricas dadas por

$$a(r)^2 = \frac{(r - r_+)(r - r_-)}{b(r)^2}, \quad b(r)^2 = r^2 - 4\Sigma^2 \quad (4.52)$$

donde $r = \Sigma$ es la ubicación de la singularidad central, mientras que r_\pm indican el horizonte interno y externo.

4.3. Comentarios finales

En este capítulo, hemos re-obtenido soluciones exactas conocidas mediante unas técnicas que permiten desacoplar convenientemente e integrar las ecuaciones de movimiento. Hemos verificado que las cargas escalares no aparecen en la primera ley de la termodinámica para una solución de agujero negro cargado eléctricamente con pelo, para cualquier coupling de la forma $e^{a\phi}$. En estos casos, la energía conservada no es únicamente la masa ADM sino que el contiene un término extra, tal y como mostramos en el capítulo anterior. Adicionalmente, obtuvimos la misma conclusión para una solución exacta considerando carga eléctrica y magnética también.

Capítulo 5

Configuraciones

termodinámicamente estables de
agujeros negros con campo escalar
auto-interactuante

El carácter termodinámico de la gravedad se vuelve aparente en el contexto de la física de agujeros negros. Cuando se consideran efectos cuánticos, el significado termodinámico de las cantidades físicas, las cuales fueron originalmente consideradas puramente geométricas [5], viene naturalmente [3, 66].

Esta conexión sutil entre la termodinámica y la física de agujeros negros provee una de las más importantes características de cualquier teoría que intente unificar la mecánica cuántica con la relatividad general. Particularmente, la relación entre la entropía de un agujero negro y el área de su horizonte de eventos podría ser una importante pista de que el principio holográfico [67, 68] es fundamental para construir tal teoría [69].

Un agujero negro en equilibrio térmico con sus alrededores es claramente relevante para entender la relación entre las cantidades termodinámicas y su contraparte geométrica. La sabiduría convencional es que los agujeros negros asintóticamente planos no son termodinámicamente estables [66]. Esto es una consecuencia directa del hecho que el agujero negro de Schwarzschild en un espaciotiempo asintóticamente plano, sin la imposición de más condiciones, tiene una capacidad calórica negativa y no puede estar en equilibrio térmico con un reservorio indefinidamente grande de energía. Esto es, una fluctuación puede romper el equilibrio entre la tasa de absorción de radiación térmica y la tasa de emisión de la radiación de Hawking, lo que conduciría a la evaporación del agujero negro o a un indenfido crecimiento (dependiendo de si la fluctuación inicial hizo al agujero negro un poco más caliente, o un poco más frío que el baño térmico, respectivamente).

La capacidad calórica para un agujero negro neutro y asintóticamente plano puede pasar a ser positiva en el ensamble canónico si se le entrega carga eléctrica (o se le suministra rotación), pero esto por sí solo no asegura una estabilidad termodinámica completa en tanto otras funciones respuestas pueden volverse negativa en el mismo rango de parámetros.

Entonces, en este capítulo, tomaremos este desafío e investigaremos soluciones de agujeros negros en una teoría más general con un campo escalar y su interacción no trivial. La ventaja de considerar teorías de Einstein-Maxwell-dilatón con un potencial para el dilatón, es que existen soluciones exactas [43] y no tenemos que recurrir a métodos numéricos. La principal suposición para las demostraciones para teoremas

de no-pelo son planitud asintótica (asymptotic flatness) y la naturaleza del tensor de energía-momento y, entonces, a primera vista, la existencia de soluciones regulares con campo escalar, asintóticamente planas, puede ser sorprendente. Sin embargo, la existencia de estos fue conjeturada en [70] y algunas evidencias numéricas fueron presentadas¹. La idea detrás de esta conjetura es que en una teoría con un potencial no trivial para el campo escalar, sus parámetros pueden ser ajustados al que la constante cosmológica efectiva pueda cancelarse. El potencial considerado en [43], el cual se anula en el borde, recuerda a un potencial general que fue obtenido para una truncación de un campo escalar de una supergravedad ω -deformada [46, 49, 73] (vea, por ejemplo, [74] para una revisión) y, también, de una supergravedad de gauge $N = 2$, con un término electromagnético de Fayet-Iliopoulos [48, 75].

Obtendremos las cantidades termodinámicas usando un desarrollo relativamente reciente, el llamado método de contratérminos en espaciotiempos asintóticamente planos, el cual está motivado por trabajos similares [50–52, 76] en la dualidad AdS-CFT[77]. Interesantemente, vamos a probar que la autointeracción del campo escalar es la clave para obtener agujeros negros termodinámicamente estables.

Ya que los sistemas gravitacionales son intrínsecamente no lineales, las cantidades conservadas son una gran herramienta para investigar su comportamiento. Sin embargo, debido al principio de equivalencia, es claro que una definición local para la energía gravitacional no es posible. Sin embargo, en relatividad general, para espaciotiempos asintóticamente planos, las cantidades conservadas asociadas con simetrías asintóticas han sido definidas en el infinito espacial y nulo. Los primeros trabajos sobre la energía total asociada con una geometría asintótica fueron debidos a Arnowitt, Deser, y Misner (*ADM*) [35, 78–80], que condujeron a una construcción bien definida de energía y momento angular.

Los sistemas de extensión infinita son idealizaciones de situaciones físicas más realistas, y es deseable tener disponible un análisis similar en el caso de sistemas físicos de extensión finita. Esta es la noción de la energía cuasilocal², la que es actualmente la descripción de energía más prometedora en el contexto de la relatividad general y es también relevante para nuestro trabajo. Este formalismo, iniciado por Brown y York [32], puede ser caracterizado como sigue: la energía gravitacional es

¹Una clase diferente de agujeros negros en rotación con campo escalar fueron encontradas en [71, 72]. Para un revisión, vea, por ejemplo, [13].

asociada con una 2-superficie cerrada tipo-espacio. Una vez que esta superficie es llevada al borde, los resultados coinciden con lo obtenidos por el formalismo *ADM*.

Un problema previo aparece cuando se calcula la acción (y el tensor de estrés cuasilocal) en el infinito espacial es la existencia de divergencias infrarojas asociadas con el volumen infinito del espaciotiempo. El acercamiento inicial de tratar con este desafío fue usar la ‘substracción de fondo’ (*background subtraction*), cuya geometría asintótica calza con aquellas de la solución. Sin embargo, tal procedimiento casa que las cantidades físicas resultantes dependan de la elección del *background* de referencia. Además, no es posible poner la superficie en el borde en el *background* de referencia incluso para las más simples soluciones, por ejemplo, cuando los campos de materia están presentes, o para agujeros negros en rotación. Inesperadamente, el rescate vino por una ruta completamente diferente, por la dualidad AdS-CFT en teoría de cuerdas. La observación de que las divergencias infrarojas de la (super)gravedad en el espaciotiempo son equivalentes con las divergencias ultravioletas de la teoría de campos dual estaba en las bases del método de contratérminos en AdS. El procedimiento consiste en agregar términos de borde apropiados (tal que las ecuaciones de movimiento no se vean afectadas), los ‘contratérminos’, para regularizar la acción. La dualidad impone la restricción de que estos contratérminos sean construidos solo con términos de curvatura invariantes de la métrica en el borde, y no con cantidades extrínsecas al borde, como en el caso del término de Gibbons-Hawking. Se observó que, incluso en el espaciotiempo plano, uno puede obtener un tensor de estrés cuasilocal regularizado [40] y el método fue exitosamente aplicado para estudiar la termodinámica de agujeros negros en rotación y anillos negros (particularmente, para obtener la primera ley correcta incluyendo la carga dipolar de [81]). Esto fue una pista importante de que, en efecto, el método de contratérminos es también adecuado para espaciotiempos planos y, no mucho después, un método general covariante fue propuesto en [37]. Subsecuentemente, este método fue usado para muchos ejemplos concretos, por ejemplo, [27, 82–86], y, también, como se detalló en el capítulo 2, para probar que las cargas escalares, contrario a lo que era considerado previamente, no pueden aparecer en la primera ley de la termodinámica.

Este capítulo está organizado de la siguiente manera. En la sección 5.1, presentamos la solución exacta, correspondiente a los agujeros negros cargados, con campo escalar interactuante, en un espaciotiempo asintóticamente plano de [43] y algunas de sus propiedades geométricas relevantes para el análisis de la estabilidad termodinámica. En la sección 5.1.3, aplicamos el formalismo cuasilocal y el método de contratérminos para las soluciones presentada antes. Calculamos las cantidades termodinámicas para el agujero negro de Reissner-Nordström y, luego, para la solución de interés.

En la sección 5.2, brevemente repasamos las condiciones de estabilidad termodinámica tanto en el ensamble canónico como gran canónico, y estudiamos el agujero negro de Reissner-Nordström, mostrando explícitamente que es termodinámicamente inestable. Entonces, procedemos en la sección 5.3 a realizar el análisis para la solución con campo escalar presentada en 5.1. Mostramos que, debido al carácter autointeractuante del campo escalar, estos agujeros negros son termodinámicamente estables en cierto rango de parámetros. Finalizaremos con una discusión detallada de los resultados.

5.1. Soluciones exactas con campo escalar

Consideramos la acción Einstein-Maxwell-dilatón[43]

$$I[g_{\mu\nu}, A_\mu, \phi] = \frac{1}{2\kappa} \int_{\mathcal{M}} d^4x \sqrt{-g} \left[R - e^{\gamma\phi} F^2 - \frac{1}{2}(\partial\phi)^2 - V(\phi) \right] \quad (5.1)$$

donde $F^2 = F_{\mu\nu}F^{\mu\nu}$, $(\partial\phi)^2 = \partial_\mu\phi\partial^\mu\phi$, $V(\phi)$ es el potencial dilatónico y, con nuestras convenciones, $c = G_N = 4\pi\epsilon_0 = 1$ tal que $\kappa = 8\pi$. Las ecuaciones de movimiento son

$$R_{\mu\nu} - \frac{1}{2}g_{\mu\nu}R = T_{\mu\nu}^\phi + T_{\mu\nu}^{EM} \quad (5.2)$$

$$\partial_\mu (\sqrt{-g}e^{\gamma\phi}F^{\mu\nu}) = 0 \quad (5.3)$$

$$\frac{1}{\sqrt{-g}}\partial_\mu (\sqrt{-g}g^{\mu\nu}\partial_\nu\phi) = \frac{dV(\phi)}{d\phi} + \gamma e^{\gamma\phi}F^2 \quad (5.4)$$

donde $T_{\mu\nu}^\phi \equiv \frac{1}{2}\partial_\mu\phi\partial_\nu\phi - \frac{1}{2}g_{\mu\nu}[\frac{1}{2}(\partial\phi)^2 + V(\phi)]$ y $T_{\mu\nu}^{EM} \equiv 2e^{\gamma\phi}(F_{\mu\alpha}F_\nu^\alpha - \frac{1}{4}g_{\mu\nu}F^2)$ son los tensores de energía-momento para el dilatón y para el campo eléctrico (gauge). El acoplamiento no trivial entre el dilatón y el campo de gauge da lugar a una nueva contribución en el lado derecho de la ecuación de movimiento para el dilatón, y es la razón de porqué se trata de un 'pelo secundario'; no hay una constante de integración independiente asociada al campo escalar.

En una serie de trabajos [42, 44, 45, 62, 87], usando ansatz's específicos [87], se desarrolló un nuevo procedimiento para obtener soluciones exactas regulares para un potencial para el campo escalar general.²

²Las propiedades de estos agujeros negros con pelo fueron cuidadosamente estudiadas en trabajos relacionados [29, 55, 88].

5.1.1. $\gamma = 1$

En esta sección, nos interesamos por la teoría $\gamma = 1$. Las ecuaciones de movimiento son resueltas para el siguiente potencial

$$V(\phi) = 2\alpha(2\phi + \phi \cosh \phi - 3 \sinh \phi) \quad (5.5)$$

donde α es un parámetro arbitrario de la teoría. El comportamiento de este potencial se muestra en la Fig. 5.1, y notamos que se anula para $\phi = 0$.

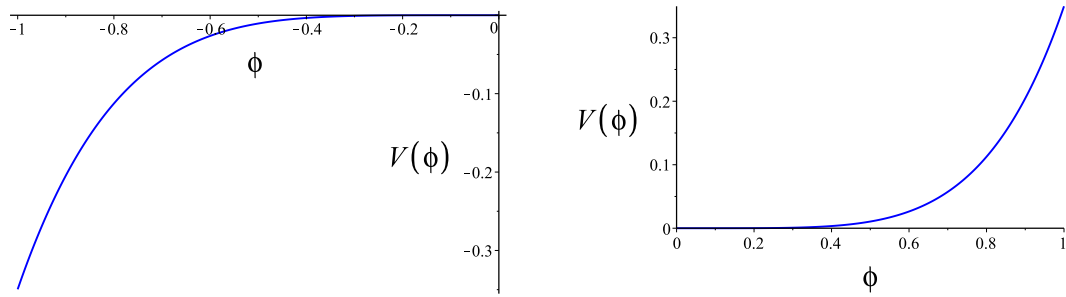


Figura 5.1: El potencial del campo escalar para la rama negativa (a la izquierda) y para la rama positiva (a la derecha), para $\alpha = 10$.

La solución está dada por

$$ds^2 = \Omega(x) \left[-f(x)dt^2 + \frac{\eta^2 dx^2}{x^2 f(x)} + d\theta^2 + \sin^2 \theta d\varphi^2 \right] \quad (5.6)$$

$$A = \left(\frac{q}{x} + C \right) dt \quad (5.7)$$

$$\phi = \ln(x) \quad (5.8)$$

donde η y q son los parámetros independientes de la solución y van a estar relacionados con la masa y la carga eléctrica del agujero negro. Note que la coordenada x está restringida al intervalo $x \in [0, \infty)$, puesto que el dilatón es un campo escalar real. Se puede asumir, sin perder generalidad, que $\eta > 0$. El factor conforme $\Omega(x)$ y

la función métrica restante $f(x)$ son

$$\Omega(x) = \frac{x}{\eta^2 (x-1)^2} \quad (5.9)$$

$$f(x) = \alpha \left[\frac{x^2 - 1}{2x} - \ln(x) \right] + \frac{\eta^2 (x-1)^2}{x} \left[1 - \frac{2q^2 (x-1)}{x} \right] \quad (5.10)$$

respectivamente. La localización del horizonte de eventos del agujero negro x_+ está dada por $f(x_+) = 0$, y la constante aditiva $C = -qx_+^{-1}$ tal que el potencial de gauge se anule al horizonte, $A = 0$.

La solución, como revisaremos ahora, contiene dos ramas distintas, correspondientes a dos espaciotiempos desconectados. Para ver esto, observe que el factor conforme diverge en el límite $x = 1$, que es la región asintótica del espaciotiempo en donde tanto el dilatón como su potencial se anulan. En este límite, podemos relacionar x con la coordenada canónica r por medio del cambio de coordenadas

$$\Omega(x) = r^2 + \mathcal{O}(r^{-2}) \quad (5.11)$$

Es sencillo mostrar que existen dos posibilidades,

$$x = 1 - \frac{1}{\eta r} + \frac{1}{2\eta^2 r^2} - \frac{1}{8\eta^3 r^3} + \mathcal{O}(r^{-5}) \quad (5.12)$$

$$x = 1 + \frac{1}{\eta r} + \frac{1}{2\eta^2 r^2} + \frac{1}{8\eta^3 r^3} + \mathcal{O}(r^{-5}) \quad (5.13)$$

Por lo tanto, el borde $x = 1$ puede ser alcanzado tanto por la ‘izquierda’ como por la ‘derecha’, lo que, en efecto, divide la solución en dos ramas. Mientras que el cambio de coordenadas (5.12) fija el dominio a $0 < x < 1$, (5.13) lo fija a $1 < x < \infty$. Puesto que el primer caso implica que el campo escalar adquiere valores negativos, se denomina la rama negativa. El segundo caso, siguiendo el mismo razonamiento, se llama la rama positiva. Advierta que tanto en el límite $x = 0$ como en $x = \infty$, el campo escalar diverge. Uno puede chequear que ambos corresponden a singularidades del espaciotiempo.

Estudiaremos la termodinámica de ambas ramas de manera independiente. Si bien ambas ramas pueden contener agujeros negros, es importante estudiar bajo qué

condiciones existen. Considere la ecuación del horizonte $f(x_+) = 0$ escrita como sigue

$$\alpha [1 - x_+^2 + 2x_+ \ln(x_+)] = 2\eta^2 (x_+ - 1)^2 [x_+ - 2q^2(x_+ - 1)] \quad (5.14)$$

Para la rama negativa, $0 < x_+ < 1$, el lado derecho de (5.14) es claramente positivo, mientras que la combinación $1 - x_+^2 + 2x_+ \ln(x_+)$ que multiplica α en el lado izquierdo es una función definida positiva. Por lo tanto, para la rama negativa, sólo las teorías con $\alpha > 0$ soportan agujeros negros (valores negativos de α dejarían singularidades desnudas). Para la rama positiva, sin embargo, no tenemos esta restricción sobre α .

5.1.2. $\gamma = \sqrt{3}$

Las ecuaciones de movimiento para esta constante de acoplamiento son resueltas por el potencial

$$V(\phi) = \alpha \left[\sinh(\sqrt{3}\phi) + 9 \sinh\left(\frac{\phi}{\sqrt{3}}\right) - 4\sqrt{3} \phi \cosh\left(\frac{\phi}{\sqrt{3}}\right) \right] \quad (5.15)$$

cuyo comportamiento se muestra en la Fig. 5.2. Se observa que tiene un comportamiento similar con el caso mostrado previamente, $\gamma = 1$.

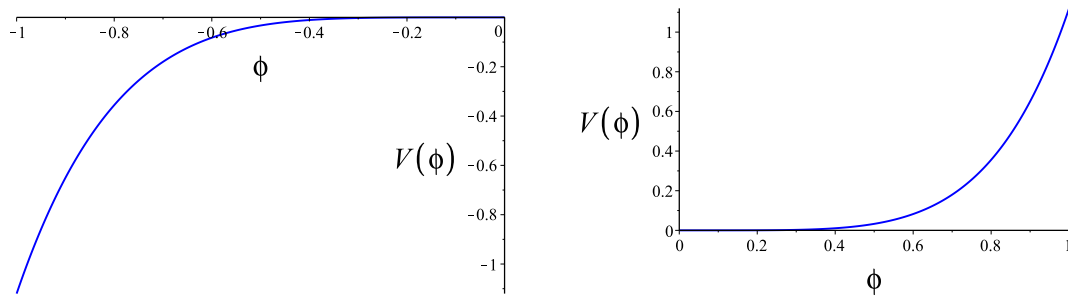


Figura 5.2: Potencial del campo escalar para la rama negativa (izquierda), y la rama positiva (derecha), para $\alpha = 10$.

La solución exacta es

$$ds^2 = \Omega(x) \left[-f(x)dt^2 + \frac{\eta^2 dx^2}{f(x)} + d\theta^2 + \sin^2 \theta d\varphi^2 \right] \quad (5.16)$$

$$A = \left(\frac{q}{2x^2} + C \right) dt \quad (5.17)$$

$$\phi = \sqrt{3} \ln(x) \quad (5.18)$$

donde las funciones métricas son

$$f(x) = \alpha \left[\frac{x^4}{2} - 2x^2 + \frac{3}{2} + 2 \ln(x) \right] + \frac{\eta^2(x^2 - 1)^2}{4} \left[1 - \frac{q^2(x^2 - 1)}{x^2} \right] \quad (5.19)$$

$$\Omega(x) = \frac{4x}{\eta^2(x^2 - 1)^2} \quad (5.20)$$

La constante aditiva es $C = -q(2x_+)^{-1}$. Al igual que antes, también existen dos ramas para esta teoría, donde los cambios de coordenadas son

$$x = 1 - \frac{1}{\eta r} + \frac{1}{8\eta^3 r^3} + \frac{1}{8\eta^4 r^4} + \mathcal{O}(r^{-5}) \quad (5.21)$$

$$x = 1 + \frac{1}{\eta r} - \frac{1}{8\eta^3 r^3} + \frac{1}{8\eta^4 r^4} + \mathcal{O}(r^{-5}) \quad (5.22)$$

Finalmente, la ecuación del horizonte $f(x_+) = 0$, escrita como,

$$\alpha \left[-\frac{(1 - x_+^2)(3 - x_+^2)}{2} - 2 \ln(x_+) \right] = \frac{\eta^2}{4x_+^2} [x_+^2 - (x_+^2 - 1)q^2] (x_+^2 - 1)^2 \quad (5.23)$$

revela las mismas restricciones para α que en el caso $\gamma = 1$, esto es, que la existencia de agujeros negros regulares dentro de la rama negativa es posible siempre que $\alpha > 0$, mientras que no hay restricciones para la rama positiva.

5.1.3. Método de contratérminos y cantidades conservadas

En esta sección, usamos el método de los contratérminos para obtener las cantidades termodinámicas para los agujeros negros con pelo en las teorías $\gamma = 1$ y $\gamma = \sqrt{3}$ descritas arriba. En el apéndice B mostramos detalles sobre este formalismo aplicado al agujero negro de Reissner-Nordström.

Permítanos comenzar con la teoría $\gamma = 1$. En primer lugar, la carga eléctrica es

$$Q = \frac{1}{4\pi} \oint_{s_\infty^2} e^\phi \star F = \frac{1}{4\pi} \oint_{s_\infty^2} e^\phi \left(\frac{1}{4} \sqrt{-g} \epsilon_{\mu\nu\alpha\beta} F^{\mu\nu} dx^\alpha \wedge dx^\beta \right) = \frac{q}{\eta} \quad (5.24)$$

La temperatura de Hawking puede ser calculada empleando los resultados de la subsección (2.3). Del mismo modo, entropía y potencial conjugado son obtenidos de la manera tradicional,

$$\begin{aligned} T &= \frac{x_+}{4\pi\eta} f'(x_+) = \frac{(x_+ - 1)^2}{8\pi\eta x_+} \left[\alpha - \frac{4\eta^2 q^2 (x_+ + 2)}{x_+} + 2\eta^2 \left(\frac{x_+ + 1}{x_+ - 1} \right) \right], \\ S &= \pi \Omega(x_+) = \frac{\pi x_+}{\eta^2 (x_+ - 1)^2}, \quad \Phi = -\frac{Q\eta(x_+ - 1)}{x_+} \end{aligned} \quad (5.25)$$

Para calcular el tensor de estrés cuasilocal y la acción en la sección Euclidiana, debemos considerar la foliación $x = \text{constant}$ con la métrica inducida

$$ds_{\partial\mathcal{M}}^2 = h_{ab} dx^a dx^b = \Omega(x) [-f(x) dt^2 + d\theta^2 + \sin^2 \theta d\varphi^2] \quad (5.26)$$

Las componentes del tensor de estrés (3.25), con $\phi_\infty = 0$, son

$$\tau_{tt} = \frac{12\eta^2 q^2 - \alpha}{6\eta\kappa} (x - 1)^2 + \mathcal{O}[(x - 1)^3] \quad (5.27)$$

$$\tau_{\theta\theta} = \frac{\tau_{\varphi\varphi}}{\sin^2 \theta} = \frac{(\alpha - 12\eta^2 q^2)^2 - 36\eta^4 (4q^2 - 1)}{288\kappa\eta^5} (x - 1) + \mathcal{O}[(x - 1)^2] \quad (5.28)$$

Para calcular la energía cuasilocal, usamos la ecuación (3.27) y el vector de Killing $\xi = \partial/\partial t$ (el procedimiento está detallado para RN en apéndice B). Para verificar que este es el vector de Killing correcto (apropiadamente normalizado), expandimos

asintóticamente la métrica, alrededor de $x = 1$,

$$\begin{aligned} ds^2 &= g_{tt}dt^2 + g_{xx}dx^2 + g_{\theta\theta} (d\theta^2 + \sin^2 \theta d\varphi^2) \\ &= [-1 + \mathcal{O}(x-1)] dt^2 + \left[\frac{1}{\eta^2(x-1)^4} + \mathcal{O}[(x-1)^{-3}] \right] dx^2 + \frac{x (d\theta^2 + \sin^2 \theta d\varphi^2)}{\eta^2(x-1)^2} \end{aligned} \quad (5.29)$$

Ahora, cambiando a coordenadas canónicas r , mediante la transformación

$$\frac{dx^2}{\eta^2(x-1)^4} = dr^2 \quad \rightarrow \quad x = 1 \pm \frac{1}{\eta r} \quad (5.30)$$

en el borde, es sencillo ver en que el límite $r \rightarrow \infty$, se obtiene la métrica de Minkowski en coordenadas esféricas $ds^2 = -dt^2 + dr^2 + r^2 (d\theta^2 + \sin^2 \theta d\varphi^2)$, con el tiempo coordinado propiamente normalizada. Calculando la energía total en el límite $x = 1$, se obtiene

$$E = \frac{\alpha - 12\eta^2 q^2}{12\eta^3} \quad (5.31)$$

Este resultado coincide con la masa ADM , que puede ser leída de la expansión de la componente g_{tt} de la métrica en las coordenadas canónicas, con r dado por la ecuación (5.11),

$$g_{tt} = -1 + \frac{\alpha - 12\eta^2 q^2}{6\eta^3 r} + \mathcal{O}(r^{-2}) \quad (5.32)$$

Usando las cantidades termodinámicas (5.24), (5.25), junto con la masa cuasilocal (5.31) y la ecuación del horizonte $f(x_+) = 0$, se puede verificar que la primera ley es satisfecha,

$$dM = TdS + \Phi dQ \quad (5.33)$$

El último paso en este análisis es verificar la relación estadístico-cuántica. Para ello, necesitamos calcular la acción en la sección Euclidiana,

$$I_{bulk}^E + I_{GH}^E = \beta(-TS - \Phi Q) + \frac{8\pi\beta}{\kappa} \left[\frac{1}{\eta(x-1)} + \frac{\alpha - 12\eta^2 q^2 + 3\eta^2}{6\eta^3} + \mathcal{O}(x-1) \right]$$

La divergencia $\propto (x - 1)^{-1}$ es cancelada por el contratérmino gravitacional,

$$I_{ct}^E = \frac{8\pi\beta}{\kappa} \lim_{x=1} \Omega \sqrt{f} = \frac{8\pi\beta}{\kappa} \left[-\frac{1}{\eta(x-1)} - \frac{\alpha - 12\eta^2 q^2 + 6\eta^2}{12\eta^3} + \mathcal{O}(x-1) \right] \quad (5.34)$$

y también contribuye con una parte finita, al igual que para el agujero negro de Reissner-Nordström en la ecuación (B.23). Agregando los resultados, en el límite $x = 1$, obtenemos el siguiente resultado para la acción en la sección Euclidiana

$$I^E = \beta(-TS - \Phi Q) + \beta \left(\frac{\alpha - 12\eta^2 q^2}{12\eta^3} \right) = \beta(M - TS - \Phi Q) \quad (5.35)$$

Por lo tanto, la acción finita on-shell en la sección Euclidiana satisface la relación estadístico-cuántica $I^E = \beta\mathcal{G}$ para el ensamble gran canónico. Ahora, para obtener el potencial termodinámico en el ensamble canónico, debemos considerar el término de borde I_A compatible con el requerimiento de que la carga sea fija, $Q = \text{constant}$, dado por

$$I_A = \frac{2}{\kappa} \int_{\partial\mathcal{M}} d^3x \sqrt{-h} e^\phi n_\nu F^{\mu\nu} A_\nu \quad (5.36)$$

En la sección Euclidiana, tenemos,

$$I_A^E = \beta \Phi Q \quad (5.37)$$

y, por lo tanto, la acción on-shell para el ensamble canónico es $\bar{I}^E = \beta\mathcal{F}$, donde $\bar{I}^E = I^E + I_A^E$ y $\mathcal{F} \equiv M - TS$ es el potencial termodinámico correspondiente.

Por completitud, permitamos ahora realizar el mismo análisis para la teoría $\sqrt{3}$. Sin embargo, puesto que el procedimiento es exactamente como antes, presentaremos los resultados relevantes.

La carga eléctrica es

$$Q = \frac{1}{4\pi} \oint_{s_\infty^2} \star e^{\sqrt{3}\phi} F = \frac{q}{\eta} \quad (5.38)$$

y las demás cantidades termodinámicas son

$$T = \frac{f'(x_+)}{4\pi\eta} = \frac{(x_+^2 - 1)^2}{2\pi\eta x_+} \left[\alpha - \frac{\eta^2 q^2 (2x_+^2 + 1)}{4x_+^2} + \frac{\eta^2 x_+^2}{2(x_+^2 - 1)} \right] \quad (5.39)$$

$$S = \frac{4\pi x_h}{\eta^2(x_h^2 - 1)^2}, \quad \Phi = -\frac{Q\eta(x_+^2 - 1)}{2x_+^2} \quad (5.40)$$

La energía cuasilocal en este caso es

$$E = \frac{8\alpha + 3(1 - 2q^2)\eta^2}{6\eta^3} \quad (5.41)$$

y se satisface la primera ley $dM = TdS + \Phi dQ$.

La acción regularizada en la sección Euclidiana, en el límite $x = 1$, es

$$I^E = I_{bulk}^E + I_{GH}^E + I_{ct}^E = \beta(M - TS - \Phi Q) \quad (5.42)$$

y se verifica $I^E = \beta\mathcal{G} = \beta(M - TS - \Phi Q)$ para el ensamble gran canónico. El cálculo de I_A^E permite obtener la acción en el ensamble canónico, $\bar{I}^E = \beta\mathcal{F} = \beta(M - TS)$

5.2. Estabilidad termodinámica

En la sección previa, hemos dado una descripción termodinámica de agujeros negros con pelo. La idea clave de nuestro análisis fue considerar condiciones de borde para construir los ensambles apropiados. Sin embargo, la termodinámica de agujeros negros sólo tiene sentido si los agujeros negros pueden estar en equilibrio localmente estable en el ensamble correspondiente.

La estabilidad térmica en un ensamble con un agujero negro debe aplicarse para el sistema completo, puesto que tal sistema claramente no puede ser subdividido en partes espacialmente separadas como se hace usualmente cuando se trata la estabilidad termodinámica. Las funciones respuesta relevantes para la estabilidad térmica de un tipo de ensamble dado, por lo tanto, son aquellas que pueden ser obtenidas mediante la variación de parámetros termodinámicos que no están fijos por las condiciones de borde que definen el ensamble en cuestión. En la descripción del ensamble canónico para un agujero negro neutro asintóticamente plano, la capacidad calórica puede hacerse positiva si el agujero negro es puesto dentro de una caja. Las condiciones de borde deben ser especificadas, es decir, en el caso del agujero negro de Schwarzschild uno puede fijar la temperatura de la caja y su radio. Se sigue entonces que la estabilidad puede ser lograda sólo para cavidades suficientemente pequeñas, conduciendo a un ensamble canónico bien definido.

Después de una revisión sobre las condiciones para la estabilidad termodinámica, aplicaremos este análisis para las soluciones de interés.

5.2.1. Condiciones para la estabilidad termodinámica

Para analizar la estabilidad termodinámica de las soluciones presentadas hasta ahora, es importante distinguir entre estabilidad local y global. La primera está relacionada con cómo las configuraciones de equilibrio responden bajo pequeñas fluctuaciones en las variables termodinámicas, mientras la última está relacionada con el máximo global en la entropía (o mínimo global en la energía). Describiremos la estabilidad local, aunque para más detalles puede consultarse [90] (o también [91]).

Estamos interesados en agujeros negros cargados (con o sin pelo) estáticos, con las cargas conservadas M y Q , para los cuales la primera ley de la termodinámica pueda ser escrita como

$$dM = TdS + \Phi dQ \quad \rightarrow \quad T = \left(\frac{\partial M}{\partial S} \right)_Q, \quad \Phi = \left(\frac{\partial M}{\partial Q} \right)_S \quad (5.43)$$

Todos los procesos irreversibles en sistemas aislado que conducen al equilibrio están gobernados por un incremento en la entropía, y el equilibrio será restablecido sólo cuando la entropía asuma su máximo valor. Esta es la segunda ley de la termodinámica, $dS \geq 0$. Ya que primero trabajaremos en el ensamble gran canónico, es más conveniente usar el potencial termodinámico correspondiente para estudiar la estabilidad local y no la condición de máxima entropía.

En el ensamble gran canónico, para el cual el potencial electrostático Φ es constante, tenemos que, al equilibrio, el potencial termodinámico \mathcal{G} satisface

$$\mathcal{G}_e(T_e, \Phi_e) = M - T_e S - \Phi_e Q, \quad d\mathcal{G}_e = -(SdT + Qd\Phi)_e = 0 \quad (5.44)$$

donde el subíndice e indica el valor al equilibrio termodinámico. Considere ahora una pequeña desviación, para las que las condiciones para el equilibrio local son

$$\left(\frac{\partial^2 M}{\partial Q^2} \right)_S \left(\frac{\partial^2 M}{\partial S^2} \right)_Q - \left[\left(\frac{\partial}{\partial S} \right)_Q \left(\frac{\partial M}{\partial Q} \right)_S \right]^2 = \frac{T}{C_Q} \left(\frac{1}{\epsilon_S} - \frac{T\alpha_Q^2}{C_Q} \right) > 0 \quad (5.45)$$

$$\left(\frac{\partial^2 M}{\partial S^2} \right)_Q = \frac{T}{C_Q} > 0 \quad (5.46)$$

$$\left(\frac{\partial^2 M}{\partial Q^2}\right)_S = \frac{1}{\epsilon_S} > 0 \quad (5.47)$$

Las expresiones arriba fueron escritas también en términos de las cantidades termodinámicas usuales como la capacidad calórica (C_Q), la permitividad eléctrica (ϵ_S) y $\alpha_Q \equiv (\partial\Phi/\partial T)_Q$ (vea, por ejemplo, [92]).

Ahora, queremos obtener unas relaciones similares para las fluctuaciones en el ensamble gran canónico y canónico, usando segundas derivadas de los potenciales termodinámicos correspondientes. Para ello, usaremos las siguientes relaciones entre las cantidades termodinámicas de interés,

$$C_\Phi = C_Q + T\epsilon_T\alpha_Q^2, \quad \epsilon_S = \epsilon_T - \frac{T\alpha_\Phi^2}{C_\Phi}, \quad \alpha_\Phi = -\epsilon_T\alpha_Q \quad (5.48)$$

Es sencillo ahora reescribir las condiciones para la estabilidad local en una forma compacta

$$\epsilon_S > 0, \quad C_\Phi > 0 \quad \text{ensamble gran canónico} \quad (5.49)$$

$$\epsilon_T > 0, \quad C_Q > 0 \quad \text{ensamble canónico} \quad (5.50)$$

Estas relaciones son consistentes con el criterio de estabilidad general que establece que los potenciales termodinámicos son funciones convexas de sus variables extensivas, y funciones cóncavas de sus variables intensivas (vea, por ejemplo, [91]).

5.2.2. El agujero negro de Reissner-Nordström

Si un agujero negro está en equilibrio termodinámico a una temperatura T , entonces debe estar rodeado por un baño térmico a la misma temperatura. El agujero negro de Schwarzschild, la solución estática y esféricamente simétrico más simple de las ecuaciones de Einstein, es termodinámicamente estable. Esto se puede obtener simplemente observando que la temperatura es inversamente proporcional con respecto a la masa del agujero negro,

$$T = \frac{\hbar c^3}{k_B G} \frac{1}{8\pi M}, \quad S = \frac{k_B c^3}{4\hbar G} A_h = \frac{4\pi k_B G}{\hbar c} M^2 \quad \rightarrow \quad C = T \left(\frac{\partial S}{\partial T} \right) = -\frac{8\pi k_B G}{\hbar c} M^2 \quad (5.51)$$

Ya que la capacidad calórica es negativa, el agujero negro se calienta mientras emite radiación y pierde energía. La consecuencia inmediata es que el ensamble canónico no está bien definido. Una forma de arreglar esta inestabilidad, fue propuesta por York en [93], en la cual considera al agujero negro en una caja de radio r_B . El principio de equivalencia requiere que la temperatura medida localmente por un observador estático está “corrida al azul” con respecto a la temperatura usual que es determinada en, asintóticamente plano, infinito espacial:

$$T(r_B) = T_\infty |g_{tt}(r_B)|^{-1/2} = \frac{\hbar}{8\pi G M} \left(1 - \frac{2GM}{r_B} \right)^{-1/2} \quad (5.52)$$

donde, como en [93], hemos usado las convenciones en las cuales $c = k_B = 1$. La capacidad calórica a un valor fijo de r_B puede ahora ser calculada usando la temperatura (5.52) y el resultado es

$$C = T \left(\frac{\partial S}{\partial T} \right) = \frac{8\pi G M^2}{\hbar} \left(1 - \frac{2GM}{r_B} \right) \left(\frac{3GM}{r_B} - 1 \right)^{-1} \quad (5.53)$$

Es claro ahora que, cuando $2M \leq r_B < 3M$, la capacidad calórica es positiva y entonces el ensamble canónico es bien definido.

Una pregunta natural es, ¿es posible obtener una capacidad calórica positiva cuando se agrega un campo eléctrico (carga eléctrica) sin poner al sistema en una caja? Si bien la respuesta es positiva, la carga eléctrica introduce otra función relevante, la permitividad eléctrica, que, como mostraremos para el agujero

negro de Reissner-Nordström, no es simultáneamente positiva junto con la capacidad calórica y, en consecuencia, no permite una estabilidad termodinámica.

La métrica y el potencial de gauge que resuelven las ecuaciones de movimiento son las dadas en (B.8) y (B.9), y las cantidades termodinámicas están dadas en (B.11). La existencia de agujeros negros está condicionada por la desigualdad $Q \leq M$, de otra forma la solución describe una singularidad desnuda. En el caso extremo, $M = Q$, la temperatura se anula y el radio del horizonte se vuelve $r_+ = M = Q$. Esto va a imponer una restricción sobre los valores del potencial electrostático, $\Phi = Q/r_+ \leq 1$.

La permitividad eléctrica es una medida de las fluctuaciones eléctricas. Los agujeros negros serán eléctricamente inestables bajo fluctuaciones eléctricas si la permitividad eléctrica es negativa. Esto ocurre si el potencial electrostático de sistema decrece como resultado de situar más cargas sobre el agujero negro. Este potencial, en configuraciones de equilibrio, debería por supuesto aumentar, en un intento por hacer más difícil poner más carga sobre el agujero negro.

La ecuación de estado da información importante sobre la estabilidad frente a fluctuaciones tanto en la carga eléctrica Q o en su potencial conjugado Φ , a una temperatura fija. Combinando la primera ley y la última ecuación en (B.11) para eliminar r_+ , obtenemos la ecuación de estado para el agujero negro de RN,

$$4\pi TQ + \Phi (\Phi^2 - 1) = 0 \tag{5.54}$$

de donde la permitividad eléctrica a temperatura fija, ϵ_T , puede ser leída. También, combinando las primeras dos ecuaciones en (B.11), se obtiene $\pi Q^2 - S\Phi^2 = 0$, desde donde se puede leer la permitividad eléctrica a entropía fija, ϵ_S . Las ecuaciones Q vs Φ a temperatura y entropía fijas están graficadas en la Fig. 5.3. Es sencillo mostrar que sólo agujeros negros con $\Phi < 1/\sqrt{3}$ son eléctricamente estables, puesto que diferenciando la ecuación (5.54) con respecto a Φ a temperatura fija, se obtiene

$$\epsilon_T = \left(\frac{\partial Q}{\partial \Phi} \right)_T = \frac{1 - 3\Phi^2}{4\pi T} \tag{5.55}$$

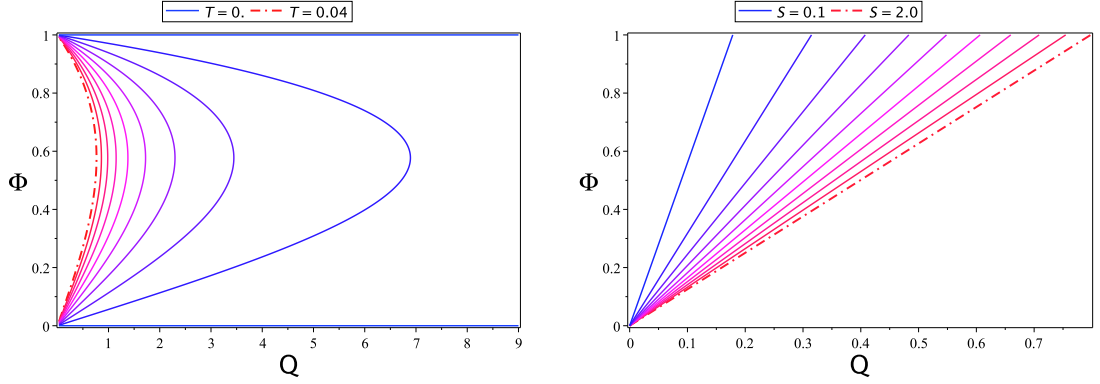


Figura 5.3: A la izquierda: Ecuación de estado para el agujero negro de RN. La línea horizontal (azul) ubicada en $\Phi = 1$ representa el agujero negro extremo. A la derecha: Φ vs Q a entropía fija. Se ha tomado $\alpha = 10$.

Ahora, presentaremos la estabilidad bajo fluctuaciones mixtas, de acuerdo con la discusión en la sección previa. En el ensemble gran canónico, la estabilidad termodinámica está garantizada por la positividad simultánea de las funciones respuestas C_Φ y ϵ_S . Tenemos,

$$\epsilon_S = \frac{1 - \Phi^2}{4\pi T} > 0 \quad (5.56)$$

ya que $\Phi \leq 1$. Por otra parte, tenemos

$$\mathcal{G}(r_+, \Phi) = \frac{(1 - \Phi^2) r_+}{4}, \quad T(r_+, \Phi) = \frac{1 - \Phi^2}{4\pi r_+} \quad \rightarrow \quad \mathcal{G}(T, \Phi) = \frac{(1 - \Phi^2)^2}{16\pi T} \quad (5.57)$$

y entonces la capacidad calórica es

$$C_\Phi = -\frac{1}{8\pi} \left(\frac{1 - \Phi^2}{T} \right)^2 < 0 \quad (5.58)$$

En otras palabras, $\mathcal{G}(T, \Phi)$ no cambia su concavidad con respecto a la temperatura, a Φ fijo. Este resultado implica que no hay configuraciones termodinámicamente estables en este ensemble.

En el ensemble canónico, debemos investigar si C_Q y ϵ_T pueden ser simultáneamente positivas. La permitividad eléctrica a temperatura fija puede ser expresada

como

$$\epsilon_T = \frac{(r_+^2 - 3Q^2) r_+}{r_+^2 - Q^2} \quad (5.59)$$

Note que, puesto que $r_+^2 - Q^2$ es una cantidad positiva, la región donde $\epsilon_T > 0$ corresponde a aquellas configuraciones que satisfacen $r_+^2 - 3Q^2 > 0$ (esto es equivalente a $\Phi < 1/\sqrt{3}$). En otras palabras, el potencial termodinámico y la temperatura pueden expresarse como

$$\mathcal{F}(r_+, Q) = \frac{r_+^2 + 3Q^2}{4r_+}, \quad T(r_+, Q) = \frac{r_+^2 - Q^2}{4\pi r_+^3} \quad (5.60)$$

y, por lo tanto, la capacidad calórica,

$$C_Q = -\frac{2\pi r_+^2 (r_+^2 - Q^2)}{r_+^2 - 3Q^2} \quad (5.61)$$

tiene valores positivos solamente si $r_+^2 - 3Q^2 < 0$, pero entonces, C_Q y ϵ_T no son ambas positivas a la vez, para un mismo valores en las cantidades termodinámicas. Esto confirma que no hay configuraciones termodinámicamente estables en el ensamble canónico.

5.3. Agujeros negros con pelo

En esta sección, obtendremos el principal resultado de este capítulo, que los agujeros negros cargados con pelo escalar asintóticamente planos en teorías con una interacción no trivial para el campo escalar pueden ser termodinámicamente estables, y entonces ponerlos en una caja no es necesario. Quisiéramos comentar que en ausencia de la auto-interacción, también existen soluciones regulares asintóticamente planas de agujeros negros, pero no son termodinámicamente estables. El caso de interés es cuando el potencial dilatónico es no trivial, pero, por completitud, presentamos el análisis del caso sin potencial en el apéndice D. Por simplicidad, vamos a influir en esta sección sólo el caso $\gamma = 1$ para ambas ramas de la solución, y dejaremos para el mismo apéndice E, el estudio del caso $\gamma = \sqrt{3}$, para el cual las conclusiones sobre estabilidad son las mismas que para $\gamma = 1$. La principal observación es que la auto-interacción del campo escalar juega un rol similar al que juega la “caja” para agujeros negros sin pelo, como el caso discutido inicialmente en este capítulo, y, por lo tanto, es un ingrediente clave para la estabilidad termodinámica de agujeros negros asintóticamente planos.

5.3.1. La rama positiva

En esta subsección, investigamos la estabilidad termodinámica del agujero negro presentado en la sección previa 5.1, para la rama positiva, es decir, para valores positivos del campo escalar o, equivalentemente, $x \in (1, +\infty)$. La teoría considerada corresponde a $\gamma = 1$, y tomaremos el caso $\alpha > 0$.

Ensamble gran canónico

Como es claro mirando la ecuación (5.10), no es posible despejar x_+ de la ecuación del horizonte, $f(x_+) = 0$. Por lo tanto, deberemos trabajar con ecuaciones paramétricas. Para obtener la ecuación de estado, es necesario expresar tanto la carga eléctrica Q como su potencial conjugado Φ como funciones de (x_+, T) . Para concretar este

plan, primer despejamos la raíz negativa³ de q desde la ecuación del horizonte,

$$q = -\frac{\sqrt{x_+ (2\eta^2 x_+^2 - 2\alpha x_+ \ln x_+ + \alpha x_+^2 - 4\eta^2 x_+ + 2\eta^2 - \alpha)}}{2\eta (x_+ - 1)^{3/2}} \quad (5.62)$$

Luego, reemplazamos q en la expresión para la temperatura (5.25), para obtener

$$T(x_+, \eta) = \frac{(x_+ - 1)\eta}{4\pi x_+} - \frac{(2x_+^2 \ln x_+ + 4x_+ \ln x_+ - 5x_+^2 + 4x_+ + 1)\alpha}{8\pi x_+ (x_+ - 1)\eta} \quad (5.63)$$

de donde despejamos la raíz positiva de η ,

$$\eta(x_+, T) = \frac{4\pi T x_+ + w(x_+, T)}{2(1 - x_+)} \quad (5.64)$$

donde $w(x_+, T) = \sqrt{16\pi^2 T^2 x_+^2 + \alpha(4x_+^2 \ln x_+ + 8x_+ \ln x_+ - 10x_+^2 + 8x_+ + 2)}$. Finalmente, reemplazamos (5.64) de vuelta en (5.62) para obtener $q = q(x_+, T)$. Es sencillo ahora encontrar expresiones concretas para $Q = Q(x_+, T)$ y $\Phi = \Phi(x_+, T)$, usando (5.24) y (5.25). Obtenemos los siguientes resultados,

$$\Phi = \frac{\sqrt{(x_+ - 1) (32\pi^2 T^2 x_+^2 + 16\pi T x_+ w - 8\alpha x_+ \ln x_+ + 4\alpha x_+^2 + 2w^2 - 4\alpha)}}{2\sqrt{x_+} (4\pi x_+ T + w)} \quad (5.65)$$

$$Q = \frac{\sqrt{x_+ (x_+ - 1) (32\pi^2 T^2 x_+^2 + 16\pi T x_+ w - 8\alpha x_+ \ln x_+ + 4\alpha x_+^2 + 2w^2 - 4\alpha)}}{(4\pi x_+ T + w)^2} \quad (5.66)$$

Un procedimiento similar es usado para obtener expresiones para $\Phi(x_+, S)$ y $Q(x_+, S)$,

$$\Phi = \frac{\sqrt{(x_+ - 1) [\alpha S (x_+^2 - 1 - 2x_+ \ln x_+) + 2\pi x_+]}}{2x_+ \sqrt{\pi}} \quad (5.67)$$

$$Q = \frac{\sqrt{(x_+ - 1) [\alpha S (x_+^2 - 1 - 2x_+ \ln x_+) + 2\pi x_+] S}}{2\pi \sqrt{x_+}} \quad (5.68)$$

En las Figs. 5.4 y 5.5 se muestra Φ vs Q a temperatura y entropía fijas, para diferentes órdenes de magnitud de α . A partir de la representación gráfica, uno puede concluir que la permitividad eléctrico isoentrópica es positiva, $\epsilon_S > 0$. Sin embargo, este

³De esta manera, estamos trabajando con $Q > 0$ y $\Phi > 0$.

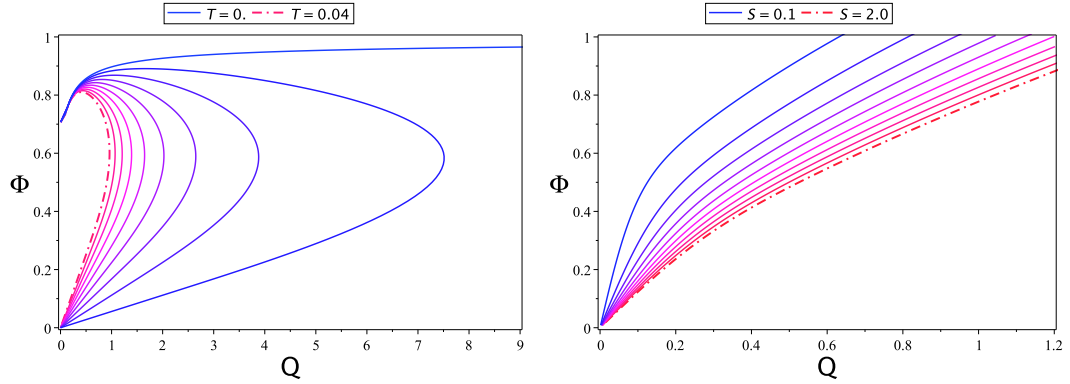


Figura 5.4: Izquierda: Isotermas Φ vs Q . Derecha: Φ vs Q a entropía fija, para $\alpha = 10$.

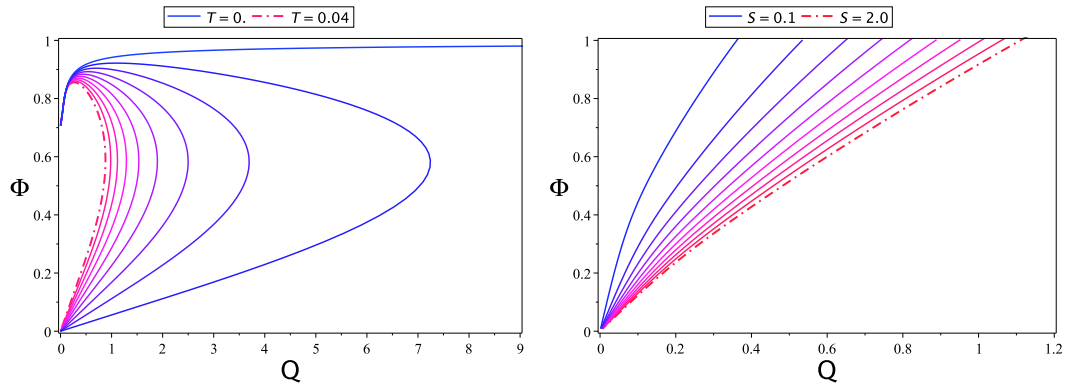


Figura 5.5: Isotermas y curvas isoentrópicas, Φ vs Q , para $\alpha = 100$.

resultado también puede ser obtenido analíticamente, puesto que

$$\epsilon_S = \frac{\alpha S (2x_+^3 - 2x_+^2 \ln x_+ - 3x_+^2 + 2x_+ - 1) + 2\pi x_+^2 \left(\frac{Sx_+}{\pi}\right)^{\frac{1}{2}}}{\alpha S (x_+^3 - 2x_+ \ln x_+ - 2x_+^2 + 3x_+ - 2) + 2\pi x_+} \quad (5.69)$$

donde, como puede mostrarse, tanto el numerador como el denominador son funciones definidas positivas en la rama positiva.

La posibilidad de esta función respuesta está directamente relacionada con la estabilidad en el ensamble gran canónico. Si algunas configuraciones con $\epsilon_S > 0$ estuvieran también caracterizadas por tener $C_\Phi > 0$, entonces, representarían agujeros negros termodinámicamente estables, de acuerdo con la discusión en la sección previa.

La ecuación de estado, mostrada en el lado izquierdo en las Figs. 5.4 y 5.5, revela la existencia de dos regiones separadas donde $\epsilon_T > 0$. También, note que los agujeros negros extremos son eléctricamente estables en este caso. Estas dos características no están presentes en el agujero negro de Reissner-Nordström. Otro aspecto interesante de la ecuación de estado es que todas las isotermas comienzan y terminan en los puntos $Q = 0, \Phi = 0$ (justo como el agujero negro de RN) y en $Q = 0, \Phi = 1/\sqrt{2} < 1$. Para entender porqué, observe que la carga física es $Q = -q/\eta$ (estamos considerando q negativo en nuestro análisis) y $Q = 0$ puede alcanzarse en los límites $q = 0$ y $\eta \rightarrow \infty^4$, último caso en el cual tenemos que, de la ecuación del horizonte,

$$\frac{\eta^2(x_+ - 1)^2}{x_+} \left[1 - \frac{2q^2(x_+ - 1)}{x_+} \right] = 0 \quad \longrightarrow \quad \frac{x_+}{x_+ - 1} = 2q^2 \quad (5.70)$$

de donde se sigue que, reemplazando en (5.25),

$$\Phi = -\frac{Q\eta(x_+ - 1)}{x_+} \implies \Phi = -\frac{1}{2q} \quad (5.71)$$

Por un lado, entonces, tenemos que en el límite $Q = 0$, el potencial conjugado adquiere dos valores distintos, $\Phi = 0$ y $\Phi = -1/2q$. Observe que, en el límite $\eta \rightarrow \infty$, $q = -1/\sqrt{2}$ cuando $x_+ \rightarrow \infty$ (vea la ecuación (5.71)). En este caso, $\Phi \rightarrow 1/\sqrt{2}$, como se puede observar en las Figs. 5.4, 5.5, y 5.6, donde se ha hecho un zoom,

Examinemos la otra funciones respuesta relevante, la capacidad calórica C_Φ , por medio del potencial termodinámica. Resolviendo $\eta = \eta(x_+, \Phi)$ de la ecuación del horizonte, encontramos

$$M = -\frac{\alpha}{12\eta^3} + \frac{x_+^2 \Phi^2}{\eta(x_+ - 1)^2}, \quad Q = \frac{x_+ \Phi}{\eta(x_+ - 1)}, \quad S = \frac{\pi x_+}{\eta^2(x_+ - 1)^2}, \quad (5.72)$$

$$T = \frac{(x_+ - 1)^2}{8\pi\eta x_+} \left[-\alpha + 4\Phi^2 \eta^2 x_+ \frac{x_+ + 2}{(x_+ - 1)^2} - 2\eta^2 \frac{x_+ + 1}{x_+ - 1} \right] \quad (5.73)$$

⁴Aunque es importante notar que esta rama no contiene agujeros negros cuando $Q = 0$, puesto que en el límite $Q \rightarrow 0, x_+ \rightarrow 1$.

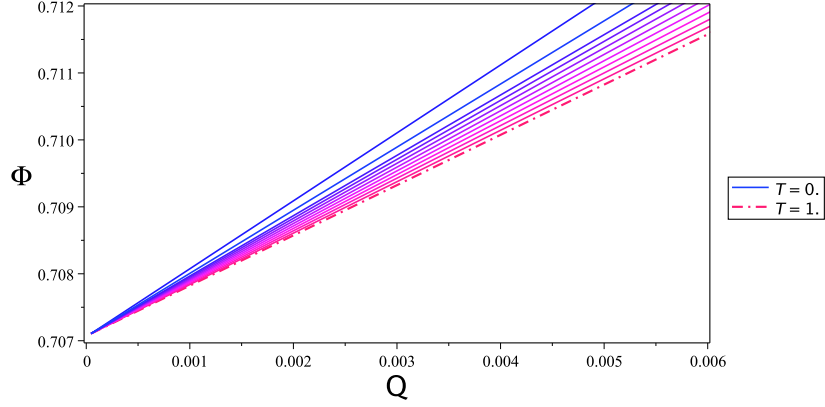


Figura 5.6: Un acercamiento (zoom) para la ecuación de estado, en las cercanías de $Q = 0$ y $\Phi = -1/2q$. La temperatura se tomó desde $T = 0$ hasta $T = 1$.

y el potencial termodinámico es

$$\mathcal{G}(x_+, \Phi) = \frac{\alpha}{24\eta^3} - \frac{\Phi^2 x_+^2}{2\eta(x_+ - 1)^2} + \frac{x_+ + 1}{4\eta(x_+ - 1)} \quad (5.74)$$

La capacidad calórica C_Φ puede ahora ser directamente calculada, obteniendo la segunda derivada del potencial termodinámico. Concretamente, las condiciones para la estabilidad local en el gran canónico son

$$-\left(\frac{\partial^2 \mathcal{G}}{\partial T^2}\right)_\Phi > 0 \quad (5.75)$$

$$\left(\frac{\partial^2 \mathcal{G}}{\partial T^2}\right)_\Phi \left(\frac{\partial^2 \mathcal{G}}{\partial \Phi^2}\right)_T - \left[\left(\frac{\partial}{\partial \Phi}\right)_T \left(\frac{\partial \mathcal{G}}{\partial T}\right)_\Phi\right]^2 > 0 \quad (5.76)$$

$$-\left(\frac{\partial^2 \mathcal{G}}{\partial T^2}\right)_\Phi \left\{ \left(\frac{\partial^2 \mathcal{G}}{\partial T^2}\right)_\Phi \left(\frac{\partial^2 \mathcal{G}}{\partial \Phi^2}\right)_T - \left[\left(\frac{\partial}{\partial \Phi}\right)_T \left(\frac{\partial \mathcal{G}}{\partial T}\right)_\Phi\right]^2 \right\} > 0 \quad (5.77)$$

De acuerdo a la discusión en la sección (5.2.1), o como puede directamente verse de estas condiciones, es consistente que sólo dos de ellas se satisfagan, ya que la restante se satisface automáticamente. Para ser más explícito, las desigualdades (5.75) y (5.77) son equivalentes a las condiciones $C_\Phi > 0$ y $\epsilon_S > 0$, respectivamente, mientras que (5.76) es equivalente a $C_\Phi \epsilon_S > 0$.

En la Fig. 5.7, se muestra que el criterio para la estabilidad se cumple para un

conjunto de configuraciones de agujeros negros. Concretamente, hemos graficado las siguientes cantidades (amplificadas por un factor constante, por conveniencia)

$$C_1 := - \left(\frac{\partial^2 \mathcal{G}}{\partial T^2} \right)_\Phi, \quad C_2 := - \left(\frac{\partial^2 \mathcal{G}}{\partial \Phi^2} \right)_T \quad (5.78)$$

$$C_3 := - \left(\frac{\partial^2 \mathcal{G}}{\partial T^2} \right)_\Phi \left\{ \left(\frac{\partial^2 \mathcal{G}}{\partial T^2} \right)_\Phi \left(\frac{\partial^2 \mathcal{G}}{\partial \Phi^2} \right)_T - \left[\left(\frac{\partial}{\partial \Phi} \right)_T \left(\frac{\partial \mathcal{G}}{\partial T} \right)_\Phi \right]^2 \right\} \quad (5.79)$$

Como se comentó, $C_1 > 0$ y $C_3 > 0$ son suficientes para determinar una estabilidad completa, sin embargo, por completitud, hemos también graficado C_2 para mostrar explícitamente que todo es consistente.

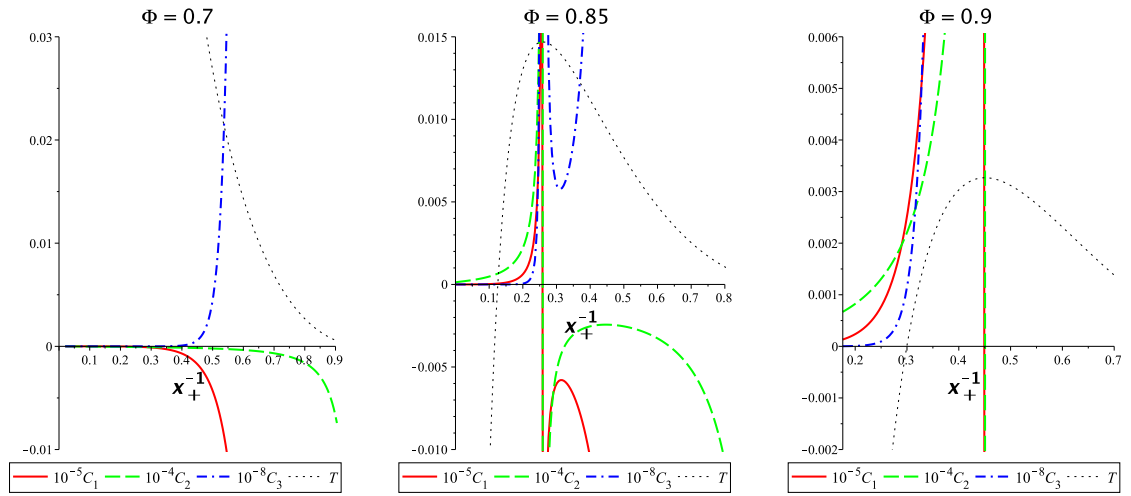


Figura 5.7: Funciones repuesta en términos de las segundas derivadas del potencial termodinámico, para $\alpha = 10$. Tres diferentes valores del potencial conjugado Φ se han mostrado. La positividad de C_1 (en rojo) corresponde a $C_\Phi > 0$, mientras que la positividad de C_3 (azul) corresponde a $\epsilon_S > 0$. Si ambas son positivas, se sigue que $C_2 > 0$ (en verde).

En la Fig. 5.7, observamos que, para $\Phi > 1/\sqrt{2}$ (segundo y tercer gráficos), tanto C_1 , C_2 como C_3 desarrollan una divergencia y resultan simultáneamente positivas dentro de una región física que comienza en $T = 0$ y se extiende hasta $T = T_{max}$ (donde se localizan estas divergencias). Esta región nueva (que no existe en el agujero de RN) está caracterizada por $\epsilon_S > 0$ y $C_\Phi > 0$. En la Fig. 5.8, más abajo, se puede observar que estos agujeros negros estables aparecen siempre que $\Phi > 1/\sqrt{2}$ y están

caracterizadas también por $\mathcal{G} < 0$ y por $(\partial^2 \mathcal{G} / \partial T^2)_\Phi < 0$, como es esperado, puesto que $C_\Phi > 0$. Quisiéramos enfatizar que, en el caso del agujero negro de RN, no hay configuraciones físicas con capacidad calórica positiva para un Φ fijo.

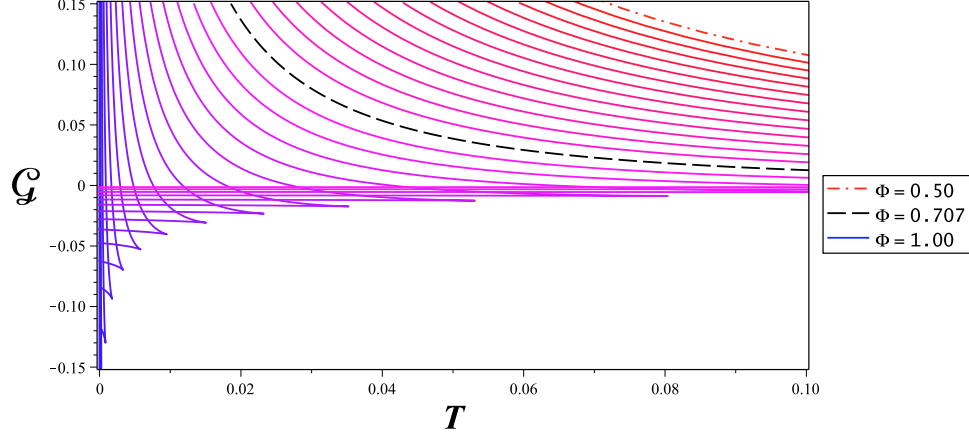


Figura 5.8: Potencial termodinámico \mathcal{G} vs T para la rama positiva, para $\alpha = 10$. Para $\Phi > 1/\sqrt{2}$, el potencial desarrolla un sector con concavidad negativa, esto es, $C_\Phi > 0$.

Una discusión detallada sobre la interpretación física de estos resultados, y una comparación con el agujero negro estable en AdS será presentada en la sección 5.4.

Ensamble canónico

Ahora presentamos un análisis similar para el ensamble canónico. Para hacer explícita la dependencia de las cantidades termodinámicas relevantes en Q , usaremos la ecuación $q = -\eta Q$ para eliminar q de la ecuación del horizonte, $f(x_+) = 0$, y entonces resolvemos la raíz positiva $\eta = \eta(x_+, Q)$. Esto permite escribir las siguientes expresiones paramétricas:

$$M = \frac{12\eta^4 Q^2 - \alpha}{12\eta^3}, \quad \Phi = \frac{\eta(x_+ - 1)Q}{x_+}, \quad S = \frac{\pi x_+}{\eta^2(x_+ - 1)^2}, \quad (5.80)$$

$$T = \frac{(x_+ - 1)^2}{8\pi\eta x_+} \left(-\alpha - 2\eta^2 \frac{x_+ + 1}{x_+ - 1} + 4\eta^4 Q^2 \frac{x_+ + 2}{x_+} \right) \quad (5.81)$$

Consecuentemente, el correspondiente potencial termodinámico puede ser expresado paramétricamente en la siguiente forma compacta:

$$\mathcal{F}(x_+, Q) = \frac{\alpha}{24\eta^3} + Q^2\eta \frac{x_+ - 2}{2x_+} + \frac{1}{4\eta} \frac{x_+ + 1}{x_+ - 1} \quad (5.82)$$

Para investigar la estabilidad termodinámica local, debemos verificar las desigualdades $\epsilon_T > 0$ y $C_Q > 0$, las cuales, en términos de segundas derivadas de \mathcal{F} , son equivalentes a las condiciones

$$F_1 := (\partial^2 \mathcal{F} / \partial Q^2)_T > 0, \quad F_2 := -(\partial^2 \mathcal{F} / \partial T^2)_Q > 0 \quad (5.83)$$

respectivamente.⁵ Los gráficos en el lado derecho de las Figs. 5.9 y 5.10 muestran un zoom hecho en el espacio de parametros para los cuales los agujeros negros son estables. La estabilidad termodinámica ocurre en el sector $\epsilon_T > 0$, localizado allí donde $\Phi > \frac{1}{\sqrt{2}}$ (vea la Fig. 5.4), y, por lo tanto, es consistente con nuestros resultados en el ensamble gran canónico.

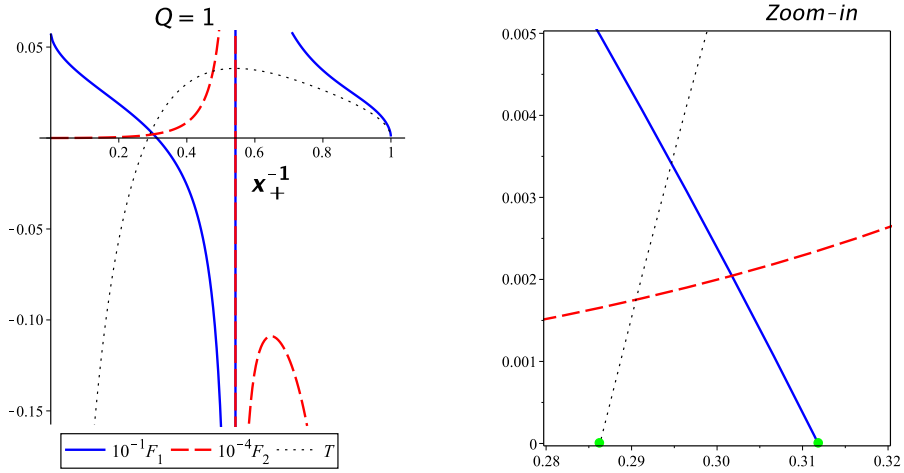


Figura 5.9: Segundas derivadas del potencial termodinámico, dadas por F_1 y F_2 , para $\alpha = 10$ y $Q = 1$. Existe una región donde ambas son positivas, entre $T = 0$ y donde F_1 desarrolla un cero ($\epsilon_T = 0$). En el gráfico a la derecha se ha hecho un zoom sobre dicha región y se ha marcado el intervalo (en el eje x_+) de estabilidad, mediante puntos verdes.

⁵La tercera condición para estabilidad bajo fluctuaciones mixtas, $\epsilon_T C_Q > 0$, sigue de $\epsilon_T > 0$ y $C_Q > 0$ y entonces no necesita ser impuesta como una condición independiente.

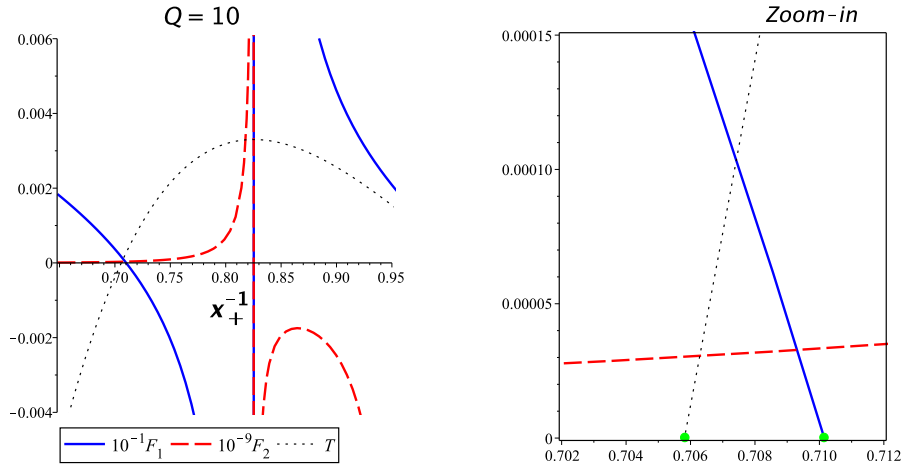


Figura 5.10: Funciones respuestas, para $\alpha = 10$ y $Q = 10$. Existe la misma región de estabilidad mostrada en la figura previa.

En la Fig 5.11, se ha graficado el potencial termodinámico como función de la temperatura, indicando que hay agujeros negros con $C_Q > 0$ para cualquier Q . Los agujeros negros estables existen siempre que $\epsilon_T > 0$ y $C_Q > 0$, pero entonces no todos aquellos con $C_Q > 0$ en la Fig. 5.11 son termodinámicamente estables, sino una relativamente pequeña parte (vea la Fig. 5.10).

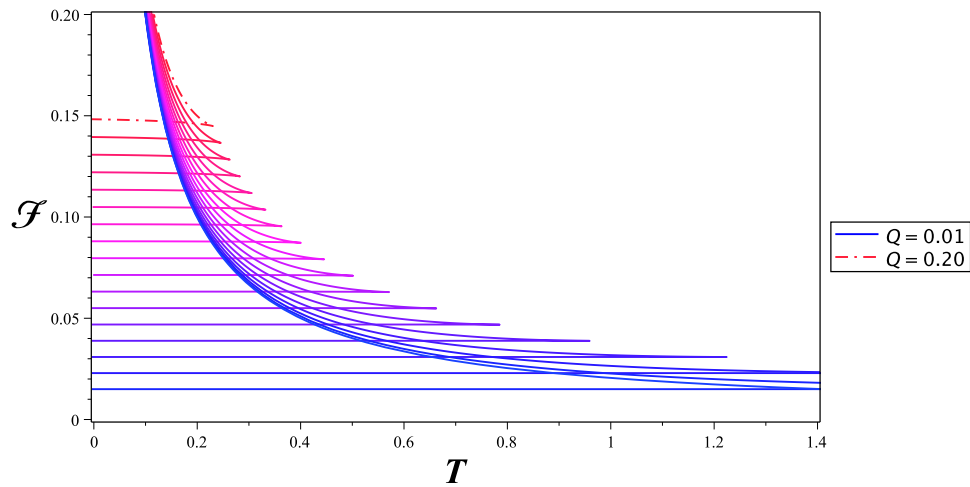


Figura 5.11: Potencial termodinámico \mathcal{F} vs T para $\alpha = 10$. El sector con concavidad negativa existe para cualquier valor de Q

5.3.2. La rama negativa

Ahora investigamos la estabilidad en la rama negativa, esto es, cuando $\phi < 0$ o, equivalentemente, $x \in (0, 1)$, para la teoría con $\gamma = 1$ y $\alpha > 0$, presentada en la sección (5.1). Como mostraremos, aunque sin presentar detalles (puesto que los pasos son básicamente los mismos que aquellos mostrados para la rama positiva), no existen agujeros negros estables en este caso.

Ensamble gran canónico

En la Fig. 5.12 se muestra Φ vs Q , a temperatura (ecuación de estado) y entropía fija, respectivamente. Comparado con la ecuación de estado en la rama positiva, la parte superior del gráfico no contiene una región donde $\epsilon_T > 0$. Esto representa una importante diferencia con el caso estudiado previamente.

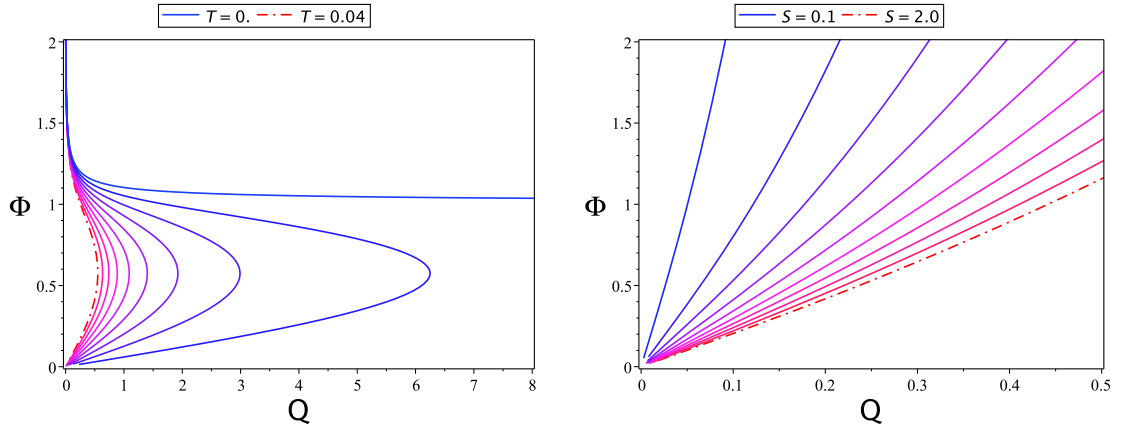


Figura 5.12: Izquierda: Ecuación de estado en la rama negativa, para $\alpha = 10$. Derecha: Φ vs Q para entropía fija.

La ecuación de estado es bastante similar con el agujero negro de RN, en el sentido que sólo contiene una región con $\epsilon_T > 0$ correspondiente a la parte baja del gráfico. Por otra parte, uno explícitamente mostrar que, como en el caso previo, $\epsilon_S > 0$. Resulta, sin embargo, que las funciones respuesta relevantes no comparten valores positivos en ninguna región física, esto es, $C_\Phi < 0$, como se muestra en la Fig. 5.13 — hemos usado las mismas convenciones que en caso del ensemble gran canónico en la rama positiva para las definiciones (5.78) y (5.79). A pesar de que

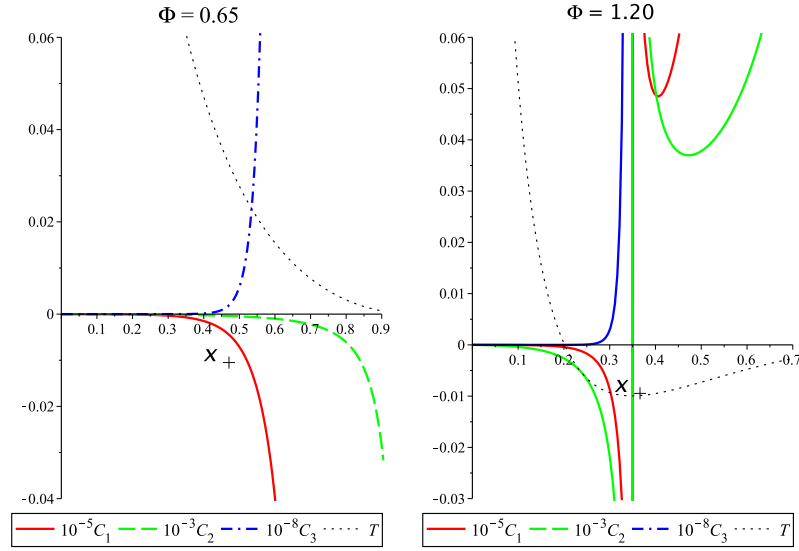


Figura 5.13: Funciones respuesta en términos de la segundas derivadas de \mathcal{G} , para $\alpha = 10$. La positividad simultánea de C_1 (en rojo) y C_3 (en azul) indica estabilidad.

$\epsilon_S > 0$ (en azul), como puede verse en Fig. 5.12, no existe una región física donde $C_\Phi > 0$. Por lo tanto, no existen agujeros negros estables en la rama negativa.

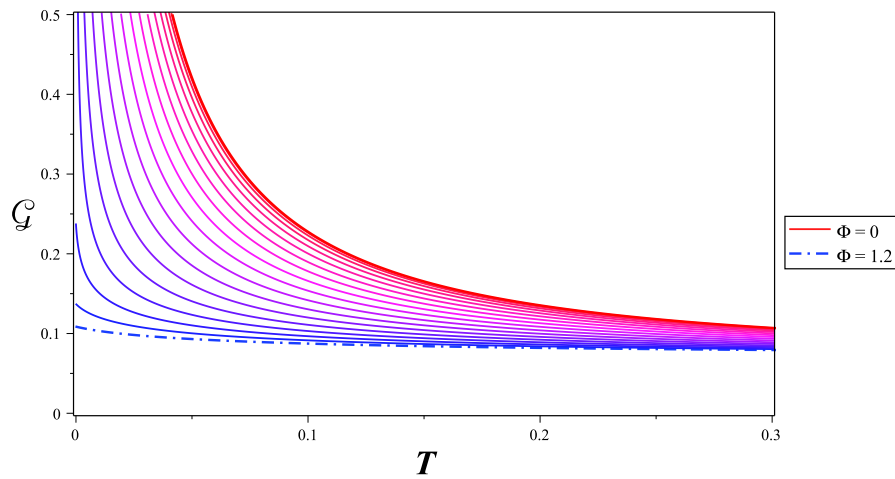


Figura 5.14: La concavidad del potencial termodinámico es definida positiva y entonces $C_\Phi < 0$. Se tomó $\alpha = 10$.

Ensamble canónico

Las funciones respuestas están graficadas en la Fig. 5.15, donde se observa que, en sintonía con los resultados en el ensamble gran canónico, no existen una región donde $\epsilon_T > 0$ y $C_Q > 0$, simultáneamente. Además, el producto $C_Q \epsilon_T$ es negativo para $T > 0$.

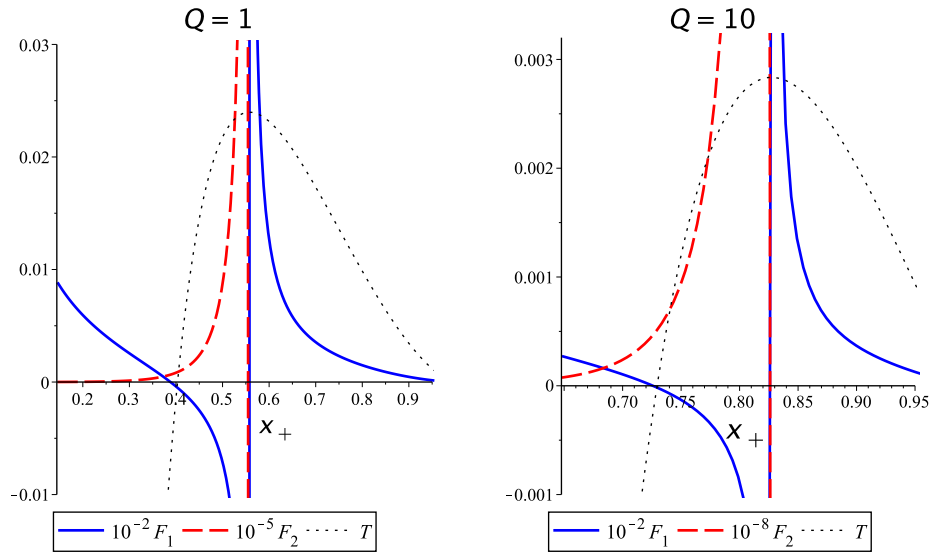


Figura 5.15: Segundas derivadas del potencial termodinámico, para $\alpha = 10$.

No existen configuraciones estables en el ensamble canónico para la rama negativa. El cero de F_1 está localizado en la región $T < 0$ o, en otras palabras, el agujero negro extremo es inestable (vea Fig. 5.12) y, por lo tanto, ϵ_T no toma valores positivos en regiones donde $C_Q > 0$.

5.4. Discusión

Los campos escalares juegan un rol central en cosmología y física de partículas y aparecen naturalmente en teoría de unificación en física de altas energías. Es entonces importante entender propiedades generales de las teorías de gravedad acopladas a escalares (y otros campos de materia), particularmente el rol que juegan en la física de agujeros negros.⁶ En este trabajo, hemos considerado propiedades termodinámicas de una familia de agujeros negros con pelo asintóticamente planos, con el objetivo de arrojar luz sobre su estabilidad termodinámica.

En nuestra investigación, hemos sido directamente motivados por los resultado de [70], donde fue conjeturada la existencia de tales soluciones de agujeros negros en teorías con un potencial no trivial que se anula en el borde⁷ y en [43], donde soluciones exactas regulares de agujeros negros con pelo fueron obtenidas.

Debido a su íntima conexión con la función de partición, el formalismo (Euclidiano) de la integral de caminos de la gravedad cuántica es ampliamente usado cuando se estudia la termodinámica de agujero negro. Hemos presentado un análisis completo usando los términos de borde requeridos en la acción de la relatividad general y hemos probado que, para algunos valores de los parámetros, estos agujeros negros son termodinámicamente estables en ambos, en los ensambles canónico y gran canónico. Este resultado podría venir como sorpresa ya que, generalmente, en espaciotiempo asintóticamente planos, para varias dimensiones, se sabe que los agujeros negros no son termodinámicamente estables[66, 100–102].⁸ Es posible construir agujeros negros termodinámicamente estables introduciendo una constante cosmológica negativa Λ y considerando agujeros negros asintóticamente AdS, o poniéndolos dentro de una cavidad finita (como hemos comentado). Sin embargo, cuando existen campos escalares en la teoría, su auto-interacción es el ingrediente clave para la estabilidad terodinámica.

Se sabe que, cuando el potencial dilatónico se anula, uno puede también variar el

⁶Algunas aplicaciones recientes interesantes pueden ser encontradas en [94–99].

⁷El potencial escalar diverge en la singularidad, $x = \{0, \infty\}$, pero esto no es materia de atención puesto que la singularidad está protegida por el horizonte. En la singularidad uno espera que los efectos de la gravedad cuántica se vuelven relevantes y, entonces, la teoría que estamos considerando debe ser interpretada como una teoría efectiva.

⁸Sin embargo, existen ejemplos de agujeros negros termodinámicamente estables en teorías que incluyen términos de derivadas de orden superior[103–105].

valor asintótico del campo escalar, ϕ_∞ . En este caso, se consideró inicialmente que la primera ley de la termodinámica debería ser modificada mediante la adición de una contribución debido a la carga escalar [24] que puede ser explícitamente verificada para soluciones exactas de agujero negro con pelo [33, 106, 107]. Como mostramos en los capítulos anteriores, la consideración del principio variacional correcto implica que la energía cuasilocal no coincide con la masa *ADM* (obtenida de la expansión de la componente g_{tt} de la métrica. Usando una definición correcta para la energía (cuasilocal) gravitacional, mostramos que la primera ley preserva su forma usual sin incluir ninguna contribución extra viniendo de la variación del dilatón. Debemos contrastar este caso con los agujeros negros con pelo en teorías con un potencial dilatónico. Particularmente, para obtener un espaciotiempo asintóticamente plano, debería ser impuesta una restricción importante sobre el potencial, que se anule en el borde. Esto es, el valor asintótico del dilatón debería estar fijo, de otra manera su variación cambiaría el comportamiento asintótico del espaciotiempo. Por lo tanto, el desafío de la aparición de la carga escalar no aparece en los casos analizados en este capítulo.

En el trabajo de Brown y York [32], fue mostrado que el tensor de estrés cuasilocal es covariantemente conservado solamente si el comportamiento asintótico de los campos de materia es tal que decaen lo suficientemente rápido, lo cual es también nuestro caso: en el borde cuando $x = 1$, el campo escalar es $\phi \rightarrow 0$, lo cual implica que el potencial se anula. Por ejemplo, el agujero negro en la teoría con $\gamma = \sqrt{3}$ tiene el siguiente tensor de estrés cuasilocal

$$\tau_{tt} = -\frac{8\alpha + 3(1 - 2q^2)\eta^2}{3\eta\kappa} (x - 1)^2 + \mathcal{O}[(x - 1)^3] \quad (5.84)$$

$$\tau_{\theta\theta} = \frac{\tau_{\phi\phi}}{\sin^2\theta} = \frac{[8\alpha + 3(1 - 2q^2)\eta^2]^2 - 9\eta^4(4q^2 - 3)}{72\kappa\eta^5} (x - 1) + \mathcal{O}[(x - 1)^2] \quad (5.85)$$

el cual es, de hecho, covariantemente conservado. Esto contrasta con la situación cuando la solución no es regular debido a la presencia de singularidades cónicas en el borde [89].

Otra importante observación es sobre el estado fundamental de la teoría. El método de contra'terminos, remarcablemente, provee un método de regularización que produce una definición intrínseca de la acción sin necesidad de usar un background

de referencia. Sin embargo, es importante obtener soluciones tipo solitón (a la temperatura cero). Dejamos el análisis detallado de este punto para un trabajo futuro, pero, como en el caso de agujeros negros cargados en AdS [108], uno puede, en principio, considerar la existencia de agujeros negros extremos en el ensamble canónico (a carga Q fija) como el background de referencia. El problema que aparece para agujeros negros con pelo es que el límite extremo no es siempre bien definido como en el caso del agujero negro de RN. Esto está relacionado con el mecanismo atractor [109–111] y quisiéramos comentar ahora sobre este aspecto sutil de la teoría. Existen dos métodos diferentes para estudiar la información cerca del horizonte (near horizon data) de agujeros negros extremos, el potencial efectivo [112] y el método de la función entropía [113, 114]. Cuando el potencial dilatónico se anula, en teorías con un campo eléctrico, el potencial efectivo no puede tener un extremo al horizonte, lo cual indica que los agujeros negros extremos no existen. Esto puede ser obtenido directamente calculando los invariantes geométricos en el horizonte interno y probando que algunos de ellos divergen. Sin embargo, hay un cambio drástico cuando el potencial dilatónico es no trivial. Esto es, debido a la competición entre el potencial efectivo y el potencial dilatónico, puede existir un límite extremo bien definido (en la sección Lorentziana) para algunos valores de los parámetros del potencial dilatónico. En este caso, el método del potencial efectivo deja de funcionar, pero, en cambio, uno puede usar el formalismo de la función entropía. Un análisis del caso en que estamos interesados fue hecho en [43] (vea, también, [44]) y, de hecho, existen soluciones de agujeros negros extremos regulares y el ensamble canónico es bien definido.

Ahora, quisiéramos discutir en más detalle nuestro principal resultado, presentados en la sección (5.3.1). Comparemos los agujeros negros termodinámicamente estables, que existen para $\Phi > \frac{1}{\sqrt{2}}$ (el valor del potencial conjugado es menor que 1 para los agujeros negros extremos, pero, cuando $\Phi \rightarrow 1$, el agujero negro de RN extremo es recuperado), con los agujeros negros estables en AdS. En la Fig. 5.16, graficamos S vs T y \mathcal{G} vs T para los agujeros negros con pelo para identificar, a una temperatura dada, cuál configuración es favorable.

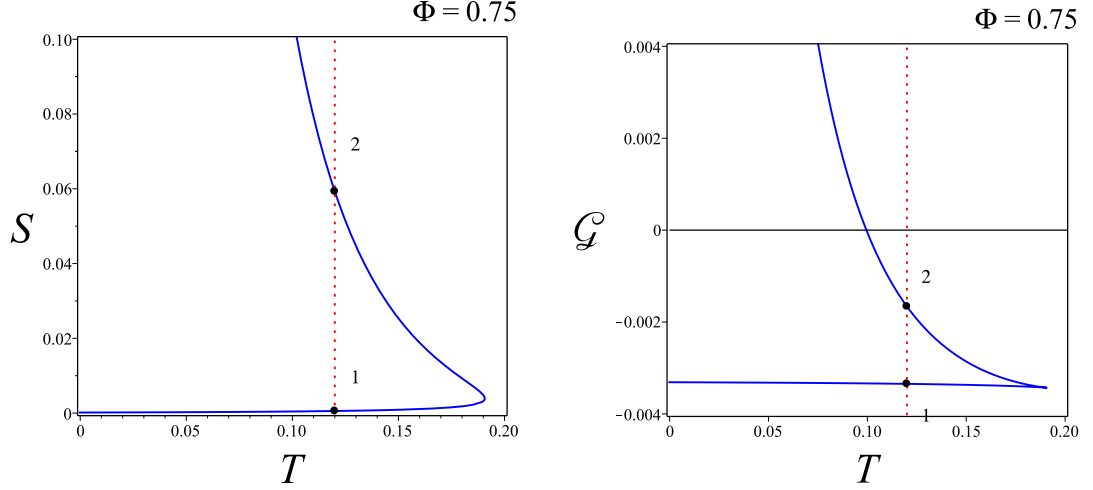


Figura 5.16: Identificación de la configuración estable. Se ha fijado $\Phi = 0,75$ y la línea roja vertical corresponde a un valor particular $T = 0,06$. La configuración marcada con el número 1 es la estable.

Del primer gráfico en la Fig. 5.16, observamos que los agujeros negros estables, para los cuales $C_\Phi = T(\partial S/\partial T)_\Phi > 0$, corresponden a la configuración indicada con el número 1. Este agujero negro tiene menor entropía que la otra configuración a la misma temperatura, por lo tanto, ya que $S = -(\partial \mathcal{G}/\partial T)_\Phi$, este puede ser identificado en el segundo gráfico como aquel con menor pendiente (indicado el número 1, también). Otra manera de entender esto es investigando la segunda derivada del potencial termodinámico. Puesto que

$$\left(\frac{\partial S}{\partial T}\right)_\Phi = -\left(\frac{\partial^2 \mathcal{G}}{\partial T^2}\right)_\Phi \quad (5.86)$$

los agujeros negros estables, para los cuales $(\partial S/\partial T)_\Phi > 0$, deberían aparecer en el primer gráfico como $(\partial^2 \mathcal{G}/\partial T^2)_\Phi < 0$, los que corresponden a la configuración 1, porque tiene concavidad negativa. Con esto, la identificación está completa.

Ahora pondremos nuestra atención en la solución Schwarzschild-AdS, donde también existen dos agujeros negros a la misma temperatura, tal que podemos comparar con nuestros resultados. En la Fig. 5.17, mostramos el potencial termodinámico correspondiente al ensamble canónico $\mathcal{F} = M - TS$ vs T y la entropía S vs T .

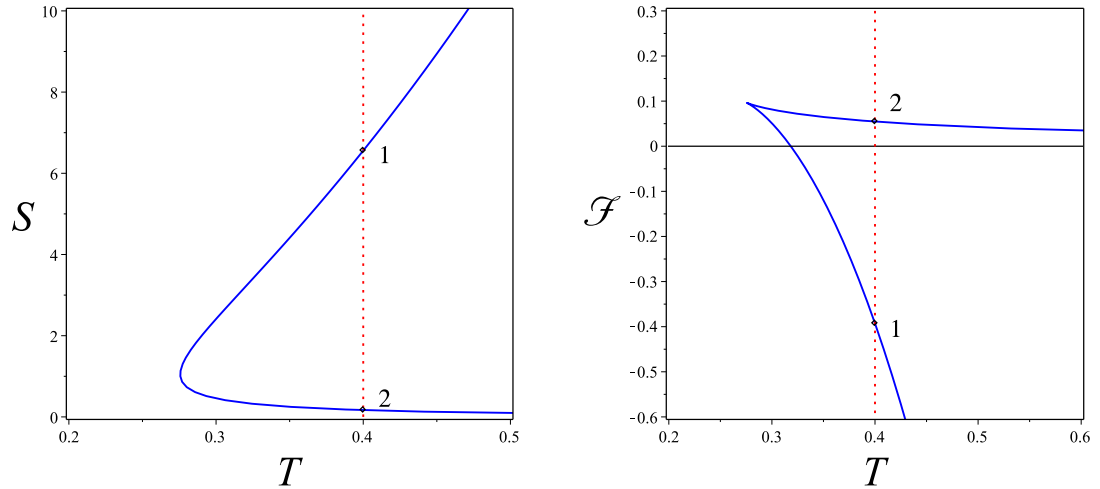


Figura 5.17: Identificación de la configuración estable (número 1) para el agujero negro de Schwarzschild-AdS.

Para identificar los agujeros negros estables, nótese que, en el gráfico de S como función de la temperatura, la pendiente positiva corresponde a la configuración 1 a temperatura fija. De la ecuación (5.86), esta debería ser la única que tiene concavidad negativa para el potencial termodinámico. Por lo tanto, en el segundo gráfico en la Fig. 5.17, corresponde a aquella con un vapor menor del potencial termodinámico, indicado como la configuración 1, también. A primera vista, podría parecer extraño que en AdS los agujeros negros grandes sean lo estables, mientras que en el espacio asintóticamente plano los estables sean los más pequeños⁹ (comparando los agujeros negros a la misma temperatura). Sin embargo, hay una interpretación simple para este resultado. Es actualmente bien sabido [115] que los espaciotiempos AdS actúan como una caja y, entonces, cuando el horizonte del agujero negro es comparable con el radio de AdS, L , ellos pueden estar en equilibrio térmico estable. Para los agujeros negros con pelo en espaciotiempo asintóticamente planos, la auto-interacción del campo escalar juega un papel de ‘cavidad’. Cuando el radio del horizonte es grande, el potencial del campo escalar toma valores menores (se anula en el borde) y entonces los agujeros negros grandes no son estables, mientras que para los pequeños, la auto-interacción se vuelve relevante, actuando como una cavidad que permite

⁹Puesto que en la solución con pelo asintóticamente plana no contiene un parámetro de longitud, como AdS, agujeros negros pequeños deben entenderse como $S \ll Q^2$, para α fijo.

configuraciones en equilibrio térmico estable.

Considere la ecuación de estado, mostrada una vez más en la Fig. 5.18 y la condición de estabilidad eléctrica en el ensamble canónico, $\epsilon_T > 0$. Ahora, distinguiamos las regiones relevantes, como se detalla abajo.

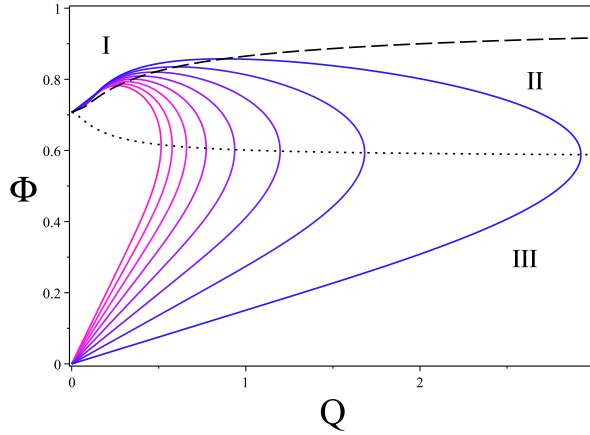


Figura 5.18: **Región I:** Esta es la región donde se encuentran los agujeros negros estables. Corresponden al intervalo $\Phi(\epsilon_T = 0) < \Phi < \Phi(T = 0)$. En el gráfico, la línea con guiones corresponde a $\epsilon_T = 0$, y la línea punteada corresponde a $\epsilon_T \rightarrow \infty$. **Región II:** En esta región los agujeros negros son eléctricamente inestables, aunque $C_Q > 0$. **Región III:** Los agujeros negros son eléctricamente estables, sin embargo, térmicamente inestables $C_Q < 0$. Se ha fijado $\alpha = 10$.

El resultado nuevo, comparado con el agujero negro de RN, es la existencia de la región I, donde $\epsilon_T > 0$. Para ser más específico, comparemos el agujero negro con pelo en la rama positiva con el equivalente en la rama negativa y con el agujero negro de RN (asintóticamente plano, también). La región II en todos estos casos es caracterizada por $\epsilon_T < 0$ y $C_Q > 0$. Sin embargo, solamente para la rama positiva, la ecuación de estado desarrolla la nueva región I, donde la permitividad eléctrica cambia su signo, mientras que C_Q preserva la positividad. Es el cambio en el signo de ϵ_T lo que da lugar a agujeros negros termodinámicamente estables. Sin embargo, en la perspectiva del ensamble gran canónico, donde Φ es fijo, la estabilidad se abre paso gracias a que C_Φ cambia su signo a positivo, en la región donde ϵ_S era ya positiva.

Déjenos considerar el mismo resultado desde una perspectiva diferente. Debido a

que la primera ley en el ensamble gran canónico puede ser escrita como

$$dG = -SdT - Qd\Phi \quad (5.87)$$

podemos fijar T , para obtener $dG = -Qd\Phi$. Ahora, integrando, uno obtiene

$$\Delta G = - \int Qd\Phi = - \int_{\Phi=\frac{1}{\sqrt{2}}}^{\Phi=\Phi_m} Qd\Phi - \int_{\Phi=\Phi_m}^{\Phi=0} Qd\Phi \quad (5.88)$$

donde Φ_m es el máximo valor que Φ asume para una temperatura $T \neq 0$ fija. Por lo tanto, la Fig. 5.18 provee información, salvo un factor constante, del potencial termodinámico como función de Φ y la comparación es hecha en la Fig. 5.19.

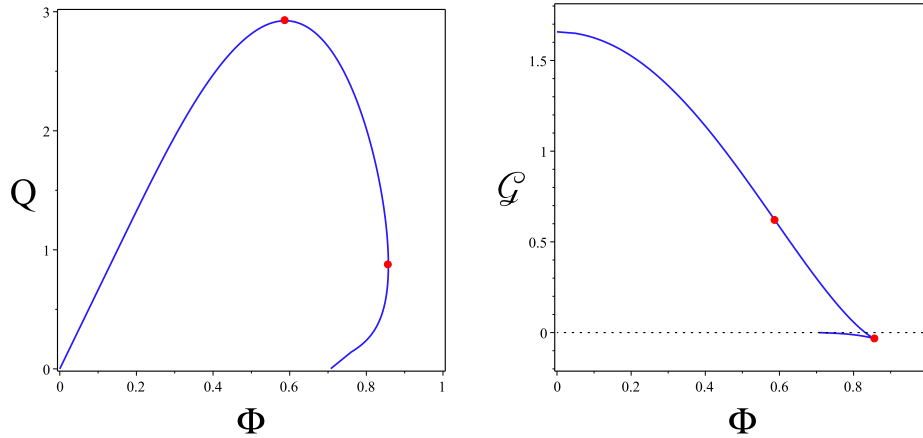


Figura 5.19: Izquierda: Gráfico Q vs Φ . Derecha: \mathcal{G} vs Φ , para la isoterma $T = 0,012$. Los puntos rojos indican $\epsilon_T = 0$ (el punto a la derecha) y $\epsilon_T \rightarrow \infty$ (el punto ubicado arriba).

Como se mencionó antes, la estabilidad eléctrica está dada por una concavidad negativa en el potencial termodinámico (como una función de Φ) que puede ser visualizada en la Fig. 5.19. Los puntos rojos, en aquella figura, indican $\epsilon_T = 0$ y $\epsilon_T \rightarrow \infty$. Entre $\Phi = 0$ y el primer punto rojo (arriba, en la figura), la concavidad \mathcal{G} es negativa (esto es, $\epsilon_T > 0$). Entre ambos puntos rojos, $\epsilon_T < 0$ y la concavidad es positiva. Finalmente, entre el segundo punto rojo (abajo a la derecha, en la imagen) y el límite $\Phi = 1/\sqrt{2}$ ($Q \rightarrow 0$), la concavidad se vuelve positiva también y $\epsilon_T > 0$. Por lo tanto, el gráfico de \mathcal{G} vs Φ es consistente con el comportamiento de la solución

obtenida de la ecuación de estado.

La existencia de agujeros negros con pelo asintóticamente planos y termodinámicamente estables abre la posibilidad de investigar no solamente los diagramas de fase y posibles transiciones de fase, sino también chequear la estabilidad clásica (vea, por ejemplo, [116–122]) en este nuevo contexto.

Apéndice A

El término de Gibbons-Hawking

En la sección (2.1), vimos que, con respecto a la métrica, el principio de acción $\delta I = 0$ está garantizado siempre que

$$\delta \left(\frac{1}{2\kappa} \int_{\mathcal{M}} d^4x \sqrt{-g} g^{\mu\nu} \delta R_{\mu\nu} + I_{GH} \right) = 0 \quad (\text{A.1})$$

donde

$$I_{GH} = \frac{1}{\kappa} \int_{\partial\mathcal{M}} d^3x \sqrt{|h|} K \quad (\text{A.2})$$

Mostraremos en detalle que (A.2) es correcto para condiciones de borde específicas para la métrica.

Tomando la variación del tensor de Ricci $R_{\mu\nu} = \partial_\alpha \Gamma_{\mu\nu}^\alpha - \partial_\nu \Gamma_{\alpha\mu}^\alpha + \Gamma_{\beta\alpha}^\beta \Gamma_{\mu\nu}^\alpha - \Gamma_{\nu\alpha}^\beta \Gamma_{\beta\mu}^\alpha$, se tiene que

$$\delta R_{\mu\nu} = \nabla_\alpha (\delta \Gamma_{\mu\nu}^\alpha) - \nabla_\nu (\delta \Gamma_{\alpha\mu}^\alpha) \quad (\text{A.3})$$

de manera que

$$\begin{aligned} \sqrt{-g} g^{\mu\nu} \delta R_{\mu\nu} &= \sqrt{-g} \nabla_\alpha (g^{\mu\nu} \delta \Gamma_{\mu\nu}^\alpha) - \sqrt{-g} \nabla_\nu (g^{\mu\nu} \delta \Gamma_{\alpha\mu}^\alpha) \\ &= \partial_\alpha (\sqrt{-g} g^{\mu\nu} \delta \Gamma_{\mu\nu}^\alpha) - \partial_\nu (\sqrt{-g} g^{\mu\nu} \delta \Gamma_{\alpha\mu}^\alpha) \\ &= \partial_\alpha (\sqrt{-g} v^\alpha) \end{aligned}$$

donde $v^\alpha \equiv g^{\mu\nu} \delta\Gamma_{\mu\nu}^\alpha - g^{\mu\alpha} \delta\Gamma_{\nu\mu}^\nu$ y, entonces,

$$\frac{1}{2\kappa} \int_{\mathcal{M}} d^4x \sqrt{-g} g^{\mu\nu} \delta R_{\mu\nu} = \frac{1}{2\kappa} \int_{\partial\mathcal{M}} d^3x \sqrt{|h|} \epsilon n_\alpha v^\alpha \quad (\text{A.4})$$

donde $h_{\mu\nu}$ es la métrica sobre el borde del espaciotiempo $\partial\mathcal{M}$ que es una hipersuperficie dada por una ecuación del tipo $\Phi = \Phi(x^\mu)$, con un vector unitario normalizado

$$n_\mu \equiv \frac{\nabla_\mu \Phi}{|\nabla_\alpha \Phi \nabla^\alpha \Phi|} \quad \rightarrow \quad n^\mu n_\mu = \frac{\nabla_\alpha \Phi \nabla^\alpha \Phi}{|\nabla_\alpha \Phi \nabla^\alpha \Phi|} = \epsilon \equiv \pm 1 \quad (\text{A.5})$$

La relación de completitud entre $g_{\mu\nu}$ y $h_{\mu\nu}$ es

$$g^{\mu\nu} = \epsilon n^\mu n^\nu + h^{\mu\nu} \quad (\text{A.6})$$

$h^{\mu\nu} = h^{ab} e_a^\mu e_b^\nu$ ($a = 1, 2, 3$) es la extensión de la métrica 3-dimensional h_{ab} sobre $\partial\mathcal{M}$, por medio de las bases $e_a^\mu \equiv \frac{\partial x^\mu}{\partial y^a}$, donde y^a son las coordenadas sobre $\partial\mathcal{M}$,

$$ds_{\partial\mathcal{M}}^2 = g_{\mu\nu} dx^\mu dx^\nu = g_{\mu\nu} (e_a^\mu dy^a) (e_b^\nu dy^b) = h_{ab} dy^a dy^b$$

Ahora, revisaremos brevemente qué condiciones de borde para la métrica son compatibles con el término de Gibbons-Hawking (A.2).

Una de aquellas condiciones que debe demandarse es que la métrica esté fija en el borde, esto es, $\delta g_{\mu\nu}|_{\partial\mathcal{M}} = \delta g^{\mu\nu}|_{\partial\mathcal{M}} = 0$. Esto nos permite escribir

$$\delta\Gamma_{\mu\nu}^\alpha|_{\partial\mathcal{M}} = \frac{1}{2} g^{\alpha\beta} (\delta g_{\beta\mu,\nu} + \delta g_{\beta\nu,\mu} - \delta g_{\mu\nu,\beta}) \quad (\text{A.7})$$

y entonces $v_\alpha|_{\partial\mathcal{M}} = g^{\mu\nu} (\delta g_{\alpha\mu,\nu} - \delta g_{\mu\nu,\alpha})$. Luego, tenemos

$$\begin{aligned} n_\alpha v^\alpha|_{\partial\mathcal{M}} &= n^\alpha g^{\mu\nu} (\delta g_{\alpha\mu,\nu} - \delta g_{\mu\nu,\alpha}) \\ &= n^\alpha (\epsilon n^\mu n^\nu + h^{\mu\nu}) (\delta g_{\alpha\mu,\nu} - \delta g_{\mu\nu,\alpha}) \\ &= n^\alpha h^{ab} e_a^\mu e_b^\nu (\delta g_{\alpha\mu,\nu} - \delta g_{\mu\nu,\alpha}) \\ &= n^\alpha h^{ab} e_a^\mu \delta g_{\alpha\mu,b} - n^\alpha h^{\mu\nu} \delta g_{\mu\nu,\alpha} \end{aligned} \quad (\text{A.8})$$

En este punto, una segunda condición de borde necesita imponerse para la métrica: que sus derivadas tangenciales sobre el borde sean idénticamente cero. Esto garantiza

que la métrica, fija al borde, tome el mismo valor en cada punto de la hipersuperficie $\partial\mathcal{M}$, y se expresa proyectando la derivada parcial de $\delta g_{\mu\nu}$ en las coordenadas y^a ,

$$\delta g_{\mu\nu,\gamma} e_c^\gamma = 0 \quad (\text{A.9})$$

de manera que

$$n_\alpha v^\alpha|_{\partial\mathcal{M}} = -n^\alpha h^{\mu\nu} \delta g_{\mu\nu,\alpha}$$

Con este resultado, hemos mostrado que

$$\frac{1}{2\kappa} \int_{\mathcal{M}} d^4x \sqrt{-g} g^{\mu\nu} \delta R_{\mu\nu} = -\frac{1}{2\kappa} \int_{\partial\mathcal{M}} d^3x \sqrt{|h|} \epsilon h^{\mu\nu} n^\alpha \delta g_{\mu\nu,\alpha} \quad (\text{A.10})$$

En el término de borde de Gibbons-Hawking, K es la traza del tensor de curvatura extrínseca, $K_{\alpha\beta} \equiv n_{\alpha;\beta}$. Entonces, $K = n^\alpha{}_{;\alpha} = (\epsilon n^\alpha n^\beta + h^{\alpha\beta}) n_{\alpha;\beta} = h^{\alpha\beta} n_{\alpha;\beta}$, donde usamos $(n^\alpha n_\alpha)_{;\beta} = 2n^\alpha n_{\alpha;\beta} = 0$. Por lo tanto,

$$K = h^{\alpha\beta} (n_{\alpha;\beta} - \Gamma_{\alpha\beta}^\gamma n_\gamma) \quad (\text{A.11})$$

Ahora, puesto que la variación δK afecta sólo a los campos dinámicos, en este caso, $g_{\mu\nu}$ ¹ es sencillo ver que, aplicando las condiciones de borde consideradas ya para la métrica,

$$\delta K = -h^{\alpha\beta} \delta \Gamma_{\alpha\beta}^\gamma n_\gamma = \frac{1}{2} h^{\alpha\beta} \delta g_{\alpha\beta,\mu} n^\mu$$

con lo cual tenemos que la variación del término de Gibbons-Hawking, suplementada con las condiciones de borde acordadas para la métrica es

$$\delta I_B = \frac{1}{2\kappa} \int_{\partial\mathcal{M}} d^3x \sqrt{|h|} \epsilon h^{\mu\nu} n^\alpha \delta g_{\mu\nu,\alpha} \quad (\text{A.12})$$

Sumando las variaciones (A.10) y (A.12), vemos que (A.1) se satisface y el principio de acción permanece válido.

¹Puesto que $\delta g_{\mu\nu} = 0$ en el borde, esto inmediatamente fija h_{ab} .

Apéndice B

El método de contratérminos y el formalismo de Brown y York

Presentamos un breve repaso del formalismo cuasilocal y el método de los contratérminos para espaciotiempos asintóticamente planos. Luego, calcularemos las cantidades termodinámicas para el agujero negro de Reissner-Nordström. Probaremos que la primera ley de la termodinámica y la relación estadística-cuántica son satisfechas.

Consideramos soluciones estáticas de agujeros negros en 4 dimensiones en espaciotiempos asintóticamente planos, y el infinito espacial, que es parte del infinito alcanzado a lo largo de geodesicas espaciales, es lo único relevante para nuestro análisis. Brown y York propusieron un tensor de superficie de energía-momento, denominado el ‘tensor de estrés cuasilocal’, para el campo gravitacional [32], que es obtenido variando la acción con respecto a la métrica inducida sobre el borde de la región cuasilocal. Una expresión concreta para el tensor de estrés cuasilocal cuando el borde espacial es empujado al infinito fue dado en [40]:

$$\tau_{ab} = \frac{2}{\sqrt{-h}} \frac{\delta I}{\delta h^{ab}} = \frac{1}{\kappa} \left[K_{ab} - h_{ab} K - \Psi \left(\mathcal{R}_{ab}^{(3)} - \mathcal{R}^{(3)} h_{ab} \right) - h_{ab} \square \Psi + \Psi_{;ab} \right] \quad (\text{B.1})$$

donde $\Psi = \sqrt{2/\mathcal{R}^{(3)}}$. Este fue obtenido variando la acción suplementada con el

contratérmino gravitacional [36, 38, 39] en 4 dimensiones:

$$I = I_{\text{bulk}} + I_{\text{GH}} + I_{\text{ct}}, \quad I_{\text{ct}} = -\frac{1}{\kappa} \int_{\partial\mathcal{M}} d^3x \sqrt{-h} \sqrt{2\mathcal{R}^{(3)}} \quad (\text{B.2})$$

donde I_{GH} es el término de borde de Gibbons-Hawking.

Con este método, las dificultades asociadas con la elección del background de referencia es evitada.

Una vez que el tensor de estrés cuasilocal es conocido, las cantidades conservadas pueden ser obtenidas provisto que la superficie cuasilocal tenga una isometría generada por un vector de Killing ξ^μ . Si el vector de Killing es $\xi = \partial/\partial t$, la energía total del sistema gravitacional es [32]

$$E = \oint_{s_\infty^2} d^2\sigma \sqrt{\sigma} n^a \xi^b \tau_{ab} \quad (\text{B.3})$$

donde n^a es el vector unitario normal a la superficie s_∞^2 en el borde y a $t = \text{constant}$. $\xi^a = \delta_t^a$ es, entonces, el vector de Killing debido a la simetría de traslación temporal del tensor métrico y σ es el determinante de la métrica sobre s_∞^2 . Desde un punto de vista físico, la existencia de la isometría de la hipersuperficie con la métrica inducida h_{ab} significa que una colección de observadores sobre aquella hipersuperficie, todos ellos miden el mismo valor para la energía cuasilocal.

Antes de presentar ejemplos concretos, quisiéramos enfatizar que el tensor de estrés cuasilocal puede ser calculado en la sección Lorentziana. Por otra parte, ya que necesitamos un rango finito para la coordenada temporal para obtener una acción regularizada, el cálculo de la acción es siempre hecho en la sección Euclidiana.

La acción Euclidiana, I^E , está relacionada con el potencial termodinámica del ensemble gran canónico, que corresponde a $\Phi = \text{constant}$, donde Φ es el potencial conjugado a la carga eléctrica Q , por medio de la relación estadístico-cuántica

$$\mathcal{G}(T, \Phi) = \beta^{-1} I^E = M - TS - \Phi Q \quad (\text{B.4})$$

donde β , como se discutió en capítulos previos, es la periodicidad del tiempo Euclidiano. El potencial termodinámico en el ensemble canónico ($Q = \text{constant}$) puede

ser obtenido mediante una transformación de Legendre de (B.4),

$$\mathcal{F}(T, Q) = \mathcal{G}(T, \Phi) + \Phi Q \quad (\text{B.5})$$

Geométricamente, el potencial termodinámico en el ensemble canónico se obtiene al agregar un término de borde extra en la acción, compatible con la condición de carga eléctrica fija,

$$I_A = \frac{2}{\kappa} \int_{\partial\mathcal{M}} d^3x \sqrt{-h} n_\nu F^{\mu\nu} A_\nu \quad (\text{B.6})$$

En tal caso, obtenemos la nueva acción $\bar{I} = I + I_A$ tal que

$$\mathcal{F}(T, Q) = \beta^{-1} \bar{I}^E = M - TS, \quad (\text{B.7})$$

En seguida, obtendremos la acción regularizada en la sección Euclidiana, el tensor de estrés cuasilocal y las cargas conservadas para el agujero negro de Reissner-Nordström. La métrica y el potencial de gauge son

$$ds^2 = -f(r)dt^2 + f(r)^{-1}dr^2 + r^2(d\theta^2 + \sin^2\theta d\varphi^2) \quad (\text{B.8})$$

$$A = \left(\frac{q}{r} - \frac{q}{r_+} \right) dt \quad (\text{B.9})$$

donde $f(r) = 1 - 2m/r + q^2/r^2$. La coordenada del horizonte de eventos r_+ satisface la ecuación $f(r_+) = 0$.

Es sencillo probar que la carga eléctrica, obtenida mediante la ley de Gauss, es

$$Q = \frac{1}{4\pi} \oint_{s_\infty^2} \star F = \frac{1}{4\pi} \oint_{s_\infty^2} \frac{1}{4} \sqrt{-g} \epsilon_{\mu\nu\alpha\beta} F^{\mu\nu} dx^\alpha \wedge dx^\beta = q \quad (\text{B.10})$$

donde ϵ es el símbolo de Levi-Civita (totalmente antisimétrico), con $\epsilon_{tr\theta\varphi} = 1$.

Las cantidades termodinámicas asociadas con este agujero negro, temperatura, entropía y potencial conjugado, son obtenidas como es tradicional

$$T = \frac{1}{4\pi} \left. \frac{df(r)}{dr} \right|_{r=r_+} = \frac{1}{4\pi r_+} \left(1 - \frac{q^2}{r_+^2} \right), \quad S = \frac{\mathcal{A}}{4} = \pi r_+^2 \quad (\text{B.11})$$

$$\Phi = A_t(r_+) - A_t(\infty) = \frac{Q}{r_+} \quad (\text{B.12})$$

donde \mathcal{A} es el área del horizonte de eventos.

Consideramos una foliación del espaciotiempo compuesta por hypersuperficies esféricas $r = \text{constant}$. La normal unitaria a estas hypersuperficies, la curvatura extrínseca y su traza son

$$n_\mu = \frac{\delta_\mu^r}{\sqrt{g^{rr}}}, \quad K_{\mu\nu} = \nabla_\mu n_\nu, \quad K = g^{\mu\nu} K_{\mu\nu} \quad (\text{B.13})$$

o, concretamente,

$$K_{tt} = -\frac{1}{2}f^{1/2}f', \quad K_{\theta\theta} = \frac{K_{\phi\phi}}{\sin^2\theta} = rf^{1/2}, \quad K = \frac{1}{2f^{1/2}} \left(\frac{4f}{r} + f' \right) \quad (\text{B.14})$$

mientras que las componentes del tensor de Ricci y su traza, para estas foliaciones, son

$$\mathcal{R}_{tt}^{(3)} = 0, \quad \mathcal{R}_{\theta\theta}^{(3)} = \frac{\mathcal{R}_{\phi\phi}^{(3)}}{\sin^2\theta} = 1, \quad \mathcal{R}^{(3)} = \frac{2}{r^2} \quad (\text{B.15})$$

Es ahora sencillo encontrar las componentes del tensor de estrés cuasilocal (B.1),

$$\tau_{tt} = \frac{2f}{\kappa r} (f^{1/2} - 1) = \frac{1}{\kappa} \left(-\frac{2M}{r^2} + \frac{3M^2 + Q^2}{r^3} \right) + \mathcal{O}(r^{-4}) \quad (\text{B.16})$$

$$\tau_{\theta\theta} = -\frac{1}{\kappa} \left[r (f^{1/2} - 1) + \frac{r^2 f'}{2f^{1/2}} \right] = -\frac{1}{\kappa} \left(\frac{1}{2r} + \frac{M}{r^2} \right) (M^2 - Q^2) + \mathcal{O}(r^{-3}) \quad (\text{B.17})$$

$$\tau_{\phi\phi} = \sin^2\theta \tau_{\theta\theta} \quad (\text{B.18})$$

Ahora calculamos la energía (B.3), que es una cantidad conservada asociada al vector de Killing $\xi = \partial/\partial t$. La métrica de la 2-superficie relevante es $r^2(d\theta + \sin^2\theta d\varphi^2)$ y la normal (tipo-tiempo) a la superficie $t = \text{constant}$ es $n_a = \delta_a^t/\sqrt{-g^{tt}}$. La única componente del tensor de estrés cuasilocal relevante es τ_{tt} , entonces

$$E = \oint_{s_\infty^2} d^2\sigma \sqrt{\sigma} n^a \xi^b \tau_{ab} = 4\pi \lim_{r \rightarrow \infty} \frac{r f^{3/2}}{4\pi} (1 - f^{1/2}) = M + \mathcal{O}(r^{-1}) \quad (\text{B.19})$$

que, en este caso, coincide con la masa ADM del agujero negro, calculada expandiendo la componente g_{tt} de la métrica al infinito espacial. Usando las cantidades termodinámicas (B.11), la masa cuasilocal (B.19), y la ecuación del horizonte, $f(r_+) = 0$, uno puede verificar la primera ley de la termodinámica para el agujero negro de

Reissner-Nordström,

$$dM = TdS + \Phi dQ \quad (\text{B.20})$$

Para el ensemble gran canónico el potencial conjugado es fijo, $\Phi = \text{constant}$, y la acción Euclidiana, calculada on-shell, satisface la relación estadístico-cuántica (B.4). En efecto, usando la relación (2.23), tenemos los siguientes resultados,

$$I_{bulk}^E = -i \left[\frac{4\pi}{2\kappa} \int_0^\beta d(-it^E) \int_{r_+}^\infty dr r^2 (-F^2) \right] = -\frac{8\pi\beta}{\kappa} \frac{Q^2}{2r_+} + \mathcal{O}(r^{-1}) \quad (\text{B.21})$$

$$I_{GH}^E = -i \left[\frac{2\pi}{\kappa} \int_0^\beta d(-i\tau^E) (4rf + r^2 f') \right] = \frac{8\pi\beta}{\kappa} \left(-r + \frac{3}{2}M \right) + \mathcal{O}(r^{-1}) \quad (\text{B.22})$$

$$I_{ct}^E = -i \left[-\frac{8\pi}{\kappa} \int_0^\beta d(-i\tau^E) r f^{1/2} \right] = \frac{8\pi\beta}{\kappa} (r - M) + \mathcal{O}(r^{-1}) \quad (\text{B.23})$$

Agregando estos resultados, y usando las expresiones para las cantidades termodinámicas, se puede verificar fácilmente que

$$I^E = \beta \left(-\frac{Q^2}{2r_+} + \frac{1}{2}M \right) = \beta\mathcal{G} = \beta(M - TS - \Phi Q) \quad (\text{B.24})$$

Para calcular el potencial termodinámica en el ensemble canónico, necesitamos agregar el término de borde (B.6) en la sección Euclidiana,

$$I_A^E = -i \left[\frac{8\pi}{\kappa} \int_0^\beta d(-i\tau^E) Q \left(\frac{Q}{r} - \frac{Q}{r_+} \right) \right] = \frac{8\pi\beta}{\kappa} \frac{Q^2}{r_+} + \mathcal{O}(r^{-1}) \quad (\text{B.25})$$

pero $Q^2 r_+^{-1} = \Phi Q$, por lo tanto, para el ensemble canónico

$$\bar{I}^E = \beta\mathcal{F} = \beta(M - TS) \quad (\text{B.26})$$

Apéndice C

Derivación del término de borde para el campo escalar

Por simplicidad, digamos que la condición de borde para el potencial vectorial es $A = 0$ al borde. En tal caso, la variación de la acción

$$I = \frac{1}{2\kappa} \int_{\mathcal{M}} d^4x \sqrt{-g} [R - e^{\alpha\phi} F^2 - 2(\partial\phi)^2] + I_{GH} \quad (\text{C.1})$$

no se anula. Concretamente, se obtiene

$$\delta I = -\frac{2}{\kappa} \int_{\partial\mathcal{M}} d^3x \sqrt{-h} n_{\mu} g^{\mu\nu} \partial_{\nu} \phi \delta\phi \quad (\text{C.2})$$

Considerando el comportamiento del campo escalar en la región asintóticamente plana,

$$\phi(r) = \phi_{\infty} + \frac{\Sigma}{r} + \mathcal{O}\left(\frac{1}{r^2}\right) \quad (\text{C.3})$$

junto con el comportamiento asintóticamente plano de la métrica, se puede verificar que, evaluando on-shell la acción en la sección Euclidiana (en el límite $r \rightarrow \infty$),

$$\delta I^E = -\beta \Sigma \delta\phi_{\infty} \quad (\text{C.4})$$

Mostraremos a continuación que, para condiciones de borde generales,

$$\Sigma(\phi_\infty) = \frac{dW(\infty)}{d\phi_\infty} \quad (\text{C.5})$$

el término de borde

$$I_\phi = -\frac{2}{\kappa} \int_{\partial\mathcal{M}} d^3x \sqrt{-h} \left[\frac{(\phi - \phi_\infty)^2}{\Sigma^2} W(\phi_\infty) \right] \quad (\text{C.6})$$

cancela la variación (C.4).

En efecto, tomando la variación

$$\begin{aligned} \delta I_\phi &= -\frac{2}{\kappa} \int_{\partial\mathcal{M}} d^3x \sqrt{-h} \left[\frac{2(\phi - \phi_\infty)(\delta\phi - \delta\phi_\infty)}{\Sigma^2} W + \frac{(\phi - \phi_\infty)^2}{\Sigma^2} \delta W - \frac{2(\phi - \phi_\infty)^2}{\Sigma^3} W \delta\Sigma \right] \\ &= -\frac{2}{\kappa} \int_{\partial\mathcal{M}} d^3x \sqrt{-h} \left(\frac{1}{r^2} \right) \Sigma \delta\phi_\infty + \mathcal{O}(r^{-1}) \end{aligned}$$

Evaluando ahora este resultado en la sección Euclidiana (y en el límite $r \rightarrow \infty$), obtenemos

$$\delta I_\phi^E = \beta \Sigma \delta\phi_\infty \quad (\text{C.7})$$

Por lo tanto, el término de borde (C.6) es adecuado para la condición de borde general para el campo escalar considerada.

Apéndice D

Estabilidad termodinámica de las teorías sin potencial, $\alpha = 0$

En esta sección, discutimos brevemente la estabilidad termodinámica de soluciones estáticas de las teorías de Einstein-Maxwell-dilatón, sin potencial para el campo escalar, tanto para $\gamma = 1$ como para $\gamma = \sqrt{3}$, con el fin de comparar los resultados con las soluciones equivalentes con el potencial no cero. Estas teorías pueden verse como el límite $\alpha = 0$, en los potencial correspondientes, para las cuales únicamente la rama positiva, en cada caso, contiene configuraciones de agujeros negros.

D.1. $\gamma = 1$

De la ecuación del horizonte (5.10) con $\alpha = 0$, x_+ puede ser despejado y las cantidades termodinámicas puede ser escribas de la siguiente manera

$$M = \frac{1}{8\pi T}, \quad S = \frac{1 - 32\pi^2 Q^2 T^2}{16\pi T^2}, \quad \Phi = 4\pi Q T \quad (\text{D.1})$$

Ellas satisfacen la primera ley $dM = TdS + \Phi dQ$ y la tercera ecuación es, de hecho, la ecuación de estado de donde se sigue fácilmente que $\epsilon_T \geq 0$. Para el agujero negro de RN, la permitividad eléctrica a temperatura constante contiene dos sectores, uno donde los agujeros negros son eléctricamente inestables. El campo escalar, sin embargo, cuando no presenta auto-interacción, vuelve a todas las configuraciones eléctricamente estables. Por otra parte, también se sigue que $\epsilon_S \geq 0$.

En seguida, repasamos la estabilidad térmica en cada ensemble, analizando las capacidades calóricas correspondientes.

En el gran canónico, el potencial termodinámico y la capacidad calórica son

$$\mathcal{G}(T, \Phi) = \frac{1 - 2\Phi^2}{16\pi T^2}, \quad C_\Phi = -\frac{(1 - 2\Phi^2)}{8\pi T^2} \quad (\text{D.2})$$

Puesto que C_Φ es irremediamente negativa. No existen configuraciones en equilibrio estable.

Pasemos brevemente al ensemble canónico. En este caso, el potencial termodinámico y la capacidad calórica toman la forma

$$\mathcal{F}(T, Q) = \frac{1 + 32\pi^2 Q^2 T^2}{16\pi T^2}, \quad C_Q = -\frac{1}{8\pi T^2} \quad (\text{D.3})$$

Por lo tanto, aunque el campo escalar trae modificaciones en el comportamiento termodinámico de los agujeros negros, favoreciendo la estabilidad eléctrica pero arruinando cualquier posibilidad de equilibrio térmico, las configuraciones no gozan de una completa estabilidad termodinámica.

D.2. $\gamma = \sqrt{3}$

En esta teoría, es también sencillo escribir de una manera simple las cantidades termodinámicas, eliminando x_+ de la ecuación del horizonte (5.19),

$$S = \frac{2\pi\sqrt{2} \left(M^2 + M\sqrt{M^2 + 2Q^2} - Q^2 \right)^{3/2}}{M + \sqrt{M^2 + 2Q^2}} \quad (\text{D.4})$$

$$T = \frac{\sqrt{2}}{8\pi\sqrt{M^2 + M\sqrt{M^2 + 2Q^2} - Q^2}} \quad (\text{D.5})$$

$$\Phi = \frac{Q}{M + \sqrt{M^2 + 2Q^2}} \quad (\text{D.6})$$

las que satisfacen la primera ley. En este caso, el potencial conjugado también está restringido al intervalo $0 < \Phi < 1/\sqrt{2}$. Esto se puede ver resolviendo Q de la (D.6),

$$Q = \frac{2M\Phi}{1 - 2\Phi^2} \quad (\text{D.7})$$

o, en otras palabras, cuando M se aproxima a cero, entonces $\Phi \rightarrow 1/\sqrt{2}$. La ecuación de estado se puede obtener analíticamente,

$$\Phi = \frac{4\pi T Q}{\sqrt{1 + 64\pi^2 Q^2 T^2}} \quad (\text{D.8})$$

de donde se sigue que la permitividad eléctrica a temperatura fija, $\epsilon_T = \frac{Q}{\Phi(1-4\Phi^2)}$ es positiva. Poniendo M de la ecuación (D.7) en la expresión para la entropía, podemos obtener la permitividad eléctrica a entropía fija, $\epsilon_S = \frac{(1+2\Phi^2)Q}{1-4\Phi^2}$, que también es positiva.

Ahora, revisemos las capacidades calóricas. En el ensemble gran canónico, el potencial termodinámico y la capacidad calórica son

$$\mathcal{G}(T, \Phi) = \frac{\sqrt{1 - 4\Phi^2}}{16\pi T}, \quad C_\Phi = -\frac{\sqrt{1 - 4\Phi^2}}{8\pi T^2} \quad (\text{D.9})$$

indicando que no existen configuraciones estables.

En el ensemble canónico, el potencial termodinámico y la capacidad calórica es

$$\mathcal{F}(T, Q) = \frac{\sqrt{1 + 64\pi^2 Q^2 T^2}}{16\pi T}, \quad C_Q = -\frac{1 + 96\pi^2 Q^2 T^2}{8\pi T^2 (1 + 64\pi^2 Q^2 T^2)^{3/2}} \quad (\text{D.10})$$

y por lo tanto, obtenemos, de nuevo, que no existen configuraciones termodinámica-mente estables.

Para los casos estudiados, podemos concluir que la existencia de configuracio-nes de equilibrios estables, como los presentados en el capítulo 5, está relacionada con la auto-interacción no trivial del campo escalar, cuando $\alpha \neq 0$. Incluso aunque el acoplamiento entre el campo escalar y el campo de Maxwell mejora la estabi-lidad eléctrica de los agujeros negros, las capacidades calóricas asumen, en todos los casos vistos, valores negativos, haciéndolos inestables desde un punto de vista termodinámico.

Apéndice E

Estabilidad termodinámica de las teorías con potencial, $\gamma = \sqrt{3}$

En este apéndice, por completitud, presentamos el análisis de la estabilidad local para la solución $\gamma = \sqrt{3}$ presentada en la sección (5.1). Ya que el procedimiento es completamente equivalente al presentado en la sección (5.3), aquí deberemos escribir las expresiones relevantes y presentar los resultados importantes.

E.1. Ensemble gran canónico en la rama negativa

El potencial dilatónico para el cual se ha escrito la solución para $\gamma = \sqrt{3}$ es dado en (5.15). La ecuación de estado puede ser estudiada paramétricamente usando la dependencia de la coordenada del horizonte y la temperatura $Q = Q(x_+, T)$ y $\Phi = \Phi(x_+, T)$. Es útil también tener las expresiones $Q = Q(x_+, S)$ y $\Phi = \Phi(x_+, S)$. En la Fig. E.1, se han representado gráficamente.

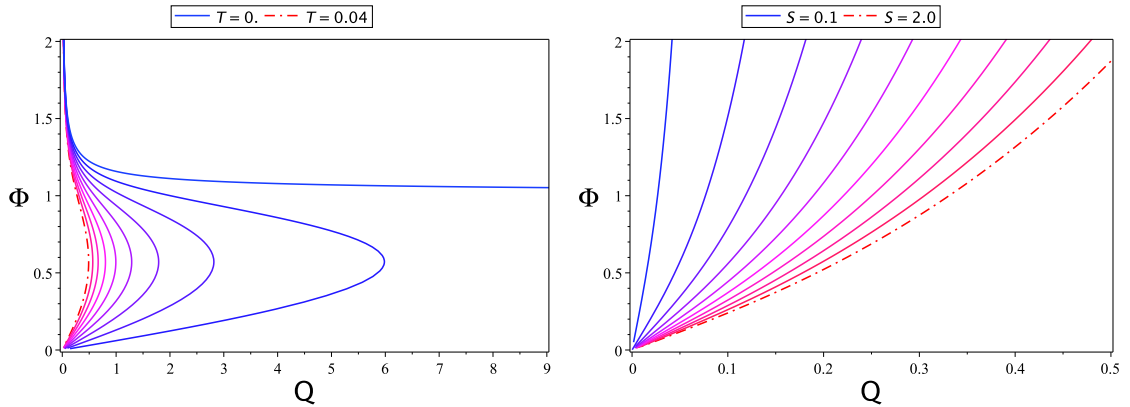


Figura E.1: Izquierda: Ecuación de estado, $\gamma = \sqrt{3}$ y $\alpha = 10$, en la rama negativa. Derecha: Curvas a entropía fija.

Ahora, usamos $q = 2x_+^2\Phi/(1 - x_+^2)$ de la ecuación (5.39) en la ecuación del horizonte $f(x_+) = 0$ para obtener la raíz positiva $\eta = \eta(x_+, \Phi)$. Una vez hecho, podemos escribir todas las cantidades termodinámicas como funciones de x_+ y Φ . El potencial termodinámico es

$$\mathcal{G}(x_+, \Phi) = -\frac{2\alpha}{3\eta^3} + \frac{2\Phi^2 x_+^4}{\eta(x_+^2 - 1)^2} + \frac{1 + x_+^2}{2\eta(1 - x_+^2)} \quad (\text{E.1})$$

y la capacidad calórica C_Φ , junto con las otras funciones respuestas, ha sido graficada en la Fig. E.2, donde se ha usado la misma notación que las dadas en las ecuaciones (5.78) y (5.79).

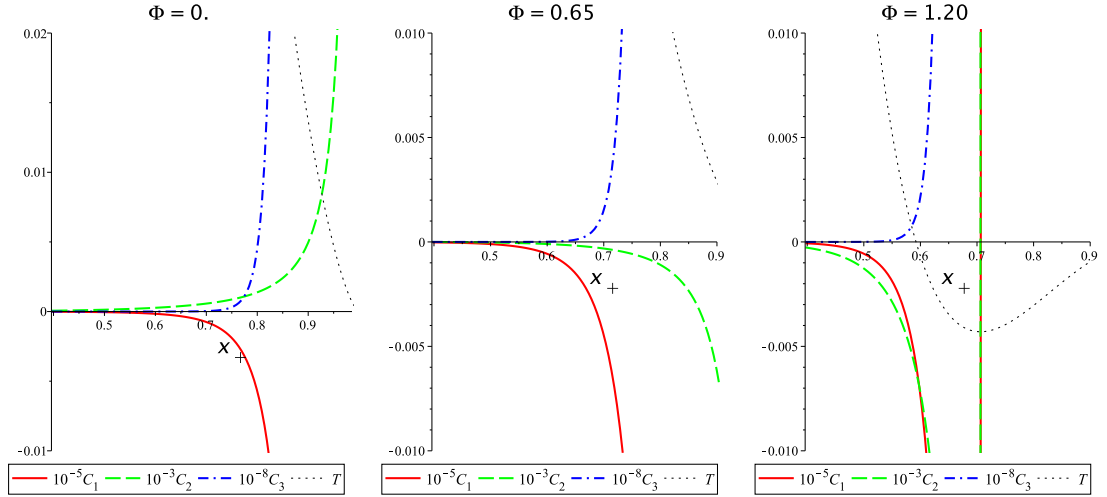


Figura E.2: Funciones respuesta en términos de las segundas derivadas de \mathcal{G} , para la rama negativa en el gran canónico, $\gamma = \sqrt{3}$ y $\alpha = 10$. La línea negra punteada representa T , la curva en rojo representa $10^{-5}C_1$; la curva verde $10^{-2}C_2$ y la azul $10^{-6}C_3$.

Puesto que no existe una región en el espacio de parámetros donde ambas, ϵ_S y C_Φ , sean positivas a la vez, no existen agujeros negros termodinámicamente estable en la rama negativa. Las funciones respuesta tienen el mismo comportamiento esquemático que para el agujero negro de RN, es decir, tienen signos opuestos para cada configuración.

E.2. Ensemble gran canónico en la rama positiva

La ecuación de estado y también Φ vs Q a entropía constante están representadas gráficamente en la Fig. E.3. Las funciones respuesta relevantes están graficadas en la Fig. E.4.

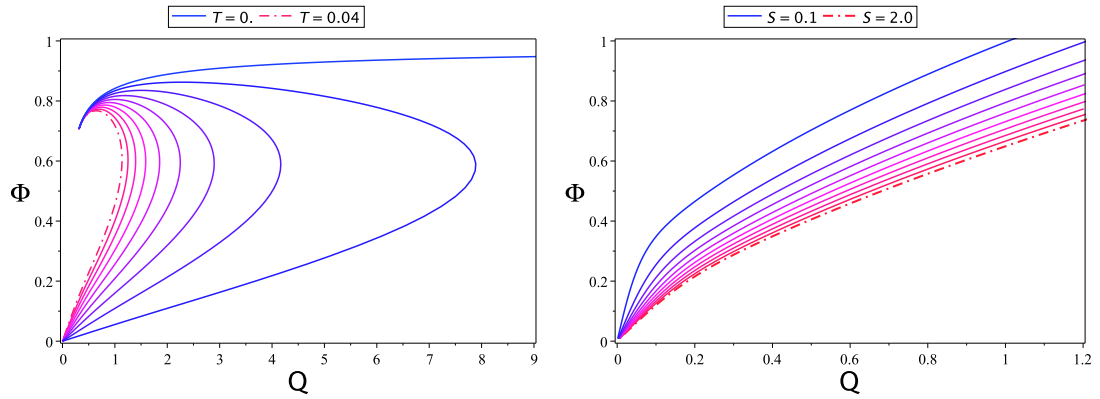


Figura E.3: Izquierda: Ecuación de estado en la rama positiva $\gamma = \sqrt{3}$ y $\alpha = 10$. Derecha: Φ vs Q a entropía fija.

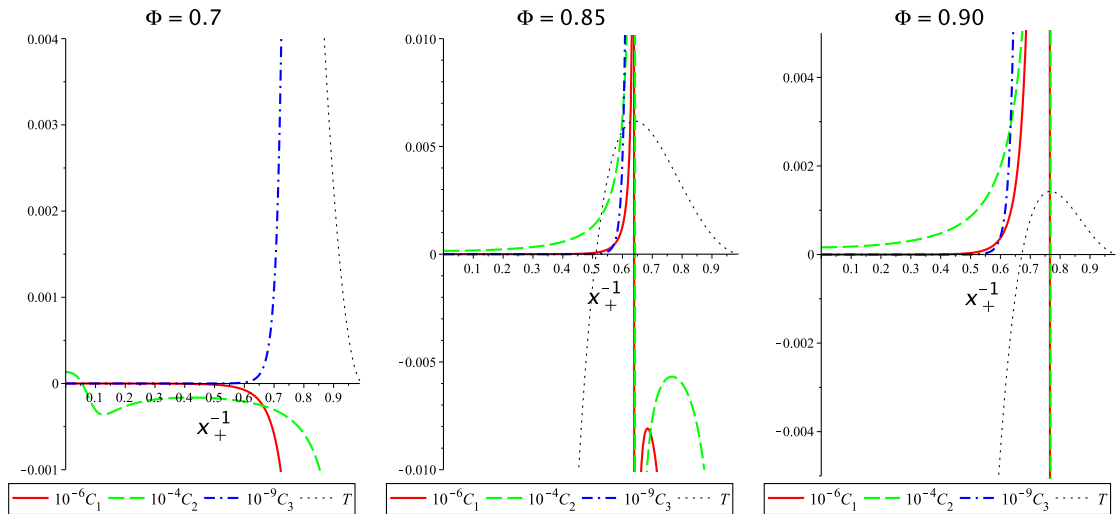


Figura E.4: Funciones respuesta en términos de las derivadas de \mathcal{G} , para la rama positiva en el gran canónico. $\gamma = \sqrt{3}$ y $\alpha = 10$.

Un aspecto interesante de esta teoría, en la rama positiva, es que las isothermas comienzan y terminan en $Q = 0, \Phi = 0$ y $Q = 1/\sqrt{\alpha}$ y $\Phi = 1/\sqrt{2}$, respectivamente (esto puede ser probado en una manera similar como en el caso $\gamma = 1$).

En esta rama, entonces, y tal como en la teoría $\gamma = 1$ estudiada antes, existen configuraciones cuyas funciones respuesta son ambas positivas, dentro del intervalo $\Phi > \frac{1}{\sqrt{2}}$. Estos agujeros negros estables tienen un potencial termodinámico negativo, como puede ser visto en la Fig. E.5, siguiendo un mismo comportamiento esquemático como en la teoría $\gamma = 1$.

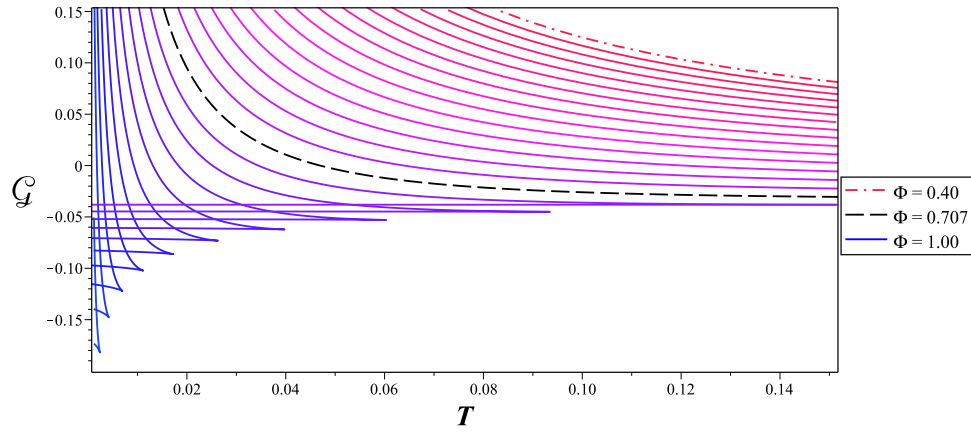


Figura E.5: Energía libre \mathcal{G} vs T , para $\gamma = \sqrt{3}$ y $\alpha = 10$, en la rama positiva.

E.3. Ensemble canónico en la rama negativa

De la Fig. E.6, podemos observar que C_Q y ϵ_T no son simultáneamente positivos en ninguna región física. Incluso, el agujero negro extremo es eléctricamente inestable en esta rama, como vimos antes (vea Fig. E.1) y, por lo tanto, entre $T = 0$ y T_{max} , para una carga eléctrica dada, las funciones respuestas tienen signos opuestos. Concluimos que en la rama negativa no existen agujeros negros estables.

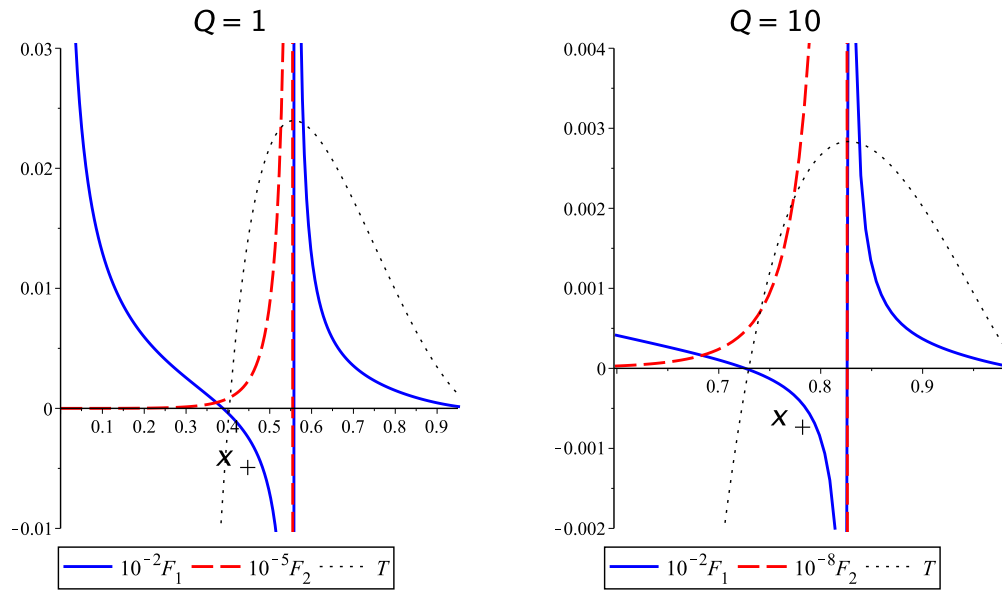


Figura E.6: Segundas derivadas para la rama negativa en el ensemble canónico, $\gamma = \sqrt{3}$ y $\alpha = 10$. $F_1 := (\partial^2 \mathcal{F} / \partial Q^2)_T$ y $F_2 := (\partial^2 \mathcal{F} / \partial T^2)_Q$.

E.4. Ensemble canónico en la rama positiva

Finalmente, mostramos que existen también agujeros negros estables en la rama positiva para el ensemble canónico. El potencial termodinámico es

$$\mathcal{F}(x_+, Q) = \frac{2\alpha}{3\eta^3} - \frac{\eta Q^2}{2x_+^2} + \frac{x_+^2 + 1}{2\eta(x_+^2 - 1)} \quad (\text{E.2})$$

donde $\eta = \eta(x_+, Q)$ es obtenido de la ecuación del horizonte. Las funciones respuestas están graficadas en la Fig. E.7, y en la Fig. E.8 se puede verificar que solamente los agujeros negros con $Q > 1/\sqrt{\alpha}$ pueden ser termodinámicamente estables.

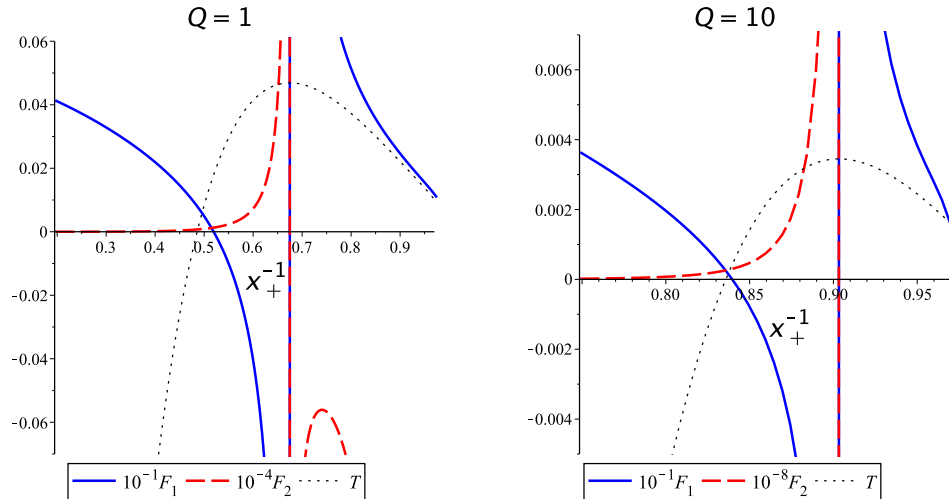


Figura E.7: Segundas derivadas para la rama positiva en el ensemble canónico, para $\gamma = \sqrt{3}$ y $\alpha = 10$. La línea negra punteada representa la temperatura, y las convenciones son $F_1 := (\partial^2 \mathcal{F} / \partial Q^2)_T$ y $F_2 := (\partial^2 \mathcal{F} / \partial T^2)_Q$, como antes.

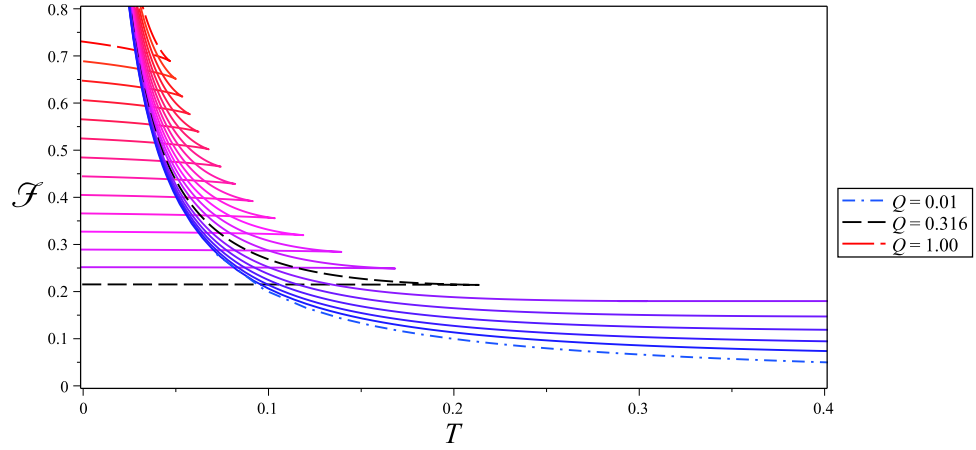


Figura E.8: Potencial termodinámico \mathcal{F} vs T , para $\gamma = \sqrt{3}$. El sector con concavidad negativa ($C_Q > 0$) existe para $Q > 1/\sqrt{\alpha}$. Como muestra la figura, fijando $\alpha = 10$, los agujeros negros estables aparecen para $Q \gtrsim 0,316$.

La principal conclusión es que, incluso para la teoría $\gamma = \sqrt{3}$, la auto-interacción del campo escalar estabiliza, desde un punto de vista termodinámico, los agujeros negros con campo escalar.

Bibliografía

- [1] D. Astefanesei, R. Ballesteros, D. Choque and R. Rojas, “Scalar charges and the first law of black hole thermodynamics,” *Phys. Lett. B* **782**, 47 (2018) doi:10.1016/j.physletb.2018.05.005 [arXiv:1803.11317 [hep-th]].
- [2] D. Astefanesei, D. Choque, F. Gmez and R. Rojas, *JHEP* **1903**, 205 (2019) doi:10.1007/JHEP03(2019)205 [arXiv:1901.01269 [hep-th]].
- [3] S. W. Hawking, “Particle Creation by Black Holes,” *Commun. Math. Phys.* **43**, 199 (1975) Erratum: [*Commun. Math. Phys.* **46**, 206 (1976)]. doi:10.1007/BF02345020, 10.1007/BF01608497
- [4] J. M. Bardeen, B. Carter and S. W. Hawking, “The Four laws of black hole mechanics,” *Commun. Math. Phys.* **31**, 161 (1973). doi:10.1007/BF01645742
- [5] J. D. Bekenstein, “Black holes and entropy,” *Phys. Rev. D* **7**, 2333 (1973). doi:10.1103/PhysRevD.7.2333
- [6] A. Strominger and C. Vafa, “Microscopic origin of the Bekenstein-Hawking entropy,” *Phys. Lett. B* **379**, 99 (1996) doi:10.1016/0370-2693(96)00345-0 [hep-th/9601029].
- [7] A. Strominger, “Black hole entropy from near horizon microstates,” *JHEP* **9802**, 009 (1998) doi:10.1088/1126-6708/1998/02/009 [hep-th/9712251].
- [8] J. M. Maldacena, A. Strominger and E. Witten, “Black hole entropy in M theory,” *JHEP* **9712**, 002 (1997) doi:10.1088/1126-6708/1997/12/002 [hep-th/9711053].

-
- [9] J. D. Bekenstein, “Transcendence of the law of baryon-number conservation in black hole physics,” *Phys. Rev. Lett.* **28**, 452 (1972). doi:10.1103/PhysRevLett.28.452
- [10] M. S. Volkov and D. V. Galtsov, “NonAbelian Einstein Yang-Mills black holes,” *JETP Lett.* **50**, 346 (1989) [*Pisma Zh. Eksp. Teor. Fiz.* **50**, 312 (1989)].
- [11] P. Bizon, “Colored black holes,” *Phys. Rev. Lett.* **64**, 2844 (1990). doi:10.1103/PhysRevLett.64.2844
- [12] J. D. Bekenstein, “Novel no-scalar-hair theorem for black holes,” *Phys. Rev. D* **51**, no. 12, R6608 (1995). doi:10.1103/PhysRevD.51.R6608
- [13] C. A. R. Herdeiro and E. Radu, “Asymptotically flat black holes with scalar hair: a review,” *Int. J. Mod. Phys. D* **24**, no. 09, 1542014 (2015) doi:10.1142/S0218271815420146 [arXiv:1504.08209 [gr-qc]].
- [14] G. Aad *et al.* [ATLAS Collaboration], “Observation of a new particle in the search for the Standard Model Higgs boson with the ATLAS detector at the LHC,” *Phys. Lett. B* **716**, 1 (2012) doi:10.1016/j.physletb.2012.08.020 [arXiv:1207.7214 [hep-ex]].
- [15] S. Chatrchyan *et al.* [CMS Collaboration], “Observation of a new boson at a mass of 125 GeV with the CMS experiment at the LHC,” *Phys. Lett. B* **716**, 30 (2012) doi:10.1016/j.physletb.2012.08.021 [arXiv:1207.7235 [hep-ex]].
- [16] T. Padmanabhan and T. R. Choudhury, “Can the clustered dark matter and the smooth dark energy arise from the same scalar field?,” *Phys. Rev. D* **66**, 081301 (2002) doi:10.1103/PhysRevD.66.081301 [hep-th/0205055].
- [17] A. H. Guth, “The Inflationary Universe: A Possible Solution to the Horizon and Flatness Problems,” *Phys. Rev. D* **23**, 347 (1981) [*Adv. Ser. Astrophys. Cosmol.* **3**, 139 (1987)]. doi:10.1103/PhysRevD.23.347
- [18] A. D. Linde, “A New Inflationary Universe Scenario: A Possible Solution of the Horizon, Flatness, Homogeneity, Isotropy and Primordial Monopole Pro-

- blems,” *Phys. Lett.* **108B**, 389 (1982) [*Adv. Ser. Astrophys. Cosmol.* **3**, 149 (1987)]. doi:10.1016/0370-2693(82)91219-9
- [19] D. Garfinkle, G. T. Horowitz and A. Strominger, “Charged black holes in string theory,” *Phys. Rev. D* **43**, 3140 (1991) Erratum: [*Phys. Rev. D* **45**, 3888 (1992)]. doi:10.1103/PhysRevD.43.3140, 10.1103/PhysRevD.45.3888
- [20] F. E. Schunck and E. W. Mielke, “General relativistic boson stars,” *Class. Quant. Grav.* **20** (2003) R301 doi:10.1088/0264-9381/20/20/201 [arXiv:0801.0307 [astro-ph]].
- [21] D. Astefanesei and E. Radu, *Nucl. Phys. B* **665**, 594 (2003) doi:10.1016/S0550-3213(03)00482-6 [gr-qc/0309131].
- [22] D. Astefanesei and E. Radu, *Phys. Lett. B* **587**, 7 (2004) doi:10.1016/j.physletb.2004.03.006 [gr-qc/0310135].
- [23] A. Buchel, S. L. Liebling and L. Lehner, *Phys. Rev. D* **87**, no. 12, 123006 (2013) doi:10.1103/PhysRevD.87.123006 [arXiv:1304.4166 [gr-qc]].
- [24] G. W. Gibbons, R. Kallosh and B. Kol, “Moduli, scalar charges, and the first law of black hole thermodynamics,” *Phys. Rev. Lett.* **77**, 4992 (1996) doi:10.1103/PhysRevLett.77.4992 [hep-th/9607108].
- [25] H. Lü, Y. Pang and C. N. Pope, “AdS Dyon Black Hole and its Thermodynamics,” *JHEP* **1311**, 033 (2013) doi:10.1007/JHEP11(2013)033 [arXiv:1307.6243 [hep-th]].
- [26] D. Astefanesei, K. Goldstein and S. Mahapatra, “Moduli and (un)attractor black hole thermodynamics,” *Gen. Rel. Grav.* **40**, 2069 (2008) doi:10.1007/s10714-008-0616-6 [hep-th/0611140].
- [27] D. Astefanesei, R. B. Mann, M. J. Rodriguez and C. Stelea, “Quasilocal formalism and thermodynamics of asymptotically flat black objects,” *Class. Quant. Grav.* **27**, 165004 (2010) doi:10.1088/0264-9381/27/16/165004 [arXiv:0909.3852 [hep-th]].

-
- [28] K. Hajian and M. M. Sheikh-Jabbari, “Redundant and Physical Black Hole Parameters: Is there an independent physical dilaton charge?,” *Phys. Lett. B* **768**, 228 (2017) doi:10.1016/j.physletb.2017.02.063 [arXiv:1612.09279 [hep-th]].
- [29] A. Anabalón, D. Astefanesei and C. Martinez, “Mass of asymptotically antide Sitter hairy spacetimes,” *Phys. Rev. D* **91**, no. 4, 041501 (2015) doi:10.1103/PhysRevD.91.041501 [arXiv:1407.3296 [hep-th]].
- [30] M. Henneaux, C. Martinez, R. Troncoso and J. Zanelli, “Asymptotic behavior and Hamiltonian analysis of anti-de Sitter gravity coupled to scalar fields,” *Annals Phys.* **322**, 824 (2007) doi:10.1016/j.aop.2006.05.002 [hep-th/0603185].
- [31] D. Astefanesei, C. Herdeiro, A. Pombo and E. Radu, “Einstein-Maxwell-scalar black holes: classes of solutions, dyons and extremality,” arXiv:1905.08304 [hep-th].
- [32] J. D. Brown and J. W. York, Jr., “Quasilocal energy and conserved charges derived from the gravitational action,” *Phys. Rev. D* **47**, 1407 (1993) doi:10.1103/PhysRevD.47.1407 [gr-qc/9209012].
- [33] G. W. Gibbons and K. i. Maeda, “Black Holes and Membranes in Higher Dimensional Theories with Dilaton Fields,” *Nucl. Phys. B* **298**, 741 (1988). doi:10.1016/0550-3213(88)90006-5
- [34] R. L. Arnowitt, S. Deser and C. W. Misner, “Dynamical Structure and Definition of Energy in General Relativity,” *Phys. Rev.* **116**, 1322 (1959). doi:10.1103/PhysRev.116.1322
- [35] R. L. Arnowitt, S. Deser and C. W. Misner, “Canonical variables for general relativity,” *Phys. Rev.* **117**, 1595 (1960). doi:10.1103/PhysRev.117.1595
- [36] S. R. Lau, “Light cone reference for total gravitational energy,” *Phys. Rev. D* **60**, 104034 (1999) doi:10.1103/PhysRevD.60.104034 [gr-qc/9903038].

- [37] R. B. Mann and D. Marolf, “Holographic renormalization of asymptotically flat spacetimes,” *Class. Quant. Grav.* **23**, 2927 (2006) doi:10.1088/0264-9381/23/9/010 [hep-th/0511096].
- [38] R. B. Mann, “Misner string entropy,” *Phys. Rev. D* **60**, 104047 (1999) doi:10.1103/PhysRevD.60.104047 [hep-th/9903229].
- [39] P. Kraus, F. Larsen and R. Siebelink, “The gravitational action in asymptotically AdS and flat space-times,” *Nucl. Phys. B* **563**, 259 (1999) doi:10.1016/S0550-3213(99)00549-0 [hep-th/9906127].
- [40] D. Astefanesei and E. Radu, “Quasilocal formalism and black ring thermodynamics,” *Phys. Rev. D* **73**, 044014 (2006) doi:10.1103/PhysRevD.73.044014 [hep-th/0509144].
- [41] T. Hertog and G. T. Horowitz, “Designer gravity and field theory effective potentials,” *Phys. Rev. Lett.* **94**, 221301 (2005) doi:10.1103/PhysRevLett.94.221301 [hep-th/0412169].
- [42] A. Aceña, A. Anabalón, D. Astefanesei and R. Mann, “Hairy planar black holes in higher dimensions,” *JHEP* **1401**, 153 (2014) doi:10.1007/JHEP01(2014)153 [arXiv:1311.6065 [hep-th]].
- [43] A. Anabalón, D. Astefanesei and R. Mann, “Exact asymptotically flat charged hairy black holes with a dilaton potential,” *JHEP* **1310**, 184 (2013) doi:10.1007/JHEP10(2013)184 [arXiv:1308.1693 [hep-th]].
- [44] A. Anabalón and D. Astefanesei, “On attractor mechanism of AdS_4 black holes,” *Phys. Lett. B* **727**, 568 (2013) doi:10.1016/j.physletb.2013.11.013 [arXiv:1309.5863 [hep-th]].
- [45] A. Acena, A. Anabalón and D. Astefanesei, “Exact hairy black brane solutions in AdS_5 and holographic RG flows,” *Phys. Rev. D* **87**, no. 12, 124033 (2013) doi:10.1103/PhysRevD.87.124033 [arXiv:1211.6126 [hep-th]].

- [46] A. Anabalón and D. Astefanesei, “Black holes in ω -deformed gauged $N = 8$ supergravity,” *Phys. Lett. B* **732**, 137 (2014) doi:10.1016/j.physletb.2014.03.035 [arXiv:1311.7459 [hep-th]].
- [47] A. Anabalón, D. Astefanesei and D. Choque, “Hairy AdS Solitons,” *Phys. Lett. B* **762**, 80 (2016) doi:10.1016/j.physletb.2016.08.049 [arXiv:1606.07870 [hep-th]].
- [48] A. Anabalón, D. Astefanesei, A. Gallerati and M. Trigiante, “Hairy Black Holes and Duality in an Extended Supergravity Model,” arXiv:1712.06971 [hep-th].
- [49] G. Dall’Agata, G. Inverso and M. Trigiante, “Evidence for a family of SO(8) gauged supergravity theories,” *Phys. Rev. Lett.* **109**, 201301 (2012) doi:10.1103/PhysRevLett.109.201301 [arXiv:1209.0760 [hep-th]].
- [50] V. Balasubramanian and P. Kraus, “A Stress tensor for Anti-de Sitter gravity,” *Commun. Math. Phys.* **208**, 413 (1999) doi:10.1007/s002200050764 [hep-th/9902121].
- [51] K. Skenderis, “Asymptotically Anti-de Sitter space-times and their stress energy tensor,” *Int. J. Mod. Phys. A* **16**, 740 (2001) doi:10.1142/S0217751X0100386X [hep-th/0010138].
- [52] M. Henningson and K. Skenderis, “The Holographic Weyl anomaly,” *JHEP* **9807**, 023 (1998) doi:10.1088/1126-6708/1998/07/023 [hep-th/9806087].
- [53] I. Papadimitriou, “Multi-Trace Deformations in AdS/CFT: Exploring the Vacuum Structure of the Deformed CFT,” *JHEP* **0705**, 075 (2007) doi:10.1088/1126-6708/2007/05/075 [hep-th/0703152].
- [54] D. Marolf and S. F. Ross, “Boundary Conditions and New Dualities: Vector Fields in AdS/CFT,” *JHEP* **0611**, 085 (2006) doi:10.1088/1126-6708/2006/11/085 [hep-th/0606113].
- [55] A. Anabalón, D. Astefanesei, D. Choque and C. Martinez, “Trace Anomaly and Counterterms in Designer Gravity,” *JHEP* **1603**, 117 (2016) doi:10.1007/JHEP03(2016)117 [arXiv:1511.08759 [hep-th]].

-
- [56] D. Astefanesei, R. B. Mann and C. Stelea, “Nuttier bubbles,” JHEP **0601**, 043 (2006) doi:10.1088/1126-6708/2006/01/043 [hep-th/0508162].
- [57] D. Astefanesei and G. C. Jones, “S-branes and (anti-)bubbles in (A)dS space,” JHEP **0506**, 037 (2005) doi:10.1088/1126-6708/2005/06/037 [hep-th/0502162].
- [58] D. Astefanesei, R. B. Mann and E. Radu, “Nut charged space-times and closed timelike curves on the boundary,” JHEP **0501**, 049 (2005) doi:10.1088/1126-6708/2005/01/049 [hep-th/0407110].
- [59] D. Astefanesei, R. B. Mann and E. Radu, “Breakdown of the entropy/area relationship for NUT-charged spacetimes,” Phys. Lett. B **620**, 1 (2005) doi:10.1016/j.physletb.2005.05.057 [hep-th/0406050].
- [60] V. Balasubramanian and S. F. Ross, “The Dual of nothing,” Phys. Rev. D **66**, 086002 (2002) doi:10.1103/PhysRevD.66.086002 [hep-th/0205290].
- [61] V. Balasubramanian, K. Larjo and J. Simon, “Much ado about nothing,” Class. Quant. Grav. **22**, 4149 (2005) doi:10.1088/0264-9381/22/19/023 [hep-th/0502111].
- [62] A. Anabalón, T. Andrade, D. Astefanesei and R. Mann, “Universal Formula for the Holographic Speed of Sound,” Phys. Lett. B **781**, 547 (2018) doi:10.1016/j.physletb.2018.04.028 [arXiv:1702.00017 [hep-th]].
- [63] A. Anabalón, D. Astefanesei and R. Mann, “Holographic equation of state in fluid/gravity duality,” Phys. Lett. B **770**, 272 (2017) doi:10.1016/j.physletb.2017.04.044 [arXiv:1604.05595 [hep-th]].
- [64] A. Anabalón, N. Deruelle and F. L. Julié, “Einstein-Katz action, variational principle, Noether charges and the thermodynamics of AdS-black holes,” JHEP **1608**, 049 (2016) doi:10.1007/JHEP08(2016)049 [arXiv:1606.05849 [gr-qc]].
- [65] M. Crdenas, O. Fuentealba and J. Matulich, “On conserved charges and thermodynamics of the AdS₄ dyonic black hole,” JHEP **1605**, 001 (2016) doi:10.1007/JHEP05(2016)001 [arXiv:1603.03760 [hep-th]].

-
- [66] S. W. Hawking, “Black Holes and Thermodynamics,” *Phys. Rev. D* **13**, 191 (1976). doi:10.1103/PhysRevD.13.191
- [67] G. 't Hooft, “Dimensional reduction in quantum gravity,” *Conf. Proc. C* **930308**, 284 (1993) [gr-qc/9310026].
- [68] L. Susskind, “The World as a hologram,” *J. Math. Phys.* **36**, 6377 (1995) doi:10.1063/1.531249 [hep-th/9409089].
- [69] D. Bigatti and L. Susskind, “TASI lectures on the holographic principle,” [hep-th/0002044].
- [70] U. Nucamendi and M. Salgado, “Scalar hairy black holes and solitons in asymptotically flat space-times,” *Phys. Rev. D* **68**, 044026 (2003) doi:10.1103/PhysRevD.68.044026 [gr-qc/0301062].
- [71] C. A. R. Herdeiro and E. Radu, “Kerr black holes with scalar hair,” *Phys. Rev. Lett.* **112**, 221101 (2014) doi:10.1103/PhysRevLett.112.221101 [arXiv:1403.2757 [gr-qc]].
- [72] C. Herdeiro and E. Radu, “Construction and physical properties of Kerr black holes with scalar hair,” *Class. Quant. Grav.* **32**, no. 14, 144001 (2015) doi:10.1088/0264-9381/32/14/144001 [arXiv:1501.04319 [gr-qc]].
- [73] J. Tarro and O. Varela, “Electric/magnetic duality and RG flows in AdS₄/CFT₃,” *JHEP* **1401**, 071 (2014) Addendum: [JHEP **1512**, 068 (2015)] doi:10.1007/JHEP01(2014)071, 10.1007/JHEP12(2015)068 [arXiv:1311.2933 [hep-th]].
- [74] M. Trigiante, “Gauged Supergravities,” *Phys. Rept.* **680**, 1 (2017) doi:10.1016/j.physrep.2017.03.001 [arXiv:1609.09745 [hep-th]].
- [75] F. Faedo, D. Klemm and M. Nozawa, “Hairy black holes in N = 2 gauged supergravity,” *JHEP* **1511**, 045 (2015) doi:10.1007/JHEP11(2015)045 [arXiv:1505.02986 [hep-th]].

- [76] S. de Haro, S. N. Solodukhin and K. Skenderis, “Holographic reconstruction of space-time and renormalization in the AdS / CFT correspondence,” *Commun. Math. Phys.* **217**, 595 (2001) doi:10.1007/s002200100381 [hep-th/0002230].
- [77] J. M. Maldacena, “The Large N limit of superconformal field theories and supergravity,” *Int. J. Theor. Phys.* **38**, 1113 (1999) [*Adv. Theor. Math. Phys.* **2**, 231 (1998)] doi:10.1023/A:1026654312961, 10.4310/ATMP.1998.v2.n2.a1 [hep-th/9711200].
- [78] R. Arnowitt, S. Deser and C. W. Misner, “Energy and the Criteria for Radiation in General Relativity,” *Phys. Rev.* **118**, 1100 (1960). doi:10.1103/PhysRev.118.1100
- [79] R. L. Arnowitt, S. Deser and C. W. Misner, “Coordinate invariance and energy expressions in general relativity,” *Phys. Rev.* **122**, 997 (1961). doi:10.1103/PhysRev.122.997
- [80] R. L. Arnowitt, S. Deser and C. W. Misner, “The Dynamics of general relativity,” *Gen. Rel. Grav.* **40**, 1997 (2008) doi:10.1007/s10714-008-0661-1 [gr-qc/0405109].
- [81] R. Emparan, “Rotating circular strings, and infinite nonuniqueness of black rings,” *JHEP* **0403**, 064 (2004) doi:10.1088/1126-6708/2004/03/064 [hep-th/0402149].
- [82] R. B. Mann, D. Marolf and A. Virmani, “Covariant Counterterms and Conserved Charges in Asymptotically Flat Spacetimes,” *Class. Quant. Grav.* **23**, 6357 (2006) doi:10.1088/0264-9381/23/22/017 [gr-qc/0607041].
- [83]
- [83] D. Astefanesei, R. B. Mann and C. Stelea, “Note on counterterms in asymptotically flat spacetimes,” *Phys. Rev. D* **75**, 024007 (2007) doi:10.1103/PhysRevD.75.024007 [hep-th/0608037].
- [84]

- [84] C. Herdeiro, E. Radu and C. Rebelo, “Thermodynamical description of stationary, asymptotically flat solutions with conical singularities,” *Phys. Rev. D* **81**, 104031 (2010) doi:10.1103/PhysRevD.81.104031 [arXiv:1004.3959 [gr-qc]].
- [85] G. Compere, F. Dehouck and A. Virmani, “On Asymptotic Flatness and Lorentz Charges,” *Class. Quant. Grav.* **28**, 145007 (2011) doi:10.1088/0264-9381/28/14/145007 [arXiv:1103.4078 [gr-qc]].
- [86] G. Compere and F. Dehouck, “Relaxing the Parity Conditions of Asymptotically Flat Gravity,” *Class. Quant. Grav.* **28**, 245016 (2011) Erratum: [*Class. Quant. Grav.* **30**, 039501 (2013)] doi:10.1088/0264-9381/28/24/245016, 10.1088/0264-9381/30/3/039501 [arXiv:1106.4045 [hep-th]].
- [87] A. Anabalón, “Exact Black Holes and Universality in the Backreaction of non-linear Sigma Models with a potential in (A)dS4,” *JHEP* **1206**, 127 (2012) doi:10.1007/JHEP06(2012)127 [arXiv:1204.2720 [hep-th]].
- [88] A. Anabalón, D. Astefanesei and J. Oliva, “Hairy Black Hole Stability in AdS, Quantum Mechanics on the Half-Line and Holography,” *JHEP* **1510**, 068 (2015) doi:10.1007/JHEP10(2015)068 [arXiv:1507.05520 [hep-th]].
- [89] D. Astefanesei, M. J. Rodriguez and S. Theisen, “Quasilocal equilibrium condition for black ring,” *JHEP* **0912**, 040 (2009) doi:10.1088/1126-6708/2009/12/040 [arXiv:0909.0008 [hep-th]].
- [90] L. D. Landau and E. M. Lifshitz, *Statistical Physics*, vol. 5 of Landau and Lifshitz Course of Theoretical Physics (Butterworth Heinemann, Oxford, 1991), 3rd ed.
- [91] Herbert B. Callen, “Thermodynamics and introduction to thermostatics”, John Wiley and Sons (1985).
- [92] A. Chamblin, R. Emparan, C. V. Johnson and R. C. Myers, “Holography, thermodynamics and fluctuations of charged AdS black holes,” *Phys. Rev. D* **60**, 104026 (1999) doi:10.1103/PhysRevD.60.104026 [hep-th/9904197].

-
- [93] J. W. York, Jr., “Black hole thermodynamics and the Euclidean Einstein action,” *Phys. Rev. D* **33**, 2092 (1986). doi:10.1103/PhysRevD.33.2092
- [94] E. W. Hirschmann, L. Lehner, S. L. Liebling and C. Palenzuela, “Black Hole Dynamics in Einstein-Maxwell-Dilaton Theory,” arXiv:1706.09875 [gr-qc].
- [95] P. Jai-akson, A. Chatrabhuti, O. Evnin and L. Lehner, “Black hole merger estimates in Einstein-Maxwell and Einstein-Maxwell-dilaton gravity,” *Phys. Rev. D* **96**, no. 4, 044031 (2017) doi:10.1103/PhysRevD.96.044031 [arXiv:1706.06519 [gr-qc]].
- [96] M. Cárdenas, F. L. Julié and N. Deruelle, “Thermodynamics sheds light on black hole dynamics,” arXiv:1712.02672 [gr-qc].
- [97] F. McCarthy, D. Kubizňák and R. B. Mann, “Dilatonic Imprints on Exact Gravitational Wave Signatures,” arXiv:1803.01862 [gr-qc].
- [98] Y. Brihaye, T. Delplace, C. Herdeiro and E. Radu, “An analytic effective model for hairy black holes,” arXiv:1803.09089 [gr-qc].
- [99] A. Bzowski, A. Gnechchi and T. Hertog, “Interactions resolve state-dependence in a toy-model of AdS black holes,” *JHEP* **1806**, 167 (2018) doi:10.1007/JHEP06(2018)167 [arXiv:1802.02580 [hep-th]].
- [100] R. Monteiro, M. J. Perry and J. E. Santos, “Thermodynamic instability of rotating black holes,” *Phys. Rev. D* **80**, 024041 (2009) doi:10.1103/PhysRevD.80.024041 [arXiv:0903.3256 [gr-qc]].
- [101] O. J. C. Dias, P. Figueras, R. Monteiro, H. S. Reall and J. E. Santos, “An instability of higher-dimensional rotating black holes,” *JHEP* **1005**, 076 (2010) doi:10.1007/JHEP05(2010)076 [arXiv:1001.4527 [hep-th]].
- [102] D. Astefanesei, M. J. Rodriguez and S. Theisen, “Thermodynamic instability of doubly spinning black objects,” *JHEP* **1008**, 046 (2010) doi:10.1007/JHEP08(2010)046 [arXiv:1003.2421 [hep-th]].
- [103] R. C. Myers and J. Z. Simon, “Black Hole Thermodynamics in Lovelock Gravity,” *Phys. Rev. D* **38**, 2434 (1988). doi:10.1103/PhysRevD.38.2434

- [104] P. Bueno and P. A. Cano, “Four-dimensional black holes in Einsteinian cubic gravity,” *Phys. Rev. D* **94**, no. 12, 124051 (2016) doi:10.1103/PhysRevD.94.124051 [arXiv:1610.08019 [hep-th]].
- [105] P. Bueno and P. A. Cano, “Universal black hole stability in four dimensions,” *Phys. Rev. D* **96**, no. 2, 024034 (2017) doi:10.1103/PhysRevD.96.024034 [arXiv:1704.02967 [hep-th]].
- [106] D. Garfinkle, G. T. Horowitz, and A. Strominger “Charged Black Holes in String Theory,” *Phys. Rev. D* **43** (1991) 31403143.
- [107] R. Kallosh, A. D. Linde, T. Ortin, A. W. Peet and A. Van Proeyen, “Supersymmetry as a cosmic censor,” *Phys. Rev. D* **46**, 5278 (1992) doi:10.1103/PhysRevD.46.5278 [hep-th/9205027].
- [108] A. Chamblin, R. Emparan, C. V. Johnson and R. C. Myers, “Charged AdS black holes and catastrophic holography,” *Phys. Rev. D* **60**, 064018 (1999) doi:10.1103/PhysRevD.60.064018 [hep-th/9902170].
- [109] A. Strominger, “Macroscopic entropy of N=2 extremal black holes,” *Phys. Lett. B* **383**, 39 (1996) doi:10.1016/0370-2693(96)00711-3 [hep-th/9602111].
- [110] S. Ferrara and R. Kallosh, “Supersymmetry and attractors,” *Phys. Rev. D* **54**, 1514 (1996) doi:10.1103/PhysRevD.54.1514 [hep-th/9602136].
- [111] S. Ferrara, R. Kallosh and A. Strominger, “N=2 extremal black holes,” *Phys. Rev. D* **52**, R5412 (1995) doi:10.1103/PhysRevD.52.R5412 [hep-th/9508072].
- [112] K. Goldstein, N. Iizuka, R. P. Jena and S. P. Trivedi, “Non-supersymmetric attractors,” *Phys. Rev. D* **72**, 124021 (2005) doi:10.1103/PhysRevD.72.124021 [hep-th/0507096].
- [113] A. Sen, “Black hole entropy function and the attractor mechanism in higher derivative gravity,” *JHEP* **0509**, 038 (2005) doi:10.1088/1126-6708/2005/09/038 [hep-th/0506177].

-
- [114] D. Astefanesei, K. Goldstein, R. P. Jena, A. Sen and S. P. Trivedi, “Rotating attractors,” JHEP **0610**, 058 (2006) doi:10.1088/1126-6708/2006/10/058 [hep-th/0606244].
- [115] S. W. Hawking and D. N. Page, “Thermodynamics of Black Holes in anti-De Sitter Space,” Commun. Math. Phys. **87**, 577 (1983). doi:10.1007/BF01208266
- [116] D. J. Gross, M. J. Perry and L. G. Yaffe, “Instability of Flat Space at Finite Temperature,” Phys. Rev. D **25**, 330 (1982). doi:10.1103/PhysRevD.25.330
- [117] T. Prestidge, “Dynamic and thermodynamic stability and negative modes in Schwarzschild-anti-de Sitter,” Phys. Rev. D **61**, 084002 (2000) doi:10.1103/PhysRevD.61.084002 [hep-th/9907163].
- [118] J. P. Gregory and S. F. Ross, “Stability and the negative mode for Schwarzschild in a finite cavity,” Phys. Rev. D **64**, 124006 (2001) doi:10.1103/PhysRevD.64.124006 [hep-th/0106220].
- [119] T. Hertog and K. Maeda, “Stability and thermodynamics of AdS black holes with scalar hair,” Phys. Rev. D **71**, 024001 (2005) doi:10.1103/PhysRevD.71.024001 [hep-th/0409314].
- [120] S. S. Gubser and I. Mitra, “Instability of charged black holes in Anti-de Sitter space,” Clay Math. Proc. **1**, 221 (2002) [hep-th/0009126].
- [121] S. S. Gubser and I. Mitra, “The Evolution of unstable black holes in anti-de Sitter space,” JHEP **0108**, 018 (2001) doi:10.1088/1126-6708/2001/08/018 [hep-th/0011127].
- [122] H. S. Reall, “Classical and thermodynamic stability of black branes,” Phys. Rev. D **64**, 044005 (2001) doi:10.1103/PhysRevD.64.044005 [hep-th/0104071].